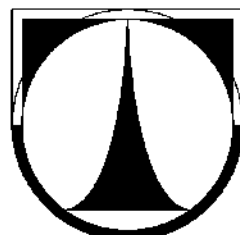


# **TECHNICKÁ UNIVERZITA V LIBERCI**

## **Fakulta Textilní**

Studijní Program – Navazující magisterský

Studijní obor – Textilní materiálové inženýrství – Řízení Jakosti



## **Studie velkých barevných rozdílů**

*Large color differences study*

### **Diplomová práce**

**Č.p. 514**

Autor: **Bc. Marta Haucková**

Vedoucí DP: Doc. Ing. Michal Vik, PhD.

Konzultant: Ing. Martina Viková

Počet stran: 50

Počet příloh: 1

Počet obrázků: 30

Počet tabulek: 7

Počet grafů: 11

V Liberci dne 11.5. 2008

## **Prohlášení**

Byl jsem seznámen s tím, že na mou bakalářkou práci se plně vztahuje zákon č. 121/2000 o právu autorském, zejména § 60 (školní dílo).

Beru na vědomí, že TUL má právo na uzavření licenční smlouvy o užití mé BP a prohlašuji, že **s o u h l a s í m** s případným užitím mé bakalářské práce (prodej, zapůjčení apod.).

Diplomovou práci jsem vypracoval samostatně s použitím uvedené literatury a na základě konzultací s vedoucím diplomové práce a konzultantem.

Datum .....

Podpis .....

## **Poděkování**

Tento cestou bych chtěla poděkovat především vedoucímu diplomové práce Doc.Ing.Michalu Víkovi, PhD. a konzultantovi Ing. Martině Víkové za odborné vedení, trpělivost a pomoc při zpracování této diplomové práce. Samozřejmě mé děkuji patří celé mé rodině za všeestrannou podporu při mém vysokoškolském studiu.

## Anotace

Studie velkých barevných rozdílů je práce, která se věnuje vyhotovení a vyhodnocení *experimentu zkoumajícího velké barevné rozdíly* pro Mezinárodní Komisi pro Osvětlování CIE. Cílem diplomové práce je poukázání na málo ideální nastavení současných experimentů, jejichž výsledky slouží Komisi CIE. V této práci je navrhnut, popsán, vyhotoven a vyhodnocen nový experimentální systém. Tento systém je porovnán s *experimentem již dříve provedeným na Katedře textilních materiálů v Liberci*. Výsledky byly získány vizuálním (subjektivním) hodnocením barevných vzorků připravených v Německém BAM (Bundesamt für Materialforschung und -prüfung) v Berlíně. Dále byly vypočítány barevné diference z objektivního měření pomocí spektrofotometru. K výpočtům byly použity vybrané rovnice pro barevné rozdíly (CIELAB, CIE2000 a DIN99). Výsledky experimentu mají rozhodnout o vhodnosti použití rovnic CIE2000 a DIN99 pro velké barevné rozdíly. Tyto rovnice jsou původně určeny pro malé barevné rozdíly.

## Klíčová slova

Vizuální hodnocení

Objektivní měření

Velký barevný rozdíl

Karty barevných vzorků

Barevné souřadnice L\*, a\*, b\*

## **Annotation**

The study of large chromatic differences is a work, which applies to an execution and evaluation of an experiment of investigating large chromatic differences for Committee International Lighting CIE. The aim of the work is pointing out the not perfect setting of the current experiments which have already been created and their results serve committee CIE. In this work the new experimental system has been suggested, described, executed and evaluated. This system is compared with the experiment earlier given in The Institute of textile materials in Liberec. Visual evaluation of chromatic samples prepared in German BAM (Bundesamt für Materialforschung und -prüfung) in Berlin was executed in this work. The chromatic differences were calculated from the objective measurement by the help of spectroradiometer. Selected equations for color differences (CIELAB, CIE2000 a DIN99) were used for the computations. The experiment results are to decide about fitness of usage of the equations CIE2000 and DIN99 for the large chromatic differences. These equations are originally intended for small chromatic differences.

## **Keywords**

Visual observation

Objective measurement

Large color difference

Cards color samples

Color position data L\*, a\*, b\*

## **Obsah:**

|  |           |
|--|-----------|
| <b>1. ÚVOD.....</b>  | <b>12</b> |
| <b>2. NEJVÝZNAMNĚJŠÍ SYSTÉMY USPORÁDÁNÍ BAREV .....</b>                                      | <b>13</b> |
| 2.1 MUNSELLŮV BAREVNÝ SYSTÉM .....   | 13        |
| 2.1.1 Vývoj systému .....  | 13        |
| 2.1.2 Atlas 1915 .....   | 14        |
| 2.1.3 Book of Color 1929 (BOC) .....   | 15        |
| 2.1.4 Korigovaný Munsellův atlas barev ( <i>The Munsell Renotation</i> ) .....               | 16        |
| 2.1.5 Oprava korigovaného Munsellova atlasu barev ( <i>The Munsell Re-Renotation</i> ) ..... | 17        |
| 2.2 JEDNOTNÝ BAREVNÝ SYSTÉM OSA-UCS (OPTICAL SOCIETY OF AMERICA UNIFORM COLOR SCALES) .....  | 17        |
| 2.2.1 Vývoj systému .....  | 17        |
| 2.2.2 OSA-UCS Atlas .....  | 19        |
| 2.2.3 Revize OSA-UCS .....   | 21        |
| 2.2.4 OSA-UCS prezentace a vnímání prostoru .....  | 22        |
| 2.3 ŠVÉDSKÝ NCS (NATURAL COLOR SYSTEM) .....   | 22        |
| 2.3.1 Vývoj systému .....  | 22        |
| 2.3.2 NCS Atlas .....  | 24        |
| 2.4 POROVNÁNÍ A SLABOSTI BAREVNÝCH ATLASŮ .....  | 25        |
| <b>3. POUŽITÍ VÝPOČTOVÝCH ROVNIC PRO BAREVNÉ DIFERENCE.....</b>                              | <b>26</b> |
| 3.1 CIELAB.....  | 26        |
| 3.3 CIE 2000.....  | 28        |
| 3.4 DIN 99.....  | 29        |
| <b>4. EXPERIMENTÁLNÍ ČÁST.....</b>   | <b>30</b> |
| 4.1 FARNSWORTH-MUNSELL 100 HUE TEST.....   | 30        |
| 4.2 MĚŘENÍ BAREVNÝCH ROZDÍLŮ.....  | 31        |
| 4.2.1 Vizuální hodnocení 1 .....   | 31        |
| 4.2.2 Vizuální hodnocení 2 .....   | 32        |
| 4.3 STANOVENÍ BAREVNÝCH ROZDÍLŮ POZOROVATELEM VE SVĚTELNÉ SKŘÍNI .....                       | 34        |
| 4.4 OBJEKTIVNÍ MĚŘENÍ BAREVNÝCH VZORKŮ POMOCÍ SPEKTROFOTOMETRU DATACOLOR 600 .....           | 35        |
| 4.5 VYHODNOCENÍ VÝSLEDKŮ .....   | 36        |
| 4.5.1 Vzájemné korelace a grafy Vis 2 .....  | 37        |
| 4.5.2 Porovnání experimentů Vis 2 a Jur07 .....  | 41        |
| <b>5. ZÁVĚR.....</b>   | <b>47</b> |

## **Seznam obrázků:**

|   |    |
|---|----|
| OBR. 1 USPOŘÁDÁNÍ BAREV NA KOULI .....  | 13 |
| OBR. 2 MUNSELLŮV „BAREVNÝ STROM“ [5] .....  | 14 |
| OBR. 3 NEPRAVIDELNÝ BAREVNÝ ELIPSOID.....   | 14 |
| OBR. 4 ORIENTACE V MUNSELLOVĚ SYSTÉMU .....   | 15 |
| OBR. 5 POLOHA V A <sup>^</sup> , B <sup>^</sup> CHROMATICKÉM GRAFU BAREV (JAS 5) Z ATLASU 1915, 2 <sup>o</sup> POZOROVATEL A STEJNÁ SÍLA OSVĚTLENÍ [1].....     | 16 |
| OBR. 6 POLOHA V A <sup>^</sup> , B <sup>^</sup> CHROMATICKÉM GRAFU BAREV (JAS 6) Z ATLASU BOC 1929, 2 <sup>o</sup> POZOROVATEL A STEJNÁ SÍLA OSVĚTLENÍ [1]..... | 16 |
| OBR. 7 SVĚTELNÁ ODRAZIVOST Y V POROVNÁNÍ ATLASŮ 1915 A BOC 1929, 2 <sup>o</sup> POZOROVATEL [1].....  | 16 |
| OBR. 8 KOREKCE MUNSELLOVA ATLASU PRO 2 <sup>o</sup> POZOROVATELE A STEJNÉ SÍLE OSVĚTLENÍ [1] .....  | 17 |
| OBR. 9 OPRAVA KORIGOVANÉHO MUNSELLOVA ATLASU PRO 2 <sup>o</sup> POZOROVATELE A STEJNÉ SÍLE OSVĚTLENÍ [1]... ..  | 17 |
| OBR. 10 SYSTÉM ŠESTI NEJBЛИŽŠÍCH SOUSEDŮ.....   | 18 |
| OBR.11 ROTAČNÍ PROSTOROVÝ ČTRNÁCTISTĚN [1].....   | 19 |
| OBR.12 MACADAMOVО USPOŘÁDÁNÍ BAREVNÝХ KOULÍ [6].....  | 19 |
| OBR.13 OSA-UCS BAREVNÝ PROSTOR [6].....   | 20 |
| OBR. 14 POHYB V JEDNOTNÉM SYSTÉMU OSA-UCS .....   | 21 |
| OBR. 15 OSA-UCS KONSTANTNÍ JASOVÁ PLOCHA .....  | 22 |
| OBR. 16 USPOŘÁDÁNÍ HERINGOVA ODSTÍNOVÉHO KRUHU [6] .....  | 23 |
| OBR. 17 TĚLESO NCS [6] .....  | 24 |
| OBR. 18 LIST Z NCS ATLASU Z ROKU 1999 [7] .....   | 25 |
| OBR. 19 ZOBRAZENÍ DOSAŽITELNÝCH BAREVNÝCH ODSTÍNŮ V PROSTORU CIELAB .....   | 26 |
| OBR. 20 ZOBRAZENÍ TOLERANČNÍH ELIPS CIE2000 V SOUSTAVĚ CIELAB [1] .....   | 29 |
| OBR. 21 FARNSWORTH-MUNSELL 100 HUE.....   | 30 |
| OBR. 22 VYHODNOCENÍ TESTU VE FORMĚ POLÁRNÍ A JEDNOTLIVÉ BAREVNÉ ŘADY .....  | 31 |
| OBR. 23 BAREVNÉ PŘEDLOHY PRO SUBJEKTIVNÍ HODNOCENÍ BAM .....  | 32 |
| OBR. 24 ZAPISOVACÍ KARTY K BAREVNÝM PŘEDLOHÁM Z BAM .....   | 32 |
| OBR. 25 USPOŘÁDÁNÍ BAREVNÝCH SÉRIÍ .....  | 33 |
| OBR. 26 ZAPISOVACÍ KARTY PRO VIZUÁLNÍ HODNOCENÍ 2.....  | 33 |
| OBR. 27 BAREVNÁ KARTA A STÍNÍTKO.....   | 34 |
| OBR. 28 POHLED NA VZORKY BĚHEM HODNOCENÍ.....   | 34 |
| OBR. 29 JEDNOTLIVÉ BAREVNÉ KARTY .....  | 35 |
| OBR. 30 OŘÍZNUTÉ ROHY SLOUŽÍCÍ K ORIENTACI VZORKU .....   | 35 |

## **Seznam grafů:**

|   |    |
|---|----|
| GRAF. 1 KORELACE SKUPINY SUPERIOR A AVERAGE <b>0,802642</b> .....   | 37 |
| GRAF 2 CELKOVÉ POROVNÁNÍ NORMÁLNÍHO A OBRÁCENÉHO HODNOCENÍS VYBRANÝMI ROVNICEMI .....   | 38 |
| GRAF 3 KORELACE SKUPINY SUP S OBJEKTIVNÍM MĚŘENÍM PRO NORMÁLNÍ POZOROVÁNÍ .....   | 39 |
| GRAF 4 KORELACE SKUPINY SUP S OBJEKTIVNÍM MĚŘENÍM PRO OBRÁCENÉ POZOROVÁNÍ .....   | 39 |
| GRAF 5 KORELACE SKUPINY SUP S OBJEKTIVNÍM MĚŘENÍM BEZ 4 SÉRIE POZOROVÁNÍ .....  | 40 |
| GRAF 6 POROVNÁNÍ NAMĚŘENÝCH SOUŘADNIC DATACOLOR 600 D65/2.....  | 41 |
| GRAF 7 POROVNÁNÍ KORELACÍ SKUPIN SUP A AVG PRO JEDNOTLIVÉ EXPERIMENTY VIS2 0,878898 A JUR07<br>0,832631 .....   | 42 |
| GRAF 8 POROVNÁNÍ VIZUÁLNÍHO HODNOCENÍ SKUPIN ALL, SUP A AVG Z KARTY MG25 BAM MEZI<br>EXPERIMENTY VIS 2 A JUR07 .....                                      | 43 |
| GRAF 9 POROVNÁNÍ VIZUÁLNÍHO HODNOCENÍ SKUPIN ALL, SUP A AVG Z KARTY MG27 BAM MEZI<br>EXPERIMENTY VIS 2 A JUR07 .....                                      | 44 |
| GRAF 10 POROVNÁNÍ KORELACÍ OBJEKTIVNÍHO MĚŘENÍ PŘEPOČÍТАNÉHO POMOCÍ VYBRANÝCH ROVNIC MEZI<br>EXPERIMENTY VIS2 D65/2 A JUR07 D65/2 NA KARTĚ MG25 BAM ..... | 45 |
| GRAF 11 POROVNÁNÍ KORELACÍ OBJEKTIVNÍHO MĚŘENÍ PŘEPOČÍTANÉHO POMOCÍ VYBRANÝCH ROVNIC MEZI<br>EXPERIMENTY VIS2 D65/2 A JUR07 D65/2 NA KARTĚ MG25 BAM ..... | 46 |

## **Seznam tabulek:**

|   |    |
|---|----|
| TAB. 1 ROZŘAzení RESPONDENTŮ DO SKUPIN DLE BAREVNÉHO VNÍMÁNÍ .....  | 31 |
| TAB. 2 KORELACE MEZI SKUPINAMI SUP A AVG PŘI NORMÁLNÍM, OBRÁCENÉM POZOROVÁNÍ A BEZ SÉRIE 4 .....  | 37 |
| TAB. 3 HODNOTY KORELACÍ SKUPINA SUP A VYBRANÉ ROVNICE PŘI NORMÁLNÍM, OBRÁCENÉM HODNOCENÍ A<br>HODNOCENÍ BEZ SÉRIE 4 (GRAF 2).....   | 38 |
| TAB. 4 HODNOTY KORELACÍ PRO VŠECHNY SKUPINY POZOROVATELŮ NA VYBRANÝCH ROVNICích PRO NORMÁLNÍ<br>OBRÁCENÉ POZOROVÁNÍ A BEZ SÉRIE 4 .....   | 40 |
| TAB. 5 VZÁJEMNÉ POROVNÁNÍ VIZUÁLNÍHO HODNOCENÍ SKUPIN ALL, SUP A AVG U EXPERIMENTŮ VIS2 A JUR07<br>.....  | 44 |
| TAB. 6 VZÁJEMNÉ POROVNÁNÍ VÝPOČTŮ BAREVNÝCH ROZDÍLŮ NA VYBRANÝCH ROVNICích Z OBJEKTIVNÍHO<br>MĚŘENÍ U EXPERIMENTU VIS2 D65/2 A JUR07 D65/2.....   | 46 |
| TAB. 7 POROVNÁNÍ KORELACÍ DAT Z EXPERIMENTU JUR07 PREZENTOVANÝCH V DIPLOMOVÉ PRÁCI<br>ING. VLADIMÍRY JUŘÍČKOVÉ S DATY Z TÉ SAMÉ PRÁCE PŘEPOČÍTANÉ PODLE PODMÍNEK POUŽITÝCH VE<br>VYHODNOCENÍ Vis2 ..... | 47 |

## **Seznam zkratek:**

|            |   |   |
|------------|---|---|
| Obr.       | - | Obrázek   |
| Tab.       | - | Tabulka   |
| ks         | - | Počet kusů  |
| 3D         | - | Trojdimenzionální   |
| BAM        | - | Bundesamt für Materialforschung und – prüfung                     |
| BOC        | - | Book of Color   |
| OSA-UCS    | - | Optical society of America – uniform color scales                 |
| NCS        | - | Natural color system  |
| LCAM       | - | Laboratoř měření barevnosti a vhledu                              |
| KTM        | - | Katedra textilních materiálů v Liberci                            |
| Vis2       | - | Vizuální hodnocení 2  |
| Jur07      | - | Vizuální hodnocení vyhotoveného Vladimírou Juřičkovou v roce 2007 |
| All        | - | Skupina pozorovatelů Všichni                                      |
| SUP        | - | Skupina pozorovatelů Superior (Výborné barevné vnímání)           |
| AVG        | - | Skupina pozorovatelů Average (Průměrné barevné vnímání)           |
| dE*        | - | Barevný rozdíl vypočítaný pomocí CIELAB                           |
| dE CIE2000 | - | Barevný rozdíl vypočítaný pomocí CIE2000                          |
| dE DIN99   | - | Barevný rozdíl vypočítaný pomocí DIN99                            |

## 1. Úvod

Pro výpočty velkých barevných rozdílů existuje více výpočtových rovnic, které se vyvíjely spolu s barevnými prostory. V roce 2001 na zasedání v Rorchesteru byla Mezinárodní Komisi pro Osvětlování CIE přijata nová rovnice pro výpočet barevných rozdílů CIE2000. U této rovnice technické výbory CIE stále ověřují platnost v různých oblastech použití.

Cílem této diplomové práce je ověřit přizpůsobení rovnice CIE2000 k vizuálnímu hodnocení velkých barevných rozdílů. Pro toto ověřování byla připravena speciální sada vzorků v BAM (Bundesamt für Materialforschung und – Prüfung) v Berlíně. Tyto sady vzorků se již hodnotili v roce 2007 na Katedře Textilních materiálů v Liberci v diplomové práci ing. Vladimíry Juřičkové (Jur07). Výsledky z tohoto experimentu posloužili jako jeden ze vstupů dat i pro tuto práci. Jelikož bylo shledáno, že nastavení experimentu Jur07 nebylo optimální, bylo rozhodnuto po dohodě s Prof. Mendošou z Katedry Optiky v Granadě o novém uspořádání barevných sad.

Vizuální hodnocení barevných rozdílů (Vis 2) v této práci je vyhotovenou právě na novém uspořádání barevných sad vzorků, kdy při deseti pozorovatelích a pěti opakování bylo získáno 4900 posudků. Dalším cílem této práce je porovnání experimentů Jur07 s Vis 2, aby mohlo být rozhodnuto o lepším uspořádání barevných vzorků.

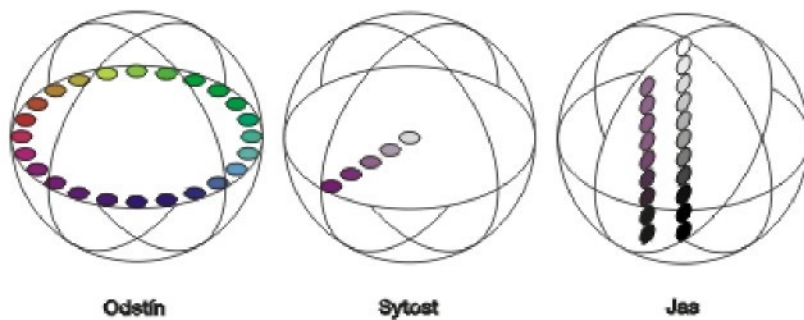
## 2. Nejvýznamnější systémy uspořádání barev

Mezi nejvýznamnější barevné systémy patří v dnešní době Munsellův atlas barev, OSA-UCS a NCS. Existuje i více barevných systémů, ale nevyhovují podmínkám o jednotnosti ani rovnoměrnosti systému. Proto budou popsány výše uvedené systémy, jak jejich vznikem tak i jejich strukturou a orientací v prostoru.

### 2.1 Munsellův barevný systém

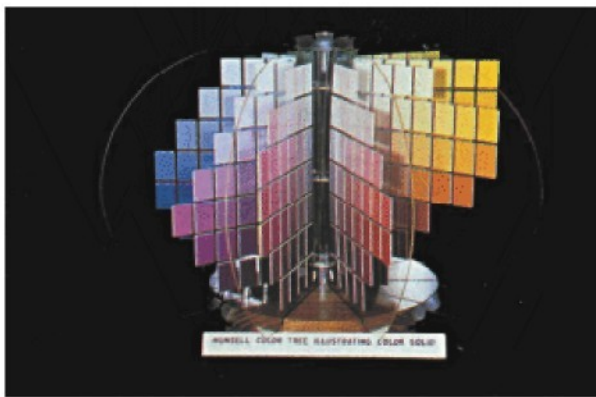
#### 2.1.1 Vývoj systému

Albert H. Munsell vystudovaný jako umělecký malíř a učitel výtvarného umění byl nespokojen se vzdělávacími nástroji pro děti a studenty umění. Proto se začal zabývat uspořádáním barev a jejich vztahem. Inspirace o pojetí barevného prostoru získal z dětského balonu ve tvaru koule s barevnými segmenty a seřazených barev namalovaných do dvojité spirály. Založil odstínový kruh na pětici základních barev: červená R, žlutá Y, Zelená G, modrá B a fialová (purpurová). Jeho největší motivací byla schopnost vyjádřit systém barev v desetinných číslech. Jelikož Munsell nebyl moc seznámen s pracemi již vzniklými o barevném uspořádání, nebyl pro něho problém vnést atribut jasu a čistoty (sytosti) [2]. Jeho první model koule uspořádal odstíny, které měli stejnou jasovou hodnotu na rovnoběžkách a přidal k základním barvám ještě středně zelenou a červenou a tmavě žlutou.[1] (Obr.1)



Obr. 1 Uspořádání barev na kouli

Munsell následně zjistil, že do koule nemohou být začleněny všechny dostupné barvy, z koule by se stal nepravidelný elipsoid (Obr.3). Musel tedy opustit myšlenku pravidelného dobré definovaného tělesa a své uspořádání pojmenoval jako barevný strom („Color tree“ Obr.2). [1]



Obr. 2 Munsellův „Barevný strom“ [5]



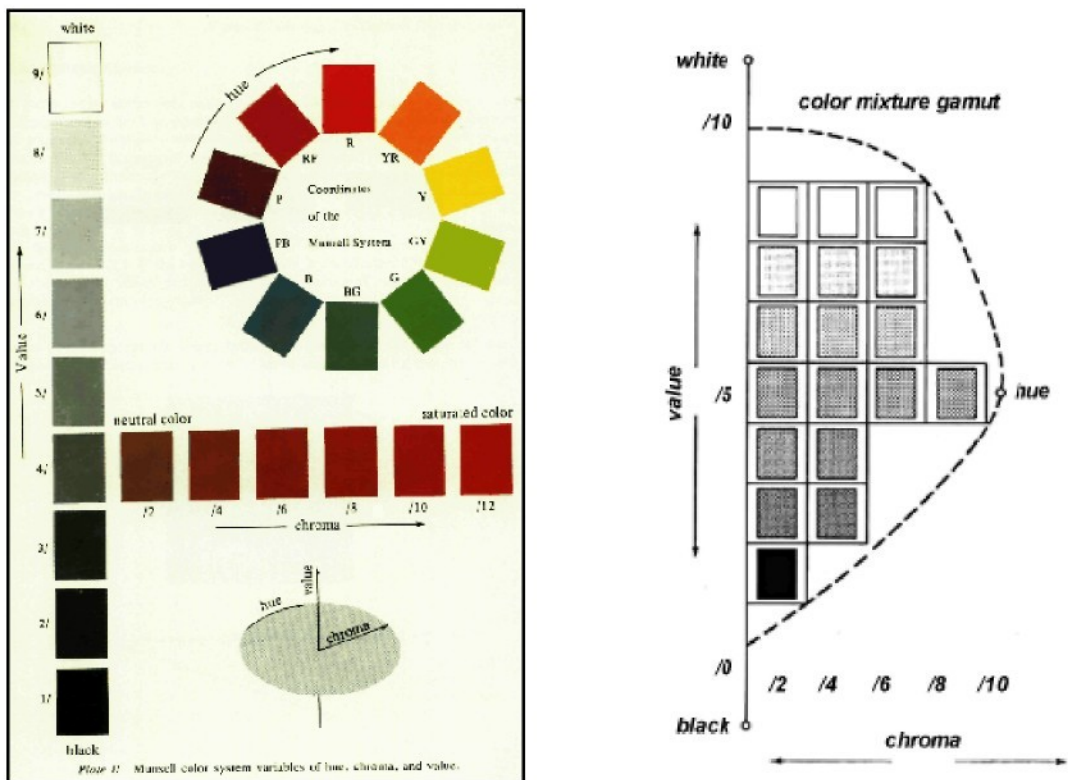
Obr. 3 Nepravidelný barevný elipsoid

V roce 1905 Munsell publikoval jeho pojetí barevného systému pod názvem *A Color notation* a v následujícím roce mu byl udělen patent na tento systém, obdržel autorská práva a ochrannou známku. První verze atlasu barev byla publikována v roce 1907 a obsahovala osm listů s malovanými vzorky. Druhá rozšířená verze byla vydána v roce 1915 a skládala se z 15 listů 5 konstantních odstínů (hue) a 7 listů konstantních jasových vzorků (value) a 3 hlavních přirodních barev. [1]

V roce 1918 založil Munsell se svým synem společnost *Munsell Color Company*. V tomto roce Munsell zemřel, ale v jeho práci pokračoval jeho syn s podporou *National Bureau of Standards* v Baltimoru a mladým výzkumníkem D.B.Juddem. V roce 1929 vydala společnost první verzi Munsellovi knihy barev (*Book of color*). V dnešní podobě je to jeden z nejrozšířenějších a nejznámějších atlasů. Je vydáván v matné a lesklé formě barevných vzorků a je vydána i edice pro textilní materiály. [1]

## 2.1.2 Atlas 1915

Atlas se skládá z textové části a listů se vzorky. V textové části je popsána orientace v atlasu a schématické obrázky objasňující barevný prostor a pozici vertikálních a horizontálních částí listů (Obr.4).



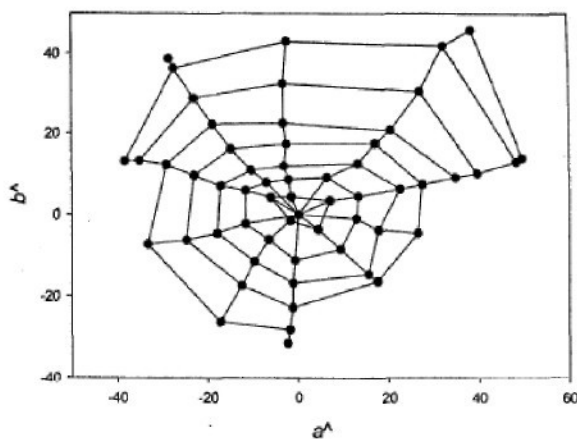
Obr. 4 Orientace v Munsellově systému

První diagram H (odstín) se skládá z barevných vzorků z pěti základních a pěti středních odstínů v hodnotách 2 až 8. Diagram V (jas) je sestaven z desetistupňové šedé škály a z barevných vzorků s nejvyšší čistotou barvy pěti základních odstínů. Diagram C (čistota) objasňuje vertikální příčné řezy skrz těleso vždy se dvěmi odpovídajícími odstíny za následující diagram. Nakonec se nachází sedm hvězdicovitých tvarů v horizontální úrovni. Tyto diagramy objasňující 10 odstínů v daných hodnotových úrovních ve všech možných barevných sytostech pigmentů které se používají.[1]

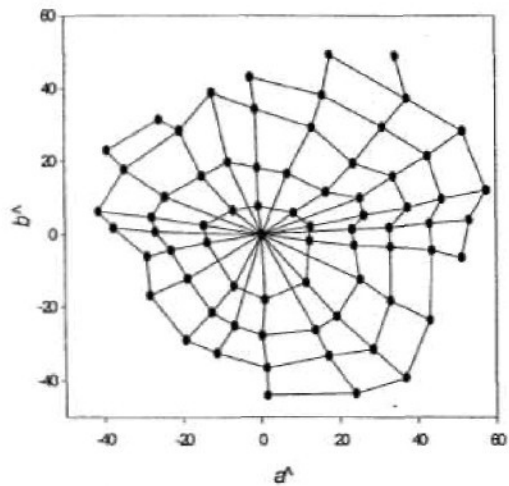
V roce 1919 a 1926 proběhlo měření odrazivosti vzorků atlasu a jejich trichromatické složky CIE byli vypočítané později. Po tomto měření se zjistilo, že vzorky přesně neodpovídají navrženému systému. Měření atlasu jsou následně optimálně linearizovaná funkci světelné odrazivosti.[1]

### 2.1.3 Book of Color 1929 (BOC)

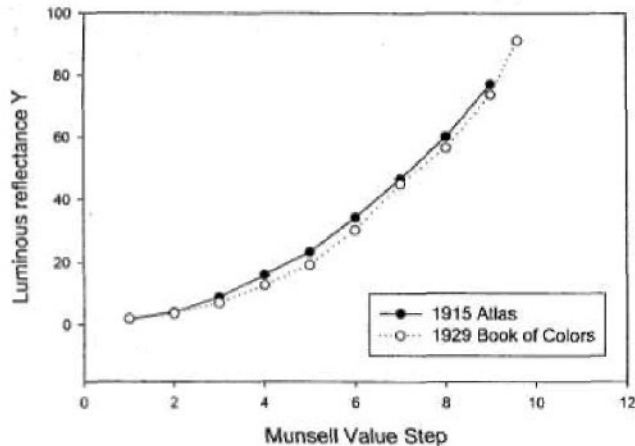
V roce 1929 byla vydána rozšířená verze Munsellova atlasu. Skládala se z 20 odstínů od světlosti 2 až 8 a sytosti od 2 až 14 (v jednotlivých případech) s celkovým počtem barevných vzorků 400 ks. Jejich odrazivosti byly naměřeny v roce 1935. Tímto měřením již byly zjištěny značné rozdíly mezi dvěma verzemi atlasu (Obr.5,6) v  $a^b^$  diagramu. Je zde také potřeba optimální linearizace přes celý rozsah, ale přesto nám zůstane zostřená světlosť (Obr.7).[1]



Obr. 5 Poloha v  $a^$ ,  $b^$  chromatickém grafu barev (jas 5) z atlasu 1915,  $2^\circ$  pozorovatel a stejná síla osvětlení [1]



Obr. 6 Poloha v  $a^$ ,  $b^$  chromatickém grafu barev (jas 6) z atlasu BOC 1929,  $2^\circ$  pozorovatel a stejná síla osvětlení [1]



Obr. 7 Světelná odrazivost Y v porovnání atlasů 1915 a BOC 1929,  $2^\circ$  pozorovatel [1]

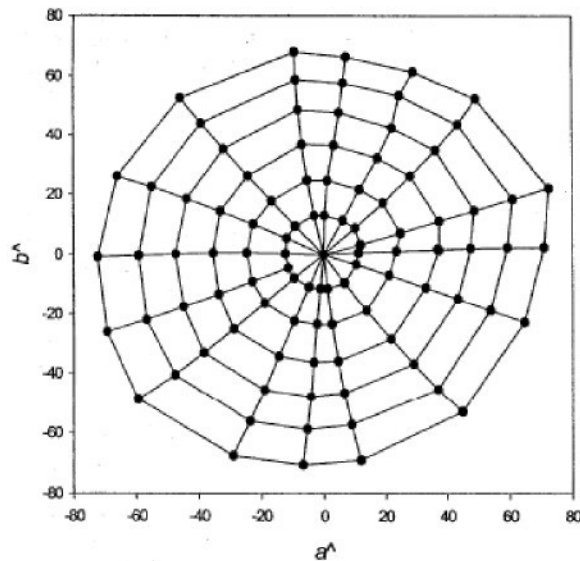
#### 2.1.4 Korigovaný Munsellův atlas barev (The Munsell Renotation)

V polovině 30. let 20. století vytvořila Americká Optická společnost s předsedajícím Newhallem subkomisi zabývající se Munsellovým prostorem. V roce 1929 výsledky měření Glenna a Killiana dokazovaly zubatost obrysů stálých sytostí v CIE chromatickém diagramu a do jisté míry konstantních odstínových linií. Pomocí 41 pozorovatelů se udělaly odhady velikosti rozdílů mezi šedivou stupnicí z BOC 1929, které byly použity pro definování světlostní stupnice. V roce 1943 bylo vydáno konečné doporučení úpravy velikosti Munsellova tělesa, kde menší nepravidelnosti v revidovaných výzkumech prostorových výsledků byly vyhlazeny v CIE chromatickém diagramu [18]. Účinek světlosti zostřených obrysů světlostní stupnice proti šedivému okolí byl také vyrovnan. Trendy v odstínech a sytostech byly přibližně určeny do limitů barevných objektů  $x, y$  a  $Y$  barevného prostoru. Výsledné opravy byly provedeny při podmírkách pro  $2^\circ$  pozorovatele při osvětlení C a definovaný na 2746 chromatických a 9 achromatických barvách. Přibližně 65% z těchto barev

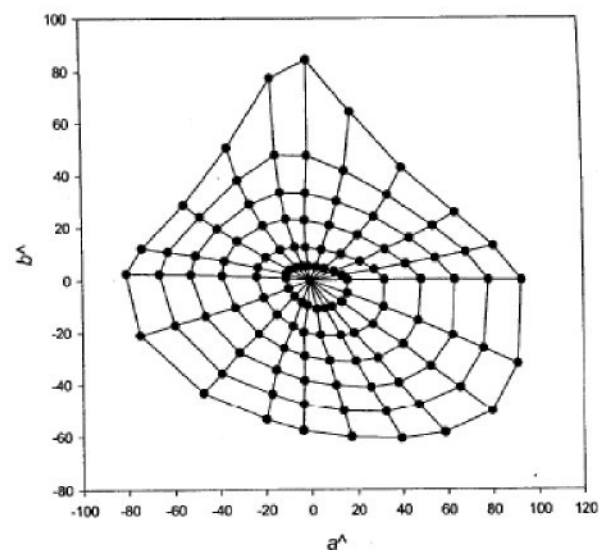
bylo fyzicky realizováno jako barevné vzorky v BOC. Komise použila Juddovu definici jasových funkcí ve formě jednoduchých pěti rovnic týkajících se hodnot světelné odrazivosti. Změny ve srovnání s atlasem 1915 a 1929 BOC byly zřejmé (Obr. 8). [1]

### **2.1.5 Oprava korigovaného Munsellova atlasu barev (The Munsell Re-Renotation)**

Během 50. a 60. let 20. století komise Uniform Color Scales of the Optical Society of America po vedení Judda provedla řady pokusů s cílem rozvoje vylepšeného jednotného barevného tělesa a přidružených prostorových rovnic. Zajímalo se o dopad výsledků experimentu na Munsellův systém. V roce 1967 Judd a Nickerson publikovali zprávu u National Bureau of Standards, kde představili opravenou korekci Munsellova atlasu, která odražela nové experimentální zkoumání (Obr.9). Specifikovali celkem 2874 chromatických barev v kompletní úpravě Munsellova systému. [19]



Obr. 8 Korekce Munsellova atlasu pro  $2^{\circ}$  pozorovatele a stejné síle osvětlení [1]



Obr. 9 Oprava korigovaného Munsellova atlasu pro  $2^{\circ}$  pozorovatele a stejné síle osvětlení [1]

### **2.2 Jednotný barevný systém OSA-UCS (*Optical society of america uniform color scales*)**

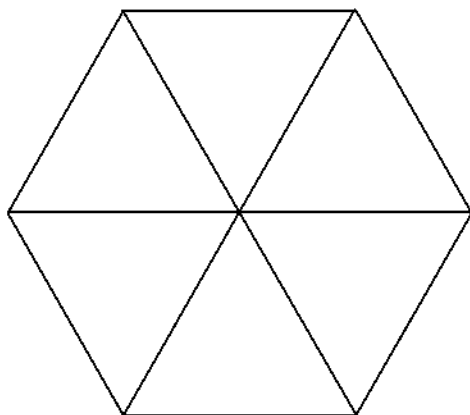
#### **2.2.1 Vývoj systému**

Ve 40. letech 20. století získal s Jednotný barevný prostor popularitu amerického Národního ústavu a průmyslových odvětví, které těžily z jejich závěrů, které byly ustanoveny [16]. Balinkin už v roce 1941 popisuje ve své zprávě pravidelné čtyřstěnné díly jednotného barevného prostoru. Silberstein poukazoval v roce 1942, že jestliže velikost rozdílu barev v trojúhelníku se rovná jednotné veličině pak tam může být jen šest nejbližších sousedů

v chromatické ploše pro euklidovský systém (Obr.10). S více než šesti sousedy převezme prostor hyperbolický tvar s méně než šesti sousedy převezme Reimanovský tvar. Silberstein proto doporučil zkoušení šestiúhelníkových polí barev k určení zda je barevný prostor euklidovský [1]. Proto v té době sledovala komise tří myšlenkové proudy:

1. Fakta experimentu o rozdílu barev byla ustanovená a další práce v této oblasti nejsou nutná.
2. Fakta experimentu jsou komplexní a jeví se, že není možné prokázat jednotný euklidovský barevný prostor. Nejlepším cílem komise je vyvinout jednoduchý vzorec pro rozdílnost barev (diferenci).
3. Jednotnost nebo její nedostatek je nejlépe doložen souborem barevných vzorků.

Komise vyvinula jednotná data a zjistila, že jednotný euklidovský prostor není možný a vyvinula to co považovala za nejlepší přiblížení euklidovskému systému ilustrovaného souborem barevných vzorků a vzorcem. Na konci roku bylo revidováno 38 barevných studií vztahujících se k jednotnému barevnému systému. V roce 1952 bylo rozhodnuto o vytvoření souhrnu 500 barevných vzorků v jednotné 3D (trojdimenzionální) sadě a pravidelném kosodelníkovém uspořádání založeném na korigovaném Munsellově atlasu. [1]

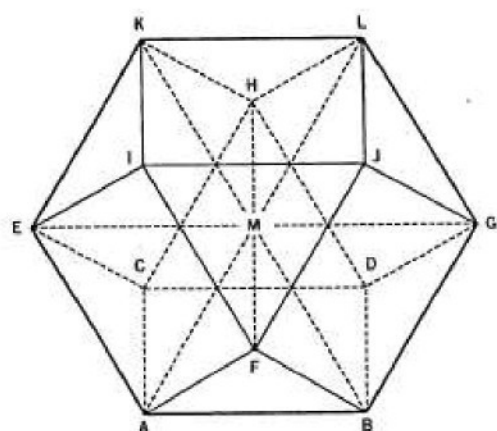


Obr. 10 Systém šesti nejbližších sousedů

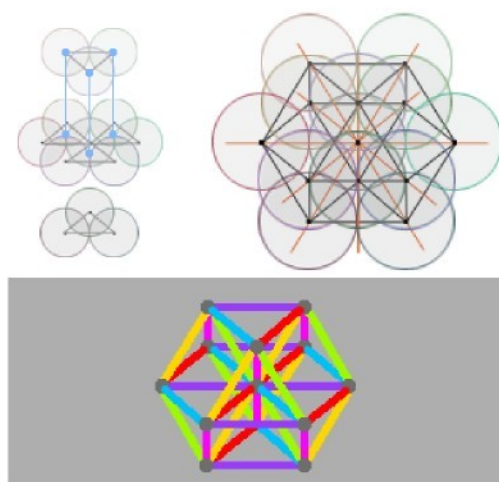
## 2.2.2 OSA-UCS Atlas

S ustanovenou rovnicí komise pokračovala ukázkou odvozeného prostoru podle pravidel z pravidelného kosodelníkového rovnoběžnostěnného tvaru. Spíše než užívání trojúhelníkových vzorků za stejného osvětlení plochy, se rozhodlo o rotačním jednotném prostorovém čtrnáctistěnu (Obr.11). Tímto uspořádáním se získá čtvercová mřížka ve stále stejně světlostní ploše. Využívá se předpokladu, že dvanáct vzdáleností je stejných, od centrálního bodu M k jakémukoliv bodu po obvodu čtrnáctistěnu.[1]

MacAdam vyrobil 3D model. Sesadil koule ve ztlumených barvách uspořádaných do prostorového čtrnáctistěnu (Obr.12). Je zde existence sedmi čar na plochách, které dovolí dělení barevného tělesa v různých směrech. [1]

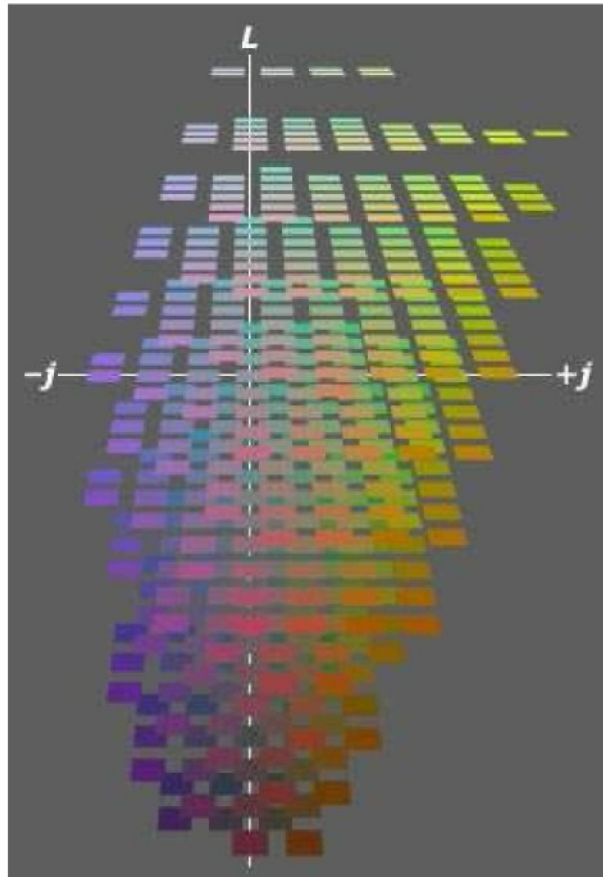


Obr.11 Rotační prostorový čtrnáctistěn [1]



Obr.12 MacAdamovo uspořádání barevných koulí [6]

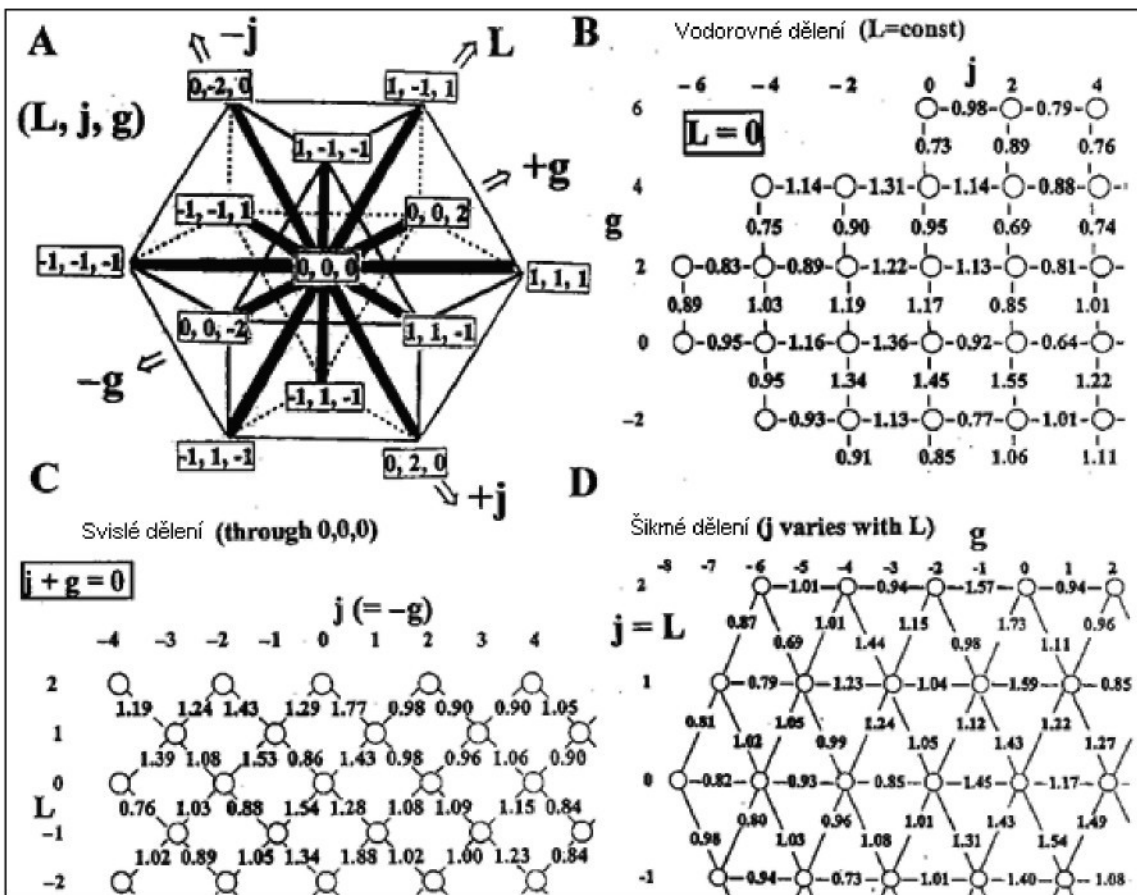
V roce 1974 představil MacAdam prostorový šestistěnný systém barevných vzorků (Obr. 12). V roce 1977 byl vydán atlas obsahující 558 lesklých barevných vzorků (424 normálních a 134 pastelových). Kolorimetrické specifikace cílových barev v rámci CIE jsou chromaticky sladěny se světelnou odrazivostí pro  $10^\circ$  pozorovatele a osvětlení D65. Podrobný popis pravidelného klencového uspořádání OSA-UCS byl podán až Agostonem v roce 1987. Pro běžné užití v praxi byl tento systém popsán a vydán pod značkou ASTM protokol E1360. [1]



Obr.13 OSA-UCS barevný prostor [6]

Identifikační systém založenýma třech písmenech byl vymyšlen k označení každé barvy. Písmeno  $j$  (ve francouzštině jaune „žlutá“) zhruba označuje žluto-modrou, písmeno  $g$  (přibližně zeleno-červenou a písmeno  $L$  světlost. Pro atlas vzorků je  $j$  ohraničeno od -6 (modrá) do +12 (žlutá),  $g$  od -10 (červená) do +6 (zelená),  $L$  od -7 (tmavě černý) do +5 světle bílá. [1]

Jednoduché matematické vztahy spojují barvy z každého rozděleného listu (Obr.13). Při pozorování systematických barevných stupnic si komise povídala malého počtu blízkých bezbarvých vzorků a proto se rozhodla přidat sérii vzorků na střed kde  $L=0$  (pastelová sada). 134 vzorků této sady je ohraničeno od  $L=-1,5$  do  $L=1,5$ .



Obr. 14 Pohyb v jednotném systému OSA-UCS

### 2.2.3 Revize OSA-UCS

V roce 1990 MacAdam vydal revizi OSA-UCS založenou na 2000 posudcích dvou mladých pozorovatelů s bez defektním vnímáním. Hlavní výhodou této revize je, že jsou poprvé vzorky všech dvanácti jasových listů ohodnoceny stejnými pozorovateli. V důsledku výpočtů navrhl předefinování hodnot  $R$  a  $B$  tak jako hodnot  $j$  a  $g$ .

$$R = 0,928X + 0,3251Y - 0,1915Z \quad (1)$$

$$B = -0,2032X + 0,60Y + 0,5523Z \quad (2)$$

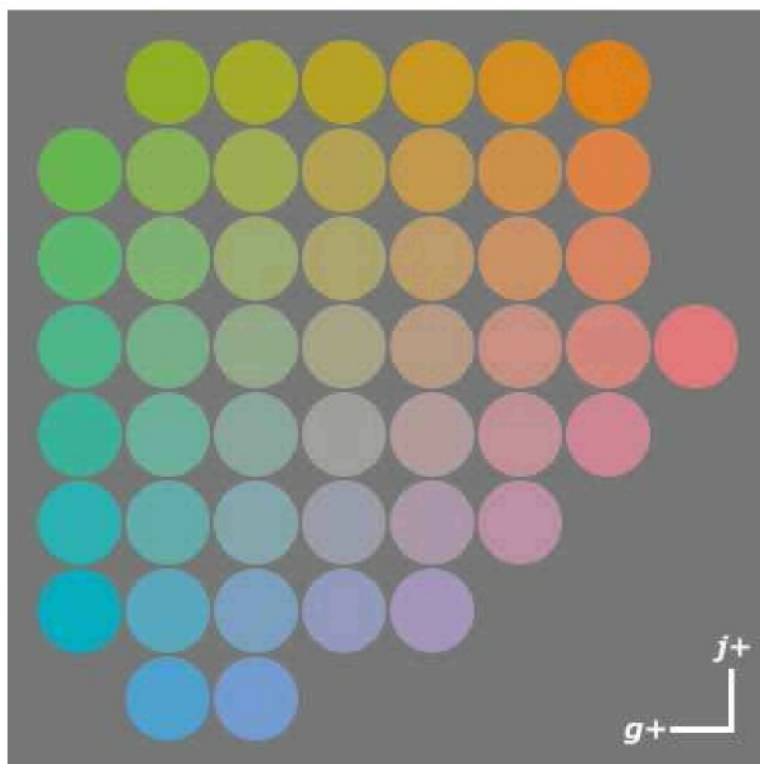
$$g = C(12,7R^{1/3} + 19G^{1/3} - 6,3B^{1/3}) \quad (3)$$

$$j = C(-1,3R^{1/3} + 17G^{1/3} - 15,7B^{1/3}) \quad (4)$$

MacAdam také spočítal přehodnocené cílové barvy pro pravidelný šestistěnný systém založený na přepočítaných souřadnicích. Ovšem v roce 1995 MacAdam ve svém dopise napsal: „Abych nezapomněl našel jsem nějaké chyby v listu JOSA (1990) a zcela to odvolávám.“ Proto rozsáhlé schválení OSA-UCS chybí doted.[12]

## 2.2.4 OSA-UCS prezentace a vnímání prostoru

Základním tvarem OSA-UCS psychologického prostoru je pravidelný šestistěn. Barevný list je definován pravidelnou čtvercovou mřížkou. Zatímco **jas** je jednoznačný prvek **odstín** a **čistota** není (Obr.14). Barva je definována výlučně podle dvou hlavních os a úhlopříček. Všechny další kroky v barevném listu jsou proměnné položky odstínu a rozdílu čistoty. Na rozdíl od Munsellova atlasu je OSA-UCS definován proti specifickému okolí  $Y=30$  a konstantnímu osvětlení barevných vzorků. Neobsahuje konstantu světelné odrazivosti, protože ta byla později přizpůsobena Helmholtz-Kohlrauschově efektu. [1]



Obr. 15 OSA-UCS konstantní jasová plocha

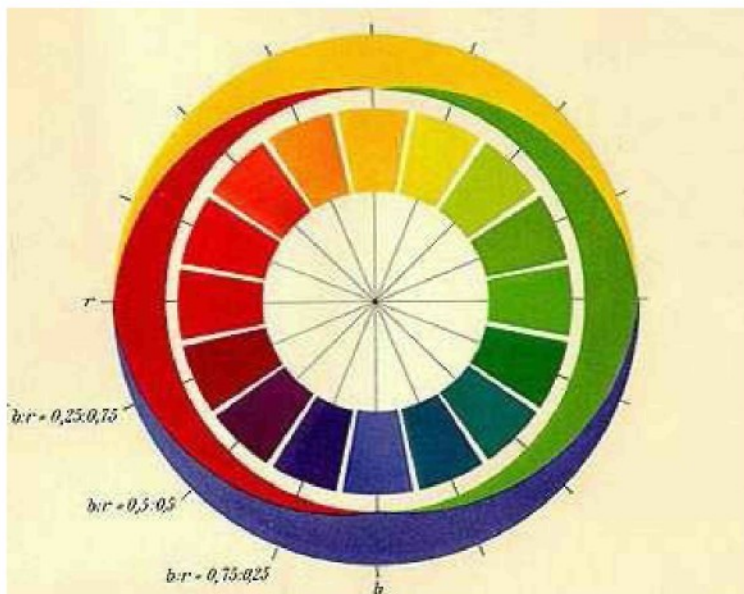
## 2.3 Švédský NCS (*Natural Color System*)

### 2.3.1 Vývoj systému

Označení NCS byl užit Heringem v roce 1905 kdy citoval: „Pro systematické uskupení barev je jediná věc na které záleží a to barva sama o sobě. Ani kvalitativní (četnost frekvence) ani kvantitativní (rozkmit amplitudy) fyzikálních vlastností záření není významná.“ Proto Hering vymyslel systém jen na základě vnímavosti. Předpokládal dva bezbarvé vjemy Bílý W a černý B a jejich koeficient  $W/B$  reprezentující jejich rozměry. [1]

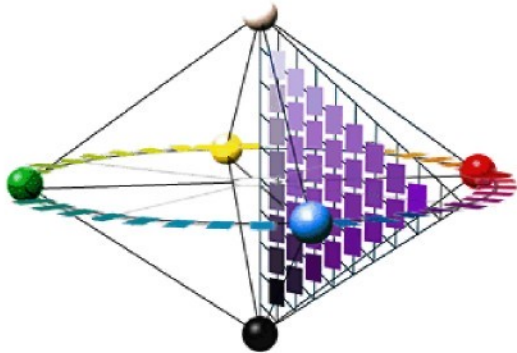
$$\text{Tomu vyhovuje výraz } H = \frac{W}{(W+B)}. \quad (5)$$

Hering pak popisuje vývoj stejně rozložených odstínů šedi založených na stupni podobnosti dané stupněm od bílé k černé. Většina chromatických objektů se podle Herinka jeví zastřeně v důsledku zastřenosti bílé, šedé nebo černé. „...chromatické barvy, které zřejmě neukážou takové zastření, budu nazývat odhalené chromatické barvy...“ Odhalené a zastřené chromatické barvy mohou být uspořádány v souvislosti s odstínenem v barevném kruhu (Obr.15). [1]



Obr. 16 Uspořádání Heringova odstínového kruhu [6]

Hering definoval čtyři jedinečné barvy (Urfabén) a umístil je takovým způsobem do odstínového kruhu, že byly rozděleny do čtyřech kvadrantů. Barvy v kvadrantech mohou být definovány relativním množstvím dvou přiléhajících jedinečných barev. Hering umístil odhalené barvy (nebo-li „plné“ Vollfarbe) černou a bílou do rohů rovnostranného trojúhelníka ve kterém všechny zastřené barvy odstínu a odhalené barvy mohou být systematicky uspořádány (Obr.16). Hering věřil, že jasnost chromatických barev by nemohla být přesně určena, může však být řečeno, která ze dvou barev je méně zastřená. Jakýkoliv objekt lze popsat podle jeho chromatických a achromatických složek. V tomto systému není jednoduché říci pro chromatické barvy, že jejich jas nebo temnota je stanovena pouze podle jejich černo-bílých součástí, ale také podle jejich chromatických částí. Hering připsal skutečný jas (Intrinsic brightness) žluté a červené a skutečnou temnotu (Intrinsic darkness) modré a zelené. Herinkův rovnostranný konstantní trojúhelník nicméně nevyjadřuje vše o světlosti nebo temnotě jeho barev, ale pouze o stupni zahalení jeho odhalených barev s bílou nebo černou. [1]

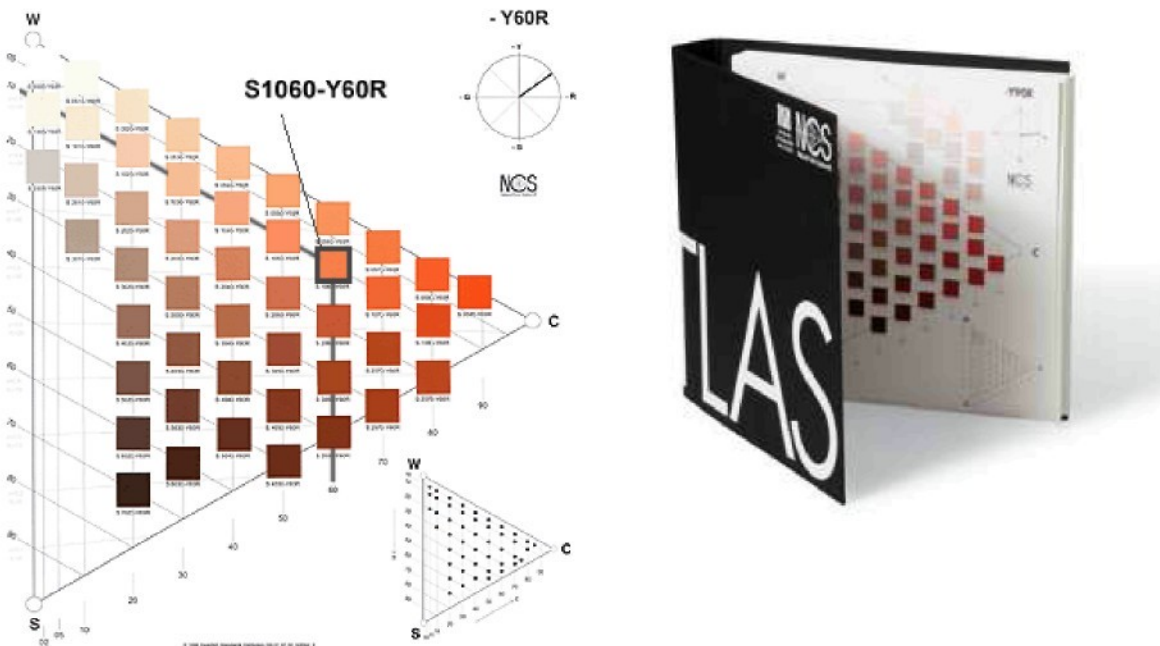


Obr. 17 Těleso NCS [6]

### 2.3.2 NCS Atlas

Johannson a Hesselgren zkoušeli najít kompromis mezi Heringovým dvojkuželem a barevným tělesem založeným na stupnici jasu v 3D. Johanson přijal odstín, čistotu a jas jako tři jedinečné vlastnosti charakterizující barevné vnímání. Navrhl, aby se k nim přidala průzračnost nebo lesk a efektivita nebo svěžest. Hesselgrenův barevný atlas z roku 1952 byl založen na myšlence subjektivní barevné standardizace. Pravidelnost rozestupů v tomto atlase nebyla považována za úplně úspěšnou a v roce 1964 začal nově vytvořený Swedish Color Center Foundation pracovat na opravě Hesselgrenově atlasu pomocí nových psychofyzických experimentů. V roce 1966 Tonquist informoval o stanovení základního barevného tónu a o srovnání mezi odstínovými kruhy založenými na jedinečných barvách a odstínovými kruhy založenými na stejném vnímání odstínových rozdílů. Nakonec bylo rozhodnuto vrátit se zpět k původním Heringovým myšlenkám a byl vyvinut podle toho systém [13]. Systém se skládá z dvojkužele tvořeného v atlase 40 rovnostrannými konstantními odstínovými trojúhelníky. Odstíny šedi tvoří střední osu (základnu) spojující dva vrcholy (Obr.17).

Vydání atlasu z roku 1999 obsahuje 1750 barevných vzorků o rozměrech  $13 \times 15$  mm uspořádaných do 40 listů. Atlas je k dispozici v matné a lesklé verzi. [5]



Obr. 18 List z NCS atlasu z roku 1999 [7]

## 2.4 Porovnání a slabosti barevných atlasů

Výše popisované atlasy mají své chyby. Všechny tři atlasy byly připraveny pomocí kolorimetrických nástrojů.

Výhodou Munsellova atlasu je jednoduché použití a jednoduché číselné označování barev v atlasu. Po úpravách v roce 1943 lze tento systém považovat za vizuálně stejnomořně odstupňovaný.[5]

Nevýhoda Munsellova atlasu spočívá v tom, že je sestaven jako vzhledový systém a zanedbává fyziologii a podmínky vnímání barev. Munsell vyšel z psychofyzikálního měření pomocí vlastního fotometru a Maxwelova disku. Tyto podmínky a chápání základních atributů mají vliv na výstavbu celého systému. Výsledkem je vzhledová závislost především čistoty barevného odstínu na intenzitě osvětlení. Proto musíme dbát na dodržování podmínek pozorování.[5]

V případě OSA-UCS atlasu byla rovnice vytvořena k sadě vizuálních dat a rovnice byla použita k barevným vzorkům v prostoru na základě prostorového čtrnáctistěnu. Z toho vyplývá, že hodnoty L, j, g byly převedeny zpět do trichromatických hodnot, které jsou následně cílovými body pro generování barevných vzorků v atlasu. Obdobně jako byl definován OSA-UCS atlas, byl i definován atlas NCS. U něj je také jako u Munsellova atlasu nutné dbát na pozorovací podmínky.

Pro novější vydání atlasu bylo cílem vybrat nejen pevné barevné pigmenty, ale i míchané, kdy je atlas viděn v různých fázích denního světla, nebo zdrojem umělého světla.

Ale žádný z těchto systémů nevytvořil v tomto ohledu nejobecnější požadavky. Dostupný výběr vhodných pigmentů není tak významnou ukázkou barevných stálostí pod různými světelnými zdroji. Atlasy byly formovány pro definovaná CIE světla C nebo D65. [1]

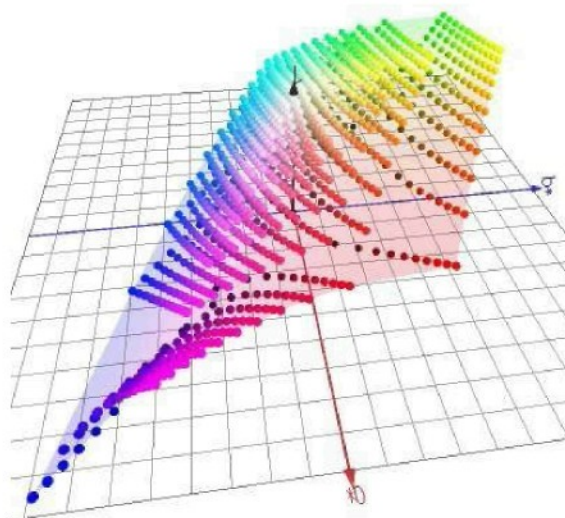
Bez ohledu na tyto koncepční chyby jsou zde také materiální chyby. Zvláštní význam má odolnost pigmentů, nebo pigmenty s různými typy degradace. Sice jsou pigmenty, vazby a další materiály vybrané tak, aby moderní atlasy vydržely dlouho, přesto ale záleží na druhu a délce užívání atlasu. [1]

### 3. Použití výpočtových rovnic pro barevné diference

V průmyslu se vždy posuzovaly barevné diference na daném barevném vzorku. Do padesátých let se převážně toto hodnocení provádělo subjektivně zkušenými odborníky koloristy [17]. S nově přichází měřící technikou se i barevné diference začaly vyjadřovat objektivně. U systému CIE XYZ se brzy zjistilo, že není optimální, protože neumožňuje jednoduchou definici veličiny popisující barevnou diferenci, kterou může pozorovatel vnímat mezi dvěma odstíny.[3] Proto se začaly používat rovnice k výpočtu barevných diferencí co možná nejlépe navržené vycházející z trichromatických složek XYZ.

#### 3.1 CIELAB

Pro názorné a matematicky snadné určování barev byl v roce 1976 přijat komisí CIE nový barevný prostor CIE1976, nebo spíše známý pod názvem CIELAB (CIE L\*a\*b\*) [10] (Obr. 19). A k němu rovnice pro výpočet barevných diferencí.[3] Ideální základ jako u Munsellova prostoru je koule.



Obr. 19 Zobrazení dosažitelných barevných odstínů v prostoru CIELAB

$$\begin{aligned} L^* &= 116Y^* - 16 \\ \text{CIELAB je vyjádřen vztahy [3]:} \quad a^* &= 500[X^* - Y^*] \\ b^* &= 200[Y^* - Z^*] \end{aligned} \quad (6)$$

kde:

|  |     |                               |
|--|-----|-------------------------------|
| $X^* = \left( \frac{X}{X_0} \right)^{1/3}$         | pro | $\frac{X}{X_0} > 0,008856$    |
| $X^* = 7,787 \left( \frac{X}{X_0} \right) + 0,138$ | pro | $\frac{X}{X_0} \leq 0,008856$ |
| $Y^* = \left( \frac{Y}{Y_0} \right)^{1/3}$         | pro | $\frac{Y}{Y_0} > 0,008856$    |
| $Y^* = 7,787 \left( \frac{Y}{Y_0} \right) + 0,138$ | pro | $\frac{Y}{Y_0} \leq 0,008856$ |
| $Z^* = \left( \frac{Z}{Z_0} \right)^{1/3}$         | pro | $\frac{Z}{Z_0} > 0,008856$    |
| $Z^* = 7,778 \left( \frac{Z}{Z_0} \right) + 0,138$ | pro | $\frac{Z}{Z_0} \leq 0,008856$ |

Celková barevná diference se v prostoru CIELAB, který je pravoúhlou soustavou, vypočítá vztahem [3]:

$$\Delta E^* = \sqrt{(\Delta L^*)^2 + (\Delta a^*)^2 + (\Delta b^*)^2} \quad (7)$$

$$\Delta L^* = L_{2(vzorku)}^* - L_{1(predlohy)}^* \quad (8)$$

kde:

$$\Delta a^* = a_{2(vzorku)}^* - a_{1(predlohy)}^* \quad (9)$$

$$\Delta b^* = b_{2(vzorku)}^* - b_{1(predlohy)}^* \quad (10)$$

### 3.3 CIE 2000

V roce 2000 byla přijata CIE norma pro výpočet barevných diferencí a to na základě diskusí o natočení tolerančního elipsoidu na predikční schopnosti [8,9]. Odchylka se provádí ve čtyřech krocích, kdy první krok je stejný jako výpočet v CIELAB [3].

1. krok: Výpočet  $L^*, a^*, b^*$  jako pro prostor CIELAB

$$L' = L^* \quad (11)$$

$$2. \text{ krok: Výpočet } C', a' \text{ a } h' \quad a' = (1+G)a^* \quad (12)$$

$$b' = b^* \quad (13)$$

kde:

$$G = 0,5 \left( 1 - \sqrt{\frac{\overline{C_{ab}^*}^7}{\overline{C_{ab}^*}^7 + 25^7}} \right)$$

$$C'_{ab} = \sqrt{a'^2 + b'^2} \quad (14)$$

$$h'_{ab} = \tan^{-1}(b'/a') \quad (15)$$

Kde  $\overline{C_{ab}^*}$  je aritmetický průměr čistoty  $C_{ab}^*$  standardu a vzorku.

$$\Delta L' = L'_b - L'_s \quad (16)$$

$$\Delta C'_{ab} = C'_{ab,b} - C'_{ab,s} \quad (17)$$

$$3. \text{ krok: Výpočet } \Delta L', \Delta C' a \Delta H' \quad \Delta H'_{ab} = 2\sqrt{C'_{ab,b} C'_{ab,s}} \sin\left(\frac{\Delta h'_{ab}}{2}\right) \quad (18)$$

$$\Delta h'_{ab} = h'_{ab,b} - h'_{ab,s}$$

4. krok: Výpočet  $CIEDE2000 = \Delta E_{CIE2000}$

$$\Delta E_{CIE2000} = \sqrt{\left(\frac{\Delta L'}{k_L S_L}\right)^2 + \left(\frac{\Delta C'_{ab}}{k_C S_C}\right)^2 + \left(\frac{\Delta H'_{ab}}{k_H S_H}\right)^2 + R_T \left(\frac{\Delta C'_{ab}}{k_C S_C}\right) \left(\frac{\Delta H'_{ab}}{k_H S_H}\right)} \quad (19)$$

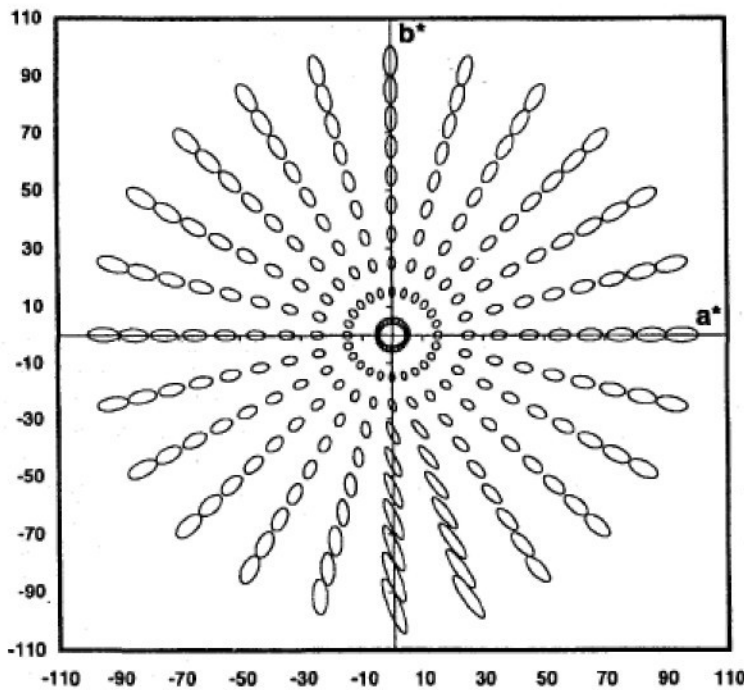
kde:

$$S_L = 1 + \frac{0,15(\overline{L'} - 50)^2}{\sqrt{20 + (\overline{L'} - 50)^2}} \quad S_C = 1 + 0,045\overline{C'_{ab}} \quad S_H = 1 + 0,015\overline{C'_{ab}} T$$

$$T = 1 - 0,17 \cos(\overline{h'_{ab}} - 30^\circ) + 0,24 \cos(2\overline{h'_{ab}}) + 0,32 \cos(3\overline{h'_{ab}} + 6^\circ) - 0,20 \cos(4\overline{h'_{ab}} - 63^\circ)$$

$$R_T = -\sin(2\Delta\theta)R_C \quad \Delta\theta = 30 \exp\left\{-[(\overline{h'_{ab}} - 275^\circ)/25]^2\right\}$$

$$R_C = 2\sqrt{\frac{\overline{C'_{ab}}^7}{\overline{C'_{ab}}^7 + 25^7}}$$



Obr. 20 Zobrazení tolerančních elips CIE2000 v soustavě CIELAB [1]

### 3.4 DIN 99

Rovnice DIN990 je německým pokusem o korekci nestejnoměrného vizuálního odstupňování.[15,3]

$$\text{Osa červená-zelená: } e = a^* \cdot \cos(16^\circ) + b^* \cdot \sin(16^\circ) \quad (20)$$

$$\text{Osa žlutá-modrá: } f = 0,7 \cdot (a^* \cdot \sin(16^\circ) + b^* \cdot \cos(16^\circ)) \quad (21)$$

$$\text{Měrná čistota: } G = \sqrt{e^2 + f^2} \quad (22)$$

$$\text{Měrný odstín: } h_{ef} = \arctan\left(\frac{f}{e}\right) \quad (23)$$

Následně se z těchto souřadnic vypočítají souřadnice barevného prostoru DIN990

$$L_{99} = 105,51 \cdot \frac{\ln(1 + 0,0158 \cdot L^*)}{k_e} \quad (24)$$

$$a_{99} = C_{99} \cdot \cos(h_{99}) \quad (25)$$

$$b_{99} = C_{99} \cdot \sin(h_{99}) \quad (26)$$

$$C_{99} = \frac{\ln(1 + 0,045 \cdot G)}{0,045 \cdot k_{CH} \cdot k_e} \quad (27)$$

$$h_{99} = h_{ef} \cdot \frac{180}{\pi} \quad (28)$$

$k_{CH}$  a  $k_e$  jsou adjustační parametry v obvyklém poměru  $(k_{CH} : k_e) = (2 : 0,5)$   
Totální barevná diference je dána rovnicí [3]:

$$\Delta E_{DIN99} = \sqrt{(\Delta L_{99})^2 + (\Delta a_{99})^2 + (\Delta b_{99})^2} \quad (29)$$

## 4. Experimentální část

Studie velkých barevných rozdílů, kterým se tato práce věnuje, nám má odhalit nedostatky mezi jednotlivými rovnicemi používanými při výpočtech barevných rozdílů. Byly vybrány tři rovnice CIELAB, CIE2000 a DIN99. Tyto rovnice se budou aplikovat v porovnání mezi objektivním (pomocí přístroje) a subjektivním měřením (pozorováním ve světelné skříni). Jak bude níže popsáno, byly nastaveny dva experimentální pokusy při odlišných podmínkách subjektivního hodnocení. Hlavní zpracování dat se bude týkat experimentu s podmínkami a označením VIZUÁLNÍ HODNOCENÍ 2 (Vis2). Díky nastavení experimentu bylo provedeno a vyhodnoceno 4800 subjektivních posouzení barevných rozdílů. Ty byly porovnány s výsledky vybraných rovnic barevných rozdílů z naměřených hodnot barevných rozdílů pomocí Spektrokolorimetru Datacolor 1000S.

### 4.1 Farnsworth-Munsell 100 Hue test

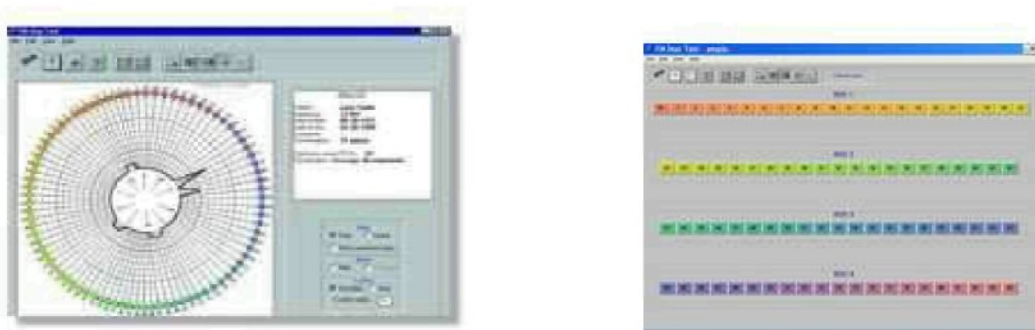
Tento test nám slouží k vyhodnocení barevného vidění jednotlivých respondentů. Rozřadí je do skupin barevného vnímání a popřípadě určí jejich defektní vidění [4].

Farnsworth-Munsell 100 Hue je nejjednodušší a nejpoužívanější test už více než 40 let. Sestává se ze čtyř odstínových řad, které pokrývají barvy viditelného spektra. V jednotlivých řadách jsou odstínované barevné čepičky, které respondent zařazuje mezi napevno ukotvené 2 barvy. [4] (Obr. 22)



Obr. 21 Farnsworth-Munsell 100 Hue

Pro vyhodnocení testu slouží speciální software dodávaný spolu s testem. Výsledky mohou být zobrazeny v polárním nebo lineárním formátu (Obr. 23). Pro naše vyhodnocení jsme používali formát polární.



**Obr. 22 Vyhodnocení testu ve formě polární a jednotlivé barevné řady**

Farnsworth-Munsell 100 Hue test nám rozřadil respondenty do dvou skupin a to Superior (SUP) a Average (AVG) (Tab. 1). Polární grafy vyhodnocující jednotlivé pozorovatele jsou uvedeny v příloze.

**Tab. 1 Rozřazení respondentů do skupin dle barevného vnímání**

| <b>Vizuální hodnocení 1</b> |                   |                |                   |
|-----------------------------|-------------------|----------------|-------------------|
| <i>Skupina</i>              | <i>Počet osob</i> | <i>Skupina</i> | <i>Počet osob</i> |
| Superior                    | 2                 | Average        | 13                |
| <b>Vizuální hodnocení 2</b> |                   |                |                   |
| Superior                    | 3                 | Average        | 7                 |

## **4.2 Měření barevných rozdílů**

Vizuální hodnocení barevných rozdílů probíhalo ve dvou fázích ve světelné skříní SPECTRALIGHT III označených Vizuální hodnocení 1 a 2.

### **4.2.1 Vizuální hodnocení 1**

Nejprve jsme dvakrát měřili vizuální hodnoty respondentů na barevných předlohách dodaných z BAM (Berlín) pod označením MG25, MG26 a MG27 (Obr. 24). Měření se účastnilo patnáct respondentů. Mezi dvěma měřeními musel mít respondent nejméně den volna z důvodu únavy očí a aby pozorovatel sám sebe neovlivňoval.

Barevné vzorníky jsou uspořádány do barevných kombinací. Na všech kartách se nachází základní barvy a jejich charakteristické označení černá N, bílá W, modrá C, fialová V, růžová M, oranžová O, žlutá Y, zelená L. Toto jsou základní barvy které jsou různě poskládány k sobě a mezi nimi i barevné kombinace.

Vzorky z karty MG25 jsou kombinací bílé nebo černé se 6 základními barvami. Plus doplňkové vzorky šedé. Na této kartě jsou barevné vzorky po třech (Obr. 24). Levá krajní má hodnotu 0 a pravá krajní hodnotu 1. Mezi nimi leží jejich kombinace kterou subjektivně hodnotil pozorovatel.

Na kartě MG26 jsou barevné vzorky uspořádány opět jako kombinace bílé nebo černé se stejnými šesti základními barvami, ale v počtu pěti vzorků vedle sebe ležících a postupně

odstínovaných (Obr.24). Opět platilo, že levý kraj je hodnota 0 a pravý kraj je hodnota 1. Zbylé tři vzorky hodnotil pozorovatel.

Na kartě MG27 se vyskytují opět vzorky po třech vedle sebe ale i tři barevné řady po pěti. Nejprve jsou kombinovány jednotlivé barvy, které leží mezi bílou a černou. Potom jsou jednotlivé barvy kombinovány spolu. Zvláštnost tvoří tři řady barevných vzorků po pěti, kde byly barvy kombinovány takto: levý kraj jedna ze základních barev, pak kombinace s prostřední (opět základní odstín) následuje kombinace barev s pravým krajem (opět barvy ze základní šestice) (Obr. 24).



Obr. 23 Barevné předlohy pro subjektivní hodnocení BAM

Pro lepší orientaci a k zaznamenání výsledků nám sloužily zapisovací karty v úpravě jako barevné předlohy. (Obr. 25)



Obr. 24 Zapisovací karty k barevným předlohám z BAM

U vizuální hodnocení 1 bylo díky nastavení experimentu rozhodnuto jen o jeho orientační hodnotě, proto nadále nebude náležitě vyhodnocen, tak jako hlavní experiment této práce.

#### 4.2.2 Vizuální hodnocení 2

Po ukončení vizuálního hodnocení 1 byly, po domluvě s Katedrou Optiky v Granadě Španělsko Prof. Melgosa, karty rozštíhány a sestaveny trochu odlišným způsobem. Vytvořily se početně vždy jen řady tří barevných vzorků vedle sebe. Bylo vytvořeno osm barevných sérií vždy po šesti barevných vzorcích (Obr. 26). Výjimka byla ve druhé sérii, kdy byl přidán vzorek šedé barvy. Vizuálního hodnocení 2 se zúčastnilo deset respondentů po pěti opakování. Opět se dělala pauza 24 hodin mezi jednotlivými pozorováními.

Pro toto hodnocení barevných rozdílů bylo použito i otočení vzorků, jelikož na původních kartách byli barevné vzorky uspořádány jen v určité poloze. V původním uspořádání nebyl brán ohled i na možnost ovlivnění našeho posouzení, když např. světlá barva leží vlevo a tmavá vpravo. Proto byl na jednotlivých barevných vzornících ustříhnut levý horní roh. Nejprve respondenti hodnotili jednotlivé série s ustříhnutým rohem vlevo nahoře (normální pozorování). Potom se opakovalo hodnocení jednotlivých sérií s ustříhnutým rohem vpravo dole (obrácené pozorování). Tím jsme dosáhli otočení barevné kombinace kdy se nám vyskytla např. tmavá barva vlevo a světlá barva vpravo.



Obr. 25 Uspořádání barevných sérií

Pro zapsání výsledků nám opět sloužily zapisovací karty. Ty byly vyhotoveny pro ustříhnutý roh vlevo nahore a vpravo dole. (Obr. 27)

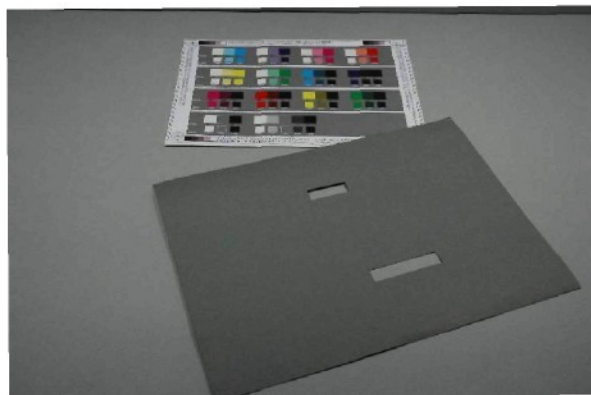
| Serie 1   | Serie 2 | Serie 3 | Serie 4 | Serie 5 | Serie 6 | Serie 7 | Serie 8 |
|---|---------|---------|---------|---------|---------|---------|---------|
| W Cw C N Ca C N C W C V M W W Cw C Cw Cw Cn Ca C N Nc Nc        |         |         |         |         |         |         |         |
| 0 0. 1 0. 0. 1 0 0. 1 0 0. 1 0 0. 1 0 0. 1 0 0. 1 0 0. 1 0 0. 1 |         |         |         |         |         |         |         |
| W Vw V N Vn V N V W Y O M M W Wv Vw V Vw VW VN Vn V N Nv Vn     |         |         |         |         |         |         |         |
| 0 0. 1 0. 0. 1 0 0. 1 0 0. 1 0 0. 1 0 0. 1 0 0. 1 0 0. 1 0 0. 1 |         |         |         |         |         |         |         |
| W Nw M N Mn M N M W Y L C W Wm Mw Mw Mw MN Mn M N Nm Mn         |         |         |         |         |         |         |         |
| 0 0. 1 0. 0. 1 0 0. 1 0 0. 1 0 0. 1 0 0. 1 0 0. 1 0 0. 1 0 0. 1 |         |         |         |         |         |         |         |
| W Cw O N On O N O W L C V W Ww Ow Ow Ow On On O N N On          |         |         |         |         |         |         |         |
| 0 0. 1 0. 0. 1 0 0. 1 0 0. 1 0 0. 1 0 0. 1 0 0. 1 0 0. 1 0 0. 1 |         |         |         |         |         |         |         |
| W Yw Y N Yn Y N Y W O Y L W Wy YW Y Yw YW YN Yn Y Y N YN        |         |         |         |         |         |         |         |
| 0 0. 1 0. 0. 1 0 0. 1 0 0. 1 0 0. 1 0 0. 1 0 0. 1 0 0. 1 0 0. 1 |         |         |         |         |         |         |         |
| W Lw L N Ln L N L W D M V W W Lw L Lw Lw LN L N N L LN          |         |         |         |         |         |         |         |
| 0 0. 1 0. 0. 1 0 0. 1 0 0. 1 0 0. 1 0 0. 1 0 0. 1 0 0. 1 0 0. 1 |         |         |         |         |         |         |         |
| N W   |         |         |         |         |         |         |         |
| 0 0. 1  |         |         |         |         |         |         |         |

### Obr. 26 Zapisovací karty pro Vizuální hodnocení 2

#### **4.3 Stanovení barevných rozdílů pozorovatelem ve světelné skříně**

Jednotliví pozorovatelé hodnotili jak v případě Vizuálního hodnocení 1 tak i 2 barevné vzorky od 0 do 1. Testování probíhalo ve světelné skříně SPECTRALIGHT III za definovaného osvětlení D65 bez přidání UV složky, v místnosti LCAM na KTM, která byla tmavá. Tudíž nedocházelo k tak velkému světelnému rušení. Jediné světlo v místnosti bylo jen světlo za skříně.

V případě Vizuálního hodnocení 1 jsme byli nuceni používat tzv. šedivá stínítka, aby nám barevné vzorky ležící na vzorkové kartě neovlivňovaly jednotlivá posouzení (Obr. 28). Při tomto hodnocení se nejprve sledovala barevná řada, kde jednotlivé barevné vzorky leží hned vedle sebe. Potom se hodnotila stejná barevná řada, kde jednotlivé barevné vzorky neleží vedle sebe, ale jsou samostatně a mezi nimi leží šedé pozadí (Obr. 29).



Obr.27 Barevná karta a stínítka



Obr.28 Pohled na vzorky během hodnocení

Vizuální hodnocení 2 bylo odlišné od prvního tím, že nastříhané barevné řady byly jednotlivě přilepeny na samostatné jasně rozměrově definované podložky z šedého kartonu (obr.30). Pro orientaci barevných vzorků nám sloužil oříznutý roh (Obr.31) Tímto oddelením jednotlivých barevných řad jsme nemuseli používat stínítka a v tomto případě nám ostatní barevné řady neovlivňovaly hodnocení.



Obr. 29 Jednotlivé barevné karty



Obr. 30 Oříznuté rohy sloužící k orientaci vzorku

#### **4.4 Objektivní měření barevných vzorků pomocí spektrofotometru Datacolor 600**

Objektivní měření barevných vzorků bylo provedeno pomocí spektrofotometru Datacolor 600. Díky tomuto měření mohlo být porovnáno objektivní měření se subjektivním. Pomocí tohoto měření jsme získali barevné souřadnice v prostoru CIELAB L\*,a\* a b\*. Na tomto přístroji byla difúzní geometrie nastavena na SCI D65/2.

## 4.5 Vyhodnocení výsledků

Vizuální hodnocení 2 jak již bylo výše uvedeno bylo rozděleno do osmi sérií po šesti barevných trojicích a v sérii dva po sedmi barevných trojicích. S daným počtem pozorovatelů (deset), a pěti opakování i obrácenému hodnocení nám výsledný počet jednotlivých hodnocení barevných trojic vyšplhá na 4900. Tyto hodnoty byly zapsány do tabulky a z jednotlivých pozorování u jednotlivců se udělal robustní průměr, u kterého se odstraňují okrajová data, která by mohla vybočovat. Z těchto osobních průměrů se dále sestavil opět robustní průměr pro všechny pozorovatele All a pro jednotlivé skupiny pozorovatelů spadajících do Superior SUP a Average AVG. Tato data tvoří základ porovnávání s vybranými rovnicemi barevných rozdílů.

Hodnoty souřadnic L\*, a\* a b\* naměřené pomocí spektrofotometru nám sloužily k výpočtům barevných rozdílů pomocí rovnic CIELAB, CIE2000 a DIN99 (vzorce 6-29). Jelikož se hodnotily trojice barevných vzorků, kdy krajní vzorky sloužily jako referenční a mezi nimi hodnocený vzorek, musel se tomu přizpůsobit i výpočet barevných diferencí. Nejprve se vypočítala barevná differenze mezi levým referenčním vzorkem a prostředním hodnoceným vzorkem (ve výpočtech označen dE 1). Potom následoval výpočet mezi pravým referenčním vzorkem a prostředním hodnoceným vzorkem (ve výpočtech označen dE 2). U výpočtů barevných rozdílů CIELAB byl ještě použit výpočet totálního barevného rozdílu mezi krajními referenčními vzorky (ve výpočtech označen dE3). Aby bylo zajištěno umístění vzorku v prostoru, byl použit poměrový vzorec pro vypočítané barevné differenze.

$$dE_{RELnew} = \frac{dE1}{(dE1 + dE2)} \quad (30)$$

Tento poměrový vzorec pro umístění barevného vzorku byl použit na místo klasického

$$dE_{REL} = \frac{dE1}{dE3} \quad (31)$$

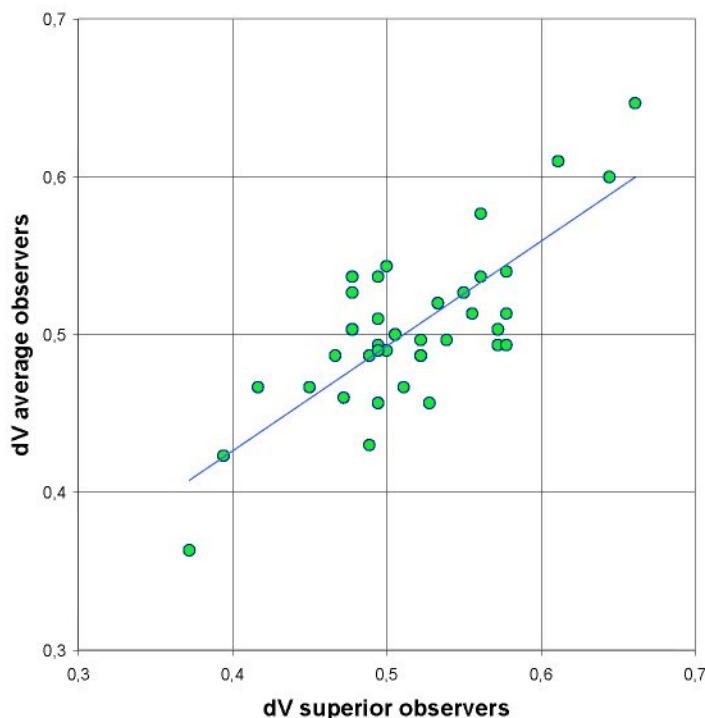
Výpočet  $dE_{RELnew}$  (30) byl použit z důvodu nekonzistentnosti barevného prostoru a výpočtů v něm. U malých barevných diferencí se tato chyba skoro neprojeví, kdežto u výpočtů tak velkých barevných diferencí, který se vyskytl v našem experimentu, se může tato chyba projevit velkým rozdílem.

Těmito vypočítanými hodnotami bylo dosaženo výsledků barevných diferencí, které se můžou porovnávat s výsledky z vizuálního hodnocení. Porovnávání těchto výsledků se provedlo pomocí vzájemných korelací zobrazených pomocí grafu nebo pomocí výpočtu.

#### 4.5.1 Vzájemné korelace a grafy Vis 2

Jelikož byla skupina pozorovatelů rozdělena na Superior a Average, bylo nutné zjistit vzájemnou míru závislosti mezi těmito dvěma skupinami na normálním i obráceném pozorování dohromady.

Graf. 1 Korelace skupiny Superior a Average 0,802642



Z tohoto grafu je patrné že obě skupiny provedly měření s téměř stejným vyhodnocením a vzájemná míra závislosti je vysoká. Pokud tuto korelací ještě rozdělíme na normální pozorování a obrácené (Tab.2) můžeme zde vidět, že jednotlivé skupiny se více lišily v pozorování u normálního pozorování. Při obráceném pozorování se jednotlivé skupiny více shodly v hodnocení.

Tab. 2 Korelace mezi skupinami SUP a AVG při normálním, obráceném pozorování a bez série 4

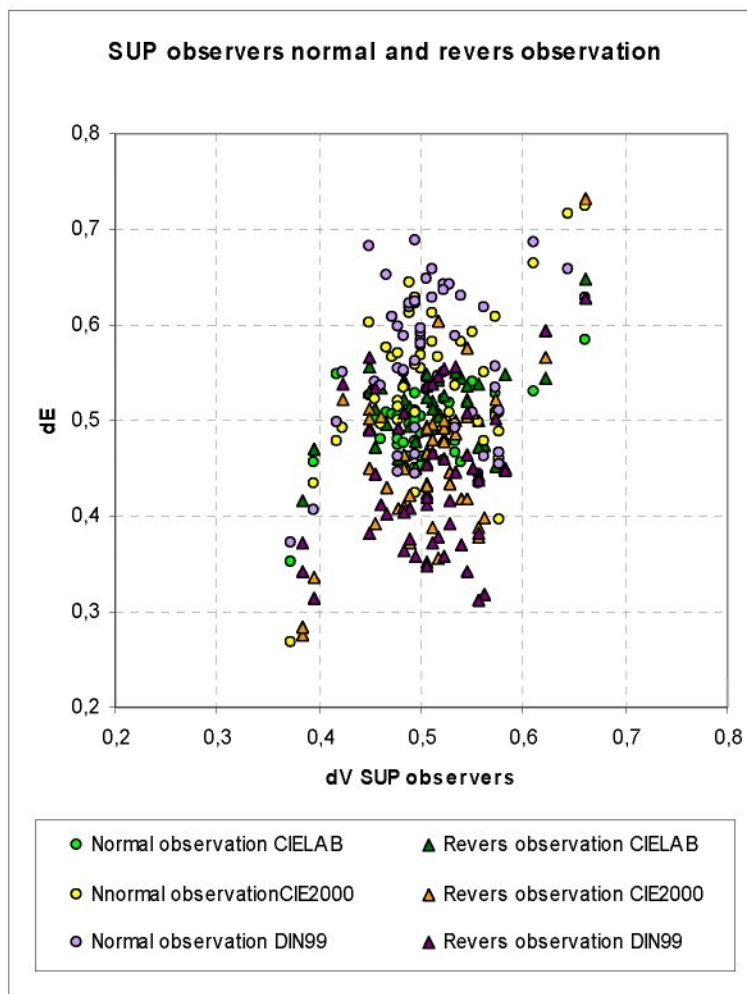
| Corelation | Normal       | Revers       | But for 4 set |
|------------|--------------|--------------|---------------|
| SUP a AVG  | <b>0,760</b> | <b>0,852</b> | <b>0,742</b>  |

Pro porovnání vizuálního hodnocení skupiny SUP s výpočty vybraných rovnic je sestavena tabulka (Tab.3) vzájemných korelací.

**Tab. 3 Hodnoty korelací skupina SUP a vybrané rovnice při normálním, obráceném hodnocení a hodnocení bez série 4 (Graf 2)**

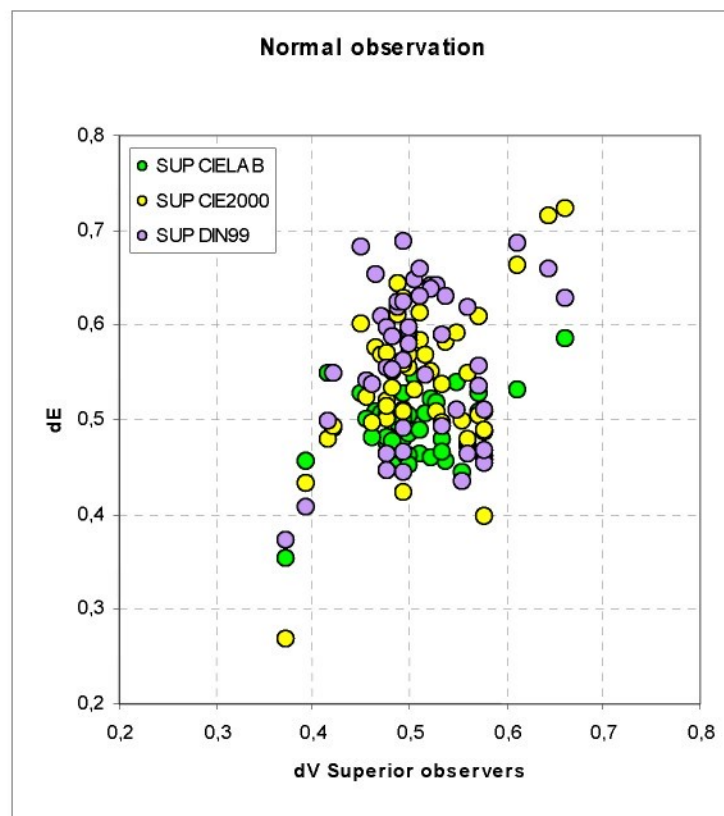
| SUP                  | CIELAB   | CIE2000  | DIN99    |
|----------------------|----------|----------|----------|
| <b>Normal obs.</b>   | 0,473763 | 0,462497 | 0,250158 |
| <b>Revers obs.</b>   | 0,527041 | 0,524152 | 0,273856 |
| <b>But for 4 set</b> | 0,385798 | 0,345261 | 0,145807 |

*Graf 2 Celkové porovnání normálního a obráceného hodnocení s vybranými rovnicemi*

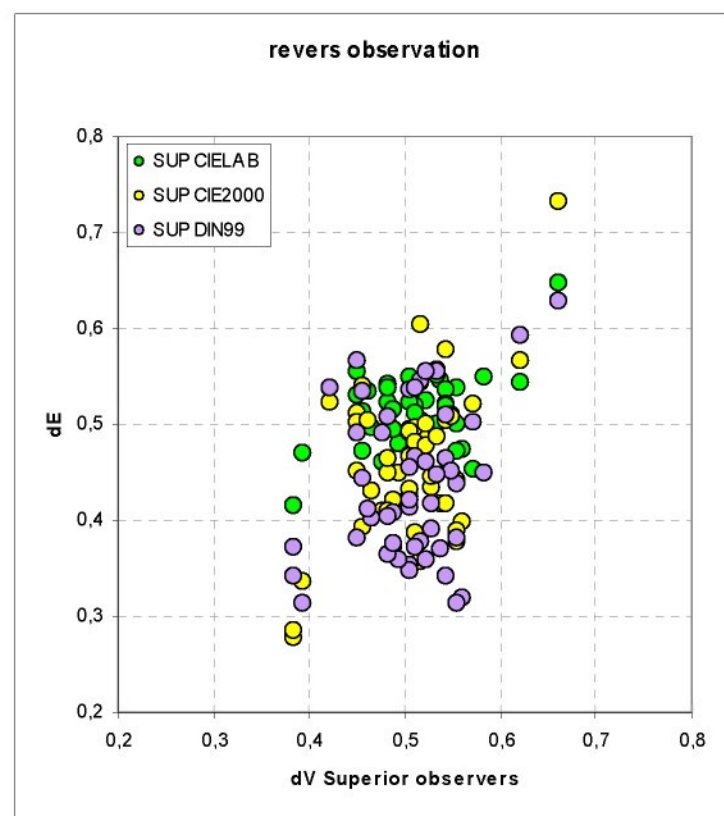


Z výsledků je patrné, že lepší vzájemnou závislost dat mají výsledky rovnic CIELAB před ostatními rovnicemi. Zajímavé je, že v obráceném pozorování (Graf. 4) došlo k lepší shodě dat mezi objektivním a subjektivním měřením než u normálního pozorování (Graf. 3). Po vyloučení série 4 (Graf.5) nám vzájemná korelace klesla mnohem více. Tento pokles mohl nastat z důvodů, že série 4 se špatně vyhodnocovala a jednotliví pozorovatelé spíše než na vizuální podnět dali na logické vysvětlení. Série 4 byla odstraněna z normálního pozorování a její výsledek nám spíše říká, že objektivní a subjektivní hodnocení se těžko srovnává. Hodnoty korelací ukazují na slabé až velmi slabé závislosti dat.

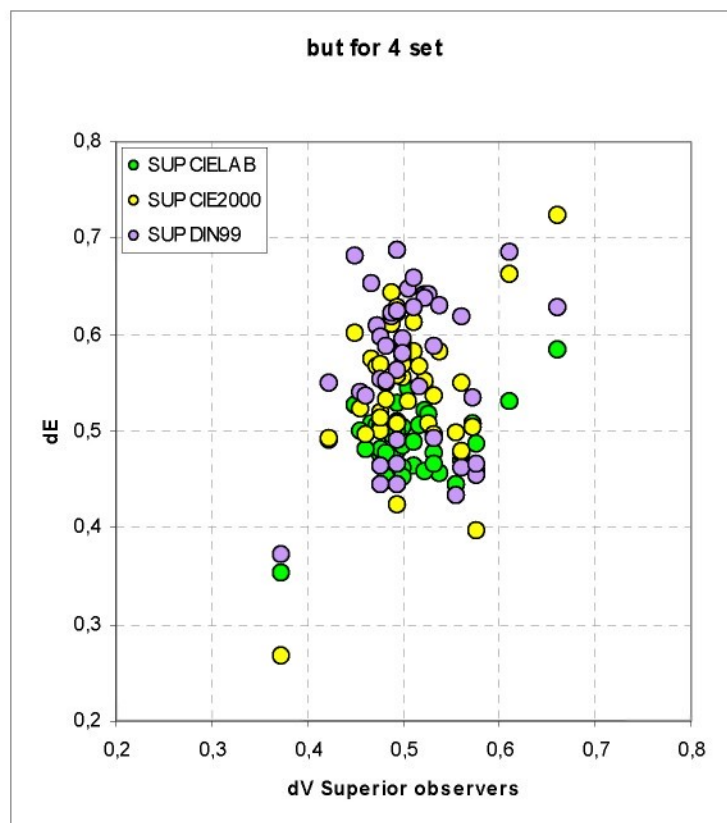
Graf 3 Korelace skupiny SUP s objektivním měřením pro Normální pozorování



Graf 4 Korelace skupiny SUP s objektivním měřením pro Obrácené pozorování



Graf 5 Korelace skupiny SUP s objektivním měřením bez 4 sérií pozorování



Dále byly v takovémto porovnávání vyhotoveny grafy i pro skupiny All, a Average (AVG). Ty byly také rozděleny na Normální pozorování, Obrácené a bez série 4. O osvobození dat od čtvrté série bylo rozhodnuto z důvodu vizuálně velmi těžko určitelné barevné diference. Ve čtvrté sérii se nacházejí trojice vzorků sytých odstínů (např. Modrá C, fialová V, růžová M). U těchto vzorků nenarůstá nebo se nesnižuje čistota barvy, tak jako u ostatních vzorků a tudíž se pozorovatelům hůře určovali barevné diference. Všechny hodnoty korelací budou vypsány v tabulce (Tab.4). Ostatní grafy budou součástí tištěné přílohy.

Tab.4 Hodnoty korelací pro všechny skupiny pozorovatelů na vybraných rovnicích pro normální obrácené pozorování a bez série 4

| Observation | Normal |         |       | Revers |         |       | But for 4 set |         |       |
|-------------|--------|---------|-------|--------|---------|-------|---------------|---------|-------|
|             | CIELAB | CIE2000 | DIN99 | CIELAB | CIE2000 | DIN99 | CIELAB        | CIE2000 | DIN99 |
| All         | 0,473  | 0,490   | 0,230 | 0,514  | 0,578   | 0,308 | 0,399         | 0,399   | 0,123 |
| SUP         | 0,474  | 0,462   | 0,250 | 0,527  | 0,524   | 0,274 | 0,386         | 0,345   | 0,146 |
| AVG         | 0,462  | 0,490   | 0,224 | 0,514  | 0,578   | 0,312 | 0,402         | 0,410   | 0,127 |

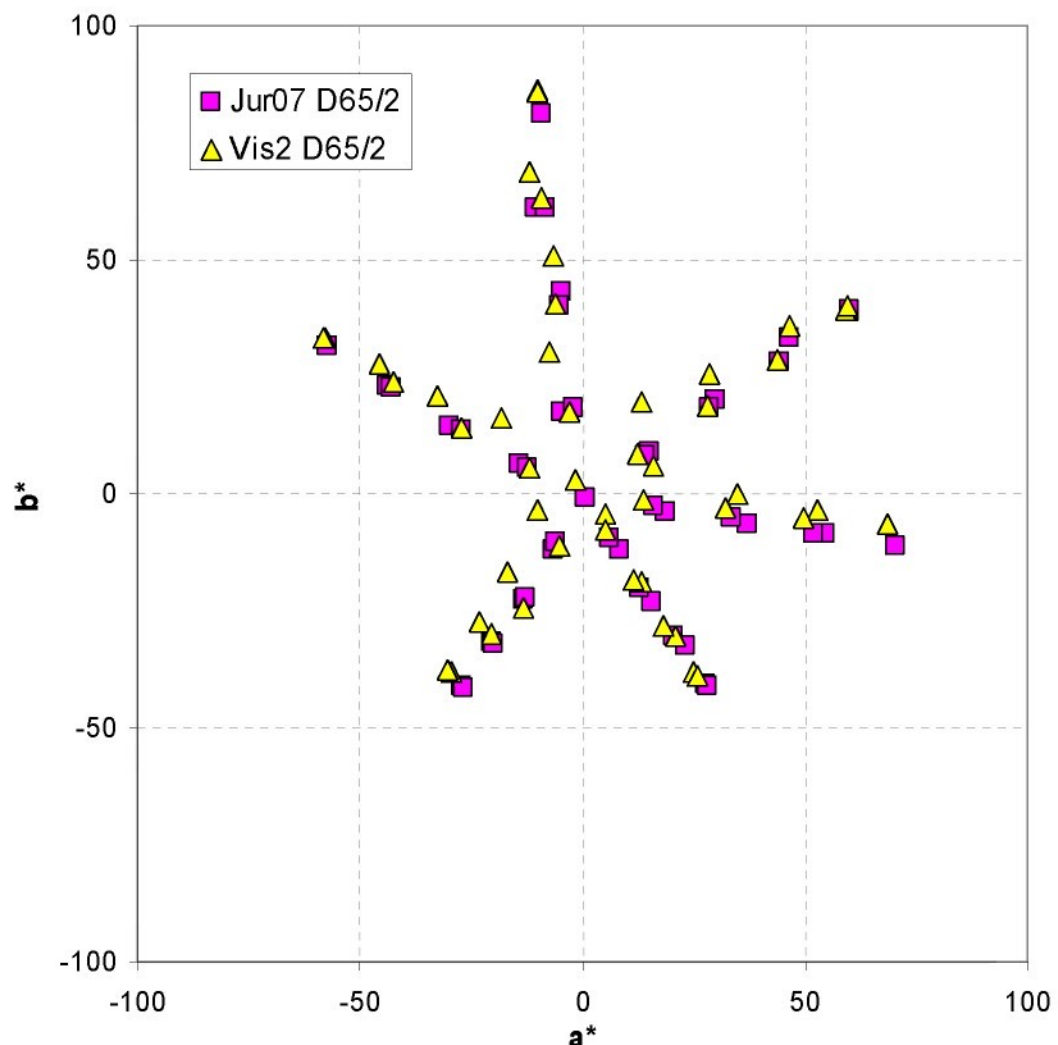
#### 4.5.2 Porovnání experimentů Vis 2 a Jur07

Dalším krokem vyhodnocení naměřených dat bylo porovnat nově vzniklé výsledky Vis 2 s výsledky z předcházejícího roku Jur07, které vyhotovila Ing. Vladimíra Juřičková na Katedře textilních materiálů v Liberci.

V grafu chromatické plochy souřadnic v prostoru CIELAB (Obr.39) je ukázáno porovnání naměřených souřadnic mezi měřeními spektrofotometrem Datacolor 600 Vis 2 D65/2 a Datacolor 600 Jur07 D65/2.

Graf 6 Porovnání naměřených souřadnic Datacolor 600 D65/2

#### Confrontation measure samples Jur D65/2 and Vis2 D65/2

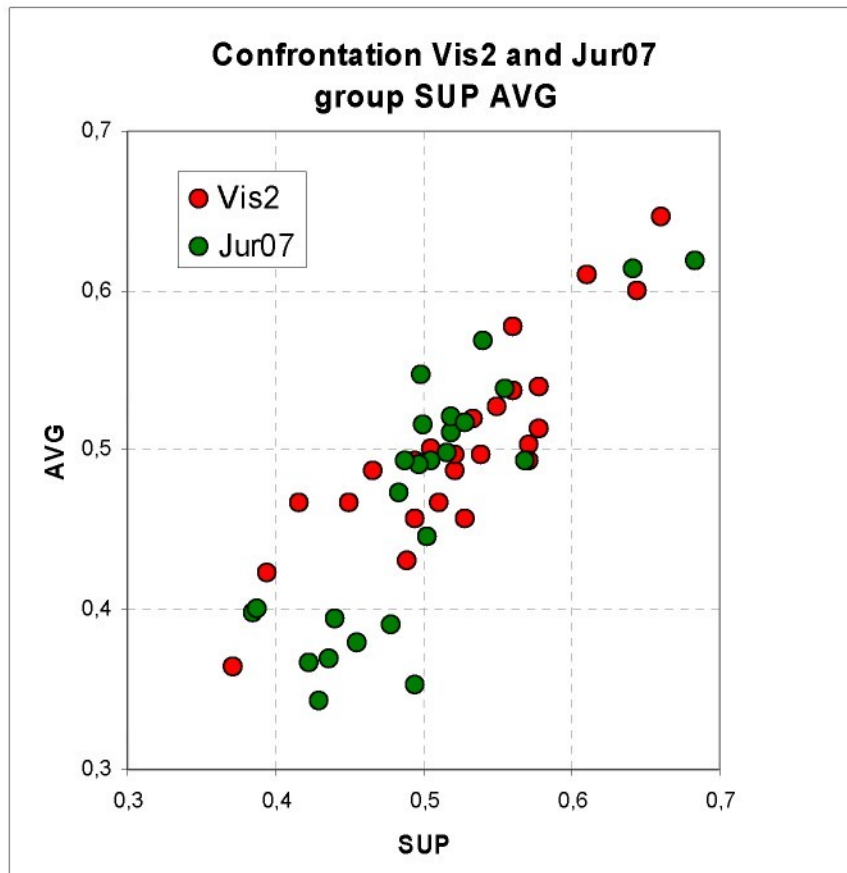


V tomto grafu je vidět jak se naměřené chromatické hodnoty dvojího měření na stejném přístroji nepatrн liší. Měřící geometrie u použitého přístroje difúzní koule SCI D65/2 osvětlení D65 pro dvoustupňového pozorovatele.

Pro porovnání dvou experimentů Vis 2 a Jur07 muselo dojít k dalším úpravám dat. Jelikož experiment Jur07 byl vyhotoven na kartách barevných vzorků, jako v případě experimentu Vizuální hodnocení 1 z německého BAM, mohl být experiment Vis 2 porovnán jen s kartami MG25 a MG27. Na těchto kartách nalezneme totiž stejně trojice vzorků, odpovídající sériím 1 až 4. Na kartě MG26 byly vytiskeny vzorky v pěticích, které pro Vis 2 byly rozstříhány na trojice. Z tohoto důvodu lze porovnat jen data z karet MG25 a 27.

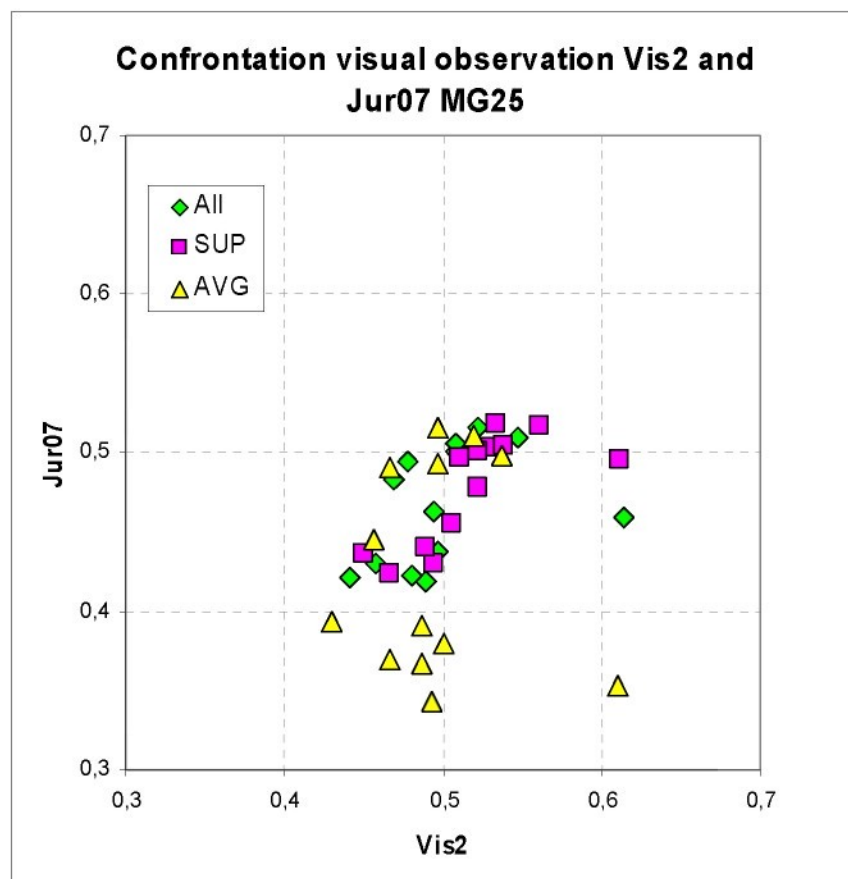
Porovnání těchto dvou experimentů opět bude vyhotoveno pomocí korelací jednotlivých dat graficky a pomocí hodnot v tabulkách. Nejprve se porovná míra závislosti hodnocení skupin SUP a AVG mezi sebou u experimentů Vis 2 a Jur07 (Graf 7).

*Graf 7 Porovnání korelací skupin SUP a AVG pro jednotlivé experimenty Vis2 0,878898 a Jur07 0,832631*

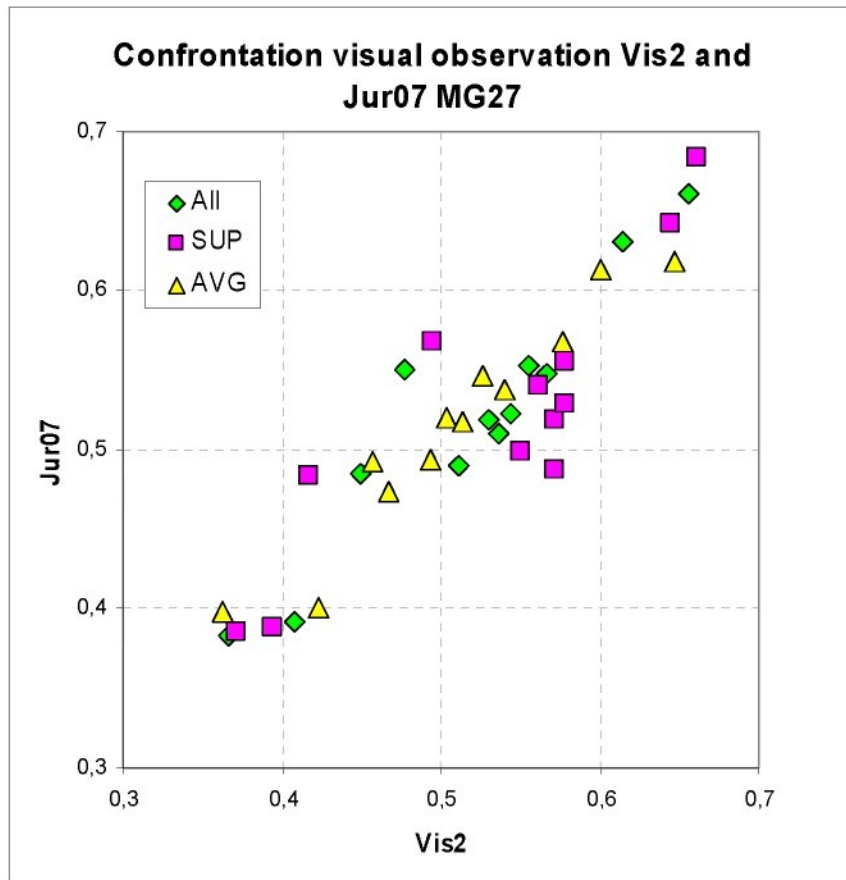


Pokud porovnáme míru závislosti jednotlivých skupin All, SUP a AVG mezi experimenty Vis2 a Jur07 na jednotlivých kartách MG 25 a 27 (Graf 8 a 9), vzájemné korelace mezi experimenty se začnou výrazně lišit. Tento rozdíl je dobře patrný ve vyjádření hodnot jednotlivých korelací (Tab. 5).

*Graf 8 Porovnání vizuálního hodnocení skupin All, SUP a AVG z karty MG25 BAM mezi experimenty Vis 2 a Jur07*



Graf 9 Porovnání vizuálního hodnocení skupin All, SUP a AVG z karty MG27 BAM mezi experimenty Vis 2 a Jur07



Tab. 5 Vzájemné porovnání vizuálního hodnocení skupin All, SUP a AVG u experimentů Vis2 a Jur07

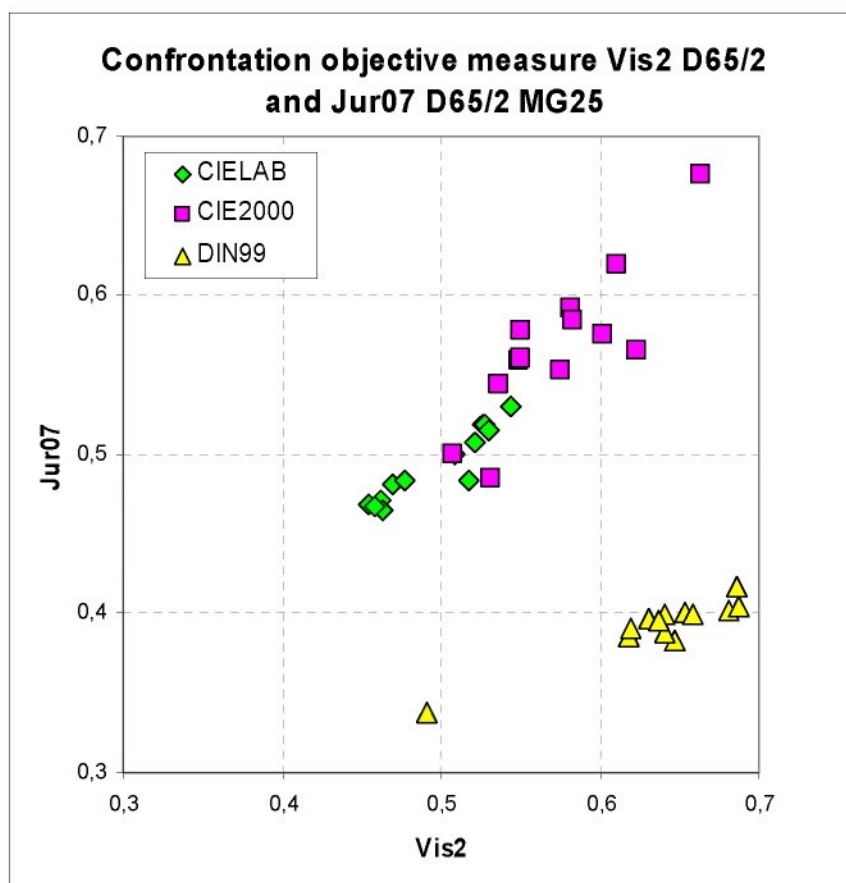
| Cards                 | MG25   |       | MG27  |       |
|-----------------------|--------|-------|-------|-------|
|                       | Set 1  | Set 2 | Set 3 | Set 4 |
| Corelation Vis2 Jur07 |        |       |       |       |
| All                   | 0,604  | 0,851 | 0,941 | 0,944 |
| SUP                   | 0,884  | 0,855 | 0,894 | 0,844 |
| AVG                   | -0,401 | 0,835 | 0,993 | 0,991 |

Z hodnot korelací je patrné, že vizuální hodnocení u obou experimentů se skoro nelišilo. Vycházejí vysoké korelační koeficienty, které nám říkají o vysoké závislosti dat.

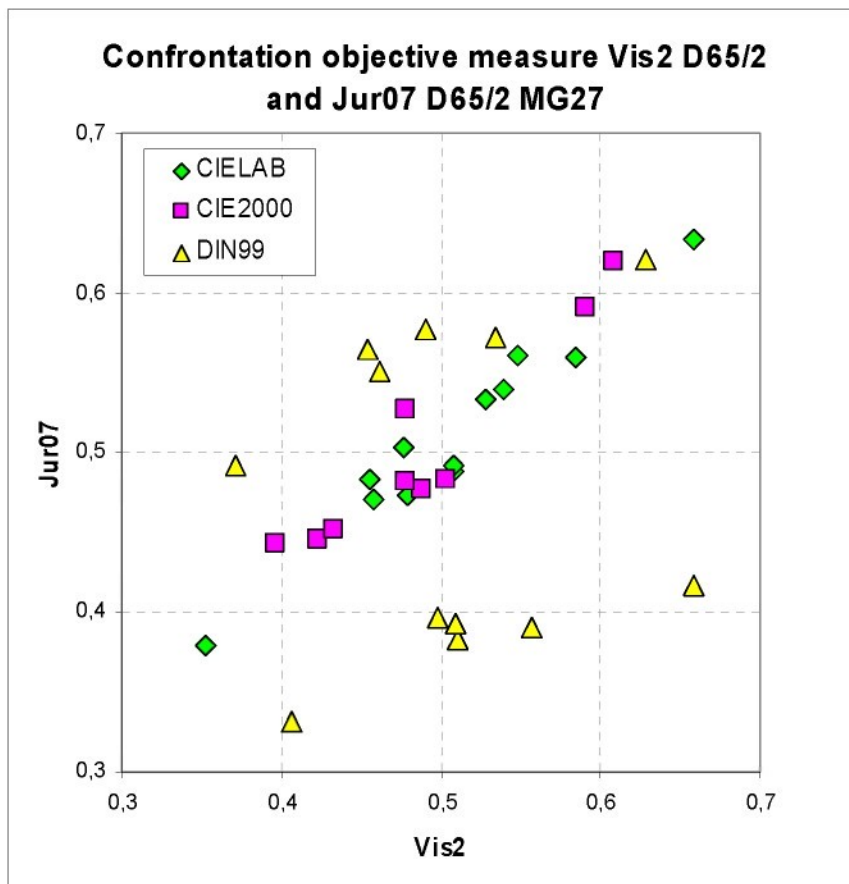
Odlišný výsledek se nám ukázal jen u série 1 na kartě MG25, kdy jednotlivé posudky se velmi lišily mezi skupinami AVG. Tento jev je zapříčiněn hodnocením vzorků pozorovateli nižším než kolem hodnoty 0,5. Jedná se o sérii vzorků mezi Bílou W a nejčistší barvou (např. Modrou C). Pozorovatelům se mohli jevit vzorky mnohem světlejší než ve skutečnosti byly natisknutý. Skupiny SUP v této sérii vyhodnotily vzorky obdobně pro oba experimenty. Kartu MG27 jednotlivé skupiny pozorovatelů vyhodnotili téměř podobně.

Dále se porovnávaly výsledky vybraných rovnic z objektivního měření mezi jednotlivými experimenty. Jak již bylo výše řečeno oba experimenty porovnávaly vizuální data s objektivním měřením provedeném na stejném přístroji při stejném nastavení. Po zajištění této podmínky je možné předpokládat, že výsledná data budou velmi podobná a jejich vzájemná korelace velmi vysoká. Objektivní měření barevných vzorků provedená na jakémkoliv přístroji by si měla co možná nejvíce odpovídat s co možná největší vzájemnou korelací kolem hodnoty 1 nebo -1. Jak bude ukázáno v grafech (Graf 9 a 10) a tabulce (Tab.6) vzájemných korelací u série 1 na kartě MG25 se tento předpoklad vyvrací.

*Graf 10 Porovnání korelací objektivního měření přepočítaného pomocí vybraných rovnic mezi experimenty Vis2 D65/2 a Jur07 D65/2 na kartě MG25 BAM*



Graf 11 Porovnání korelace objektivního měření přepočítaného pomocí vybraných rovnic mezi experimenty Vis2 D65/2 a Jur07 D65/2 na kartě MG25 BAM



Tab. 6 Vzájemné porovnání výpočtů barevných rozdílů na vybraných rovnicích z objektivního měření u experimentu Vis2 D65/2 a Jur07 D65/2

| Cards                             | MG25  |       | MG27  |       |
|-----------------------------------|-------|-------|-------|-------|
|                                   | Set 1 | Set 2 | Set 3 | Set 4 |
| Corelation Vis2 D65/2 Jur07 D65/2 |       |       |       |       |
| CIELAB                            | 0,963 | 0,982 | 0,972 | 0,972 |
| CIE2000                           | 0,843 | 0,990 | 0,981 | 0,994 |
| DIN99                             | 0,680 | 0,980 | 0,944 | 0,876 |

Tento výsledek je velmi překvapivý. Spíše vypovídá o nějaké systematické chybě provedené během zpracování dat. Bylo provedeno několik kontrolních měření barevných vzorků a vzájemného porovnání s výsledky experimentu Jur07. Vzájemné korelace se o moc nevylepšily, musím tedy předpokládat, že je již nějaká neprokázaná chyba v experimentu Jur07. Tento předpoklad byl ověřen kontrolním přepočtem vzájemných korelací mezi vizuálním hodnocením a objektivním měřením u experimentu Jur07 (Tab. 7). Tento přepočet byl proveden podle podmínek výpočtů nastavených pro experiment Jur07. Hodnoty korelací se mezi výsledky prezentované v práci Jur07 [20] od hodnot přepočítaných podle nových

podmínek velmi liší. Proto je nutné provést kontrolu, odstranění chyby z naměřených dat a nové porovnání těchto experimentů. Z časového omezení tato kontrola, nebyla provedena v této práci.

**Tab. 7 Porovnání korelací dat z experimentu Jur07 prezentovaných v diplomové práci ing. Vladimíry**

**Juřičkové s daty z té samé práce přeypočítané podle podmínek použitých ve vyhodnocení Vis2**

| Cards MG25                  | CIELAB | CIE2000 | DIN99  |
|-----------------------------|--------|---------|--------|
| SUP Jur07                   | 0,504  | -0,586  | -0,668 |
| SUP Jur07 New specification | -0,539 | 0,009   | -0,334 |

## 5. Závěr

Tato práce nám v teoretické části představila nejvýznamnější a nejpoužívanější systémy uspořádání barev. Byly představeny systémy Munsellův Atlas barev, OSA-UCS a NCS jejich vývoj a uspořádání.

Dále byly v práci představeny tři výpočtové rovnice barevných rozdílů CIELAB, CIE2000 a DIN99. Podle těchto výpočtových rovnic se provedlo vyhodnocení experimentu. Cílem této práce bylo rozhodnout o tom, která z těchto vybraných rovnic lépe poslouží pro výpočet barevných rozdílů. Z výsledků experimentu je patrné, že ani jedna z těchto rovnic není úplně optimální pro výpočet takto velkých barevných rozdílů, které byly použity v experimentu. Nicméně nejlépe stále vychází na takto velké barevné rozdíly používat rovnici CIELAB, která byla schválena komisí CIE v roce 1976. Novější výpočtová rovnice CIE2000, které je určena pro výpočty malých barevných rozdílů ( $\Delta E_{2000} \leq 5$ ), se prokázala ve výpočtech takto velkých barevných rozdílů o něco hůře než CIELAB, i když výsledný rozdíl byl velmi malý, přesto ji nelze doporučit pro výpočty takto velkých barevných rozdílů. Tuto domněnku má Komise CIE stále na mysli a proto se neustále provádějí experimentální měření velkých barevných rozdílů. Poslední rovnici, která byla v této práci porovnávána je německá DIN99, také určena pro výpočty malých barevných rozdílů. Z výsledků experimentu je patrné, že tato rovnice se z vybraných výpočtových rovnic hodí nejméně pro takto velké barevné diference a nelze ji pro výpočty velkých barevných rozdílů doporučit..

V experimentální části bylo v této práci popsáno a vysvětleno, jak probíhalo vizuální hodnocení v jednotlivých experimentech Vizuální hodnocení 1 a Vizuální hodnocení 2 (Vis2) a objektivní měření. Dále bylo vysvětleno, jakým způsobem se zpracovávala data. Dalším úkolem této práce bylo porovnat experiment, který byl vyhotoven v roce 2007

ing. Vladimírou Juřičkovou s experimentem Vis2 (touto prací) vyhotoveného Bc. Martou Hauckovou. Každý z těchto dvou experimentů byl nastaven odlišným způsobem a s jinými podmínkami. I když byly tyto experimenty nastaveny odlišným způsobem šlo je po matematické úpravě vzájemně porovnat. Vzájemné porovnání vizuálních hodnocení nám odhalilo, že posudky skupiny Superior se nám lišili jen velice nepatrně. Porovnání skupin Average se v hodnocení série vzorků 1 na kartě MG25 velmi lišila. I porovnání výsledků z objektivního měření dopadlo z velké části velmi dobře. V sérii 1 se opět vyskytly problémy ve vzájemném porovnání a výsledné korelace nesplňovaly předpoklad vysoké korelace. Z těchto výsledků vyplývá doporučení celkové kontroly experimentu Jur07.

Posledním úkolem této práce bylo rozhodnout, jestli nové nastavení experimentu Vis2 je lepší než stávající nastavení použité u Vizuálního hodnocení 1 a Jur07. Už u samotného vizuálního hodnocení barevných diferencí dochází k odlišnosti, že pozorovatel hodnotí vždy jen trojice vzorků v hodnotovém rozmezí 0 až 1. Tímto nastavením můžeme říci, že pozorovatel sám sebe málo ovlivňuje v rozhodnutí o barevném rozdílu, protože rozmezí hodnot 0-1 nemá rozděleno na více částí. Další velkou výhodou v novém nastavení experimentu je možnost vzorky hodnotit z opačného směru. Není tu pravidlo umístění světlejší barvy vpravo. Z výsledků je patrné, že Obrácené pozorování se více blíží hodnotám z objektivního měření. Můžeme tvrdit, že nové nastavení experimentu je velice efektivní a přibližuje se velmi blízko k více odpovídá objektivnímu měření.

## Použitá Literatura:

- [1] Kuehni, R. : Color Spaces and Its Divisions, John Wiley and Sons, Hoboken 2003
- [2] Vik, M. : Základy měření barevnosti, I. díl, Skriptum TU Liberec 1995
- [3] Vik, M. : Měření barevnosti a vzhledu - Barevné odchylky, Skriptum TU Liberec 1995
- [4] Investigative Ophthalmology and Visual Science, March 1993, Vol. 34, No. 3
- [5] Vik,M. :Měření barevnosti a vzhledu – 1.část  
[http://www.odbornecasopisy.cz/index.php?id\\_document=22867](http://www.odbornecasopisy.cz/index.php?id_document=22867) staženo dne 7.4.2008
- [6] Modern color models <http://www.handprint.com/HP/WCL/color7.html> staženo dne 7.4.2008
- [7] Stránky NCS <http://www.ncscolour.co.uk/> staženo dne 9.4.2008
- [8] Luo, M.R., Cui, G., Rigg,B.: Color Res. Appl. 26 (2001), 6, 340-350
- [9] Berns, R.S. : Derivation of a hue-angle dependent, hue-difference weighting function for CIEDE2000, AIC Color 01, Rochester 24-29. 06. 2001, USA
- [10] Terstiege, H. : Die Farbe 39 (1993), 1-6, 253-276
- [11] Stránky ColorVision Print FIX POR <http://www.luminous-landscape.com/reviews/Printfix%20Pro.shtml> staženo dne 3.5.2008
- [12] Indow, T. 2001 Uniformities in OSA-UCS and in NCS tested by color difference prediction based on principál hue components. Proceedings AIC Color 01. Bellingham, WA:SPIE,2002.
- [13] Hard, A., Sivik, L. 1981. NCS, Natural Color Systém- From koncept to research and applications. Part I. Color Research and Applications 21:180-205. Part II. Color Research and Applications 21:206-220.
- [15] Witt, K.: New Color Difference Formulas DIN99 and CIELAB2000, Innovation in Measuring Color and Whiteness, TITV, May 2001 Greiz, Germany
- [16] Judd, D.B. 1955. Progress report by Optical Society of America Committe on Uniform Color Scales. Journal of the Optical Society of America 45:673-676.
- [17] Kurz, J.,Lebenshaft, W. : Farbmessung - Farbmetrik und ihre Anwendung in der Textilindustrie, Sonderdruck aus Zeitschrift fuer die gesamte Textilindustrie, Moenchengladbach Jahrgang 67 (1965), Hefte 8, 9, 10, 12 und Jahrgang 68 (1966), Hefte 1, 5, 9, 12
- [18] Newhall, S.M., Nickerson, D., and Judd, D. B. 1943. Final report of the O.S.A. subcommitté on the sparing of the Munsell colors. Journal of the Optical Society of America 33:385-418.

- [19] Judd D.B. 1967 Committe on Uniform Color Scales – Fourth progress report. Journal of the Optical Society of America 58:557.
- [20] Juřičková, V. : Diplomová práce 2007, Vizuální hodnocení velkých barevných rozdílů

Tab. Seznam pozorovatelů a datumy jednotlivých měření

|    | <b>Personal No.</b> | <b>Name</b>      | <b>Birthday</b> | <b>F.M. 100 Hue test</b> | <b>1.observation</b> | <b>2.observation</b> | <b>3.observation</b> | <b>4.observation</b> | <b>5.observation</b> |
|----|---------------------|------------------|-----------------|--------------------------|----------------------|----------------------|----------------------|----------------------|----------------------|
| 1  | M002                | Haucková Marta   | 12.11.1982      | Average                  | 22.1.2008            | 23.1.2008            | 28.1.2008            | 29.1.2008            | 30.1.2008            |
| 2  | M004                | Škloudová Alena  | 4.6.1983        | Average                  | 23.1.2008            | 5.2.2008             | 6.2.2008             | 7.2.2008             | 12.2.2008            |
| 3  | M006                | Forštová Zuzana  | 31.1.1984       | Average                  | 22.1.2008            | 23.1.2008            | 29.1.2008            | 30.1.2008            | 31.1.2008            |
| 4  | M008                | Ryplová Pavla    | 4.5.1984        | Average                  | 23.1.2008            | 28.1.2008            | 29.1.2008            | 31.1.2008            | 5.2.2008             |
| 5  | M011                | Šamáňková Božena | 27.5.1983       | Average                  | 22.1.2008            | 23.1.2008            | 28.1.2008            | 29.1.2008            | 30.1.2008            |
| 6  | M017                | Amrož Petr       | 18.2.1984       | Superrior                | 29.1.2008            | 30.1.2008            | 31.1.2008            | 4.2.2008             | 5.2.2008             |
| 7  | M018                | Jirásek Leoš     | 22.3.1984       | Superrior                | 29.1.2008            | 30.1.2008            | 31.1.2008            | 4.2.2008             | 5.2.2008             |
| 8  | M019                | Ruffer Lukáš     | 31.1.1983       | Average                  | 29.1.2008            | 30.1.2008            | 31.1.2008            | 5.2.2008             | 6.2.2008             |
| 9  | M020                | Nenutil Martin   | 14.2.1987       | Superrior                | 30.1.2008            | 31.1.2008            | 4.2.2008             | 6.2.2008             | 12.2.2008            |
| 10 | M021                | Kula Jiří        | 5.8.1983        | Average                  | 30.1.2008            | 31.1.2008            | 4.2.2008             | 5.2.2008             | 6.2.2008             |

Tab. Vyhodnocení Farnsworth-Munsel 100 Hue Test

#### ANALYSIS

Subject - **Marta Haucková**

Reference - **M002**

Date of Birth - 12-11-1982

Date of test - 09-10-2007

Comments -

Total error score (TES) = 32

Square root (TES) = 5.66

Classification = Average discrimination

Percentile

'Unselected' = 60%

'In plant' = 30%

'Experienced' = 10%

Vingrys analysis

Angle =62.9

C Index = 1.29

S Index = 1.43

Suggested Diagnosis - Normal

#### ANALYSIS

Subject - **Alena Školoudová**

Reference - **M004**

Date of Birth - 04-06-1983

Date of test - 09-19-2007

Comments -

Total error score (TES) = 44

Square root (TES) = 6.63

Classification = Average discrimination

Percentile

'Unselected' = 50%

'In plant' = 20%

'Experienced' = < 10%

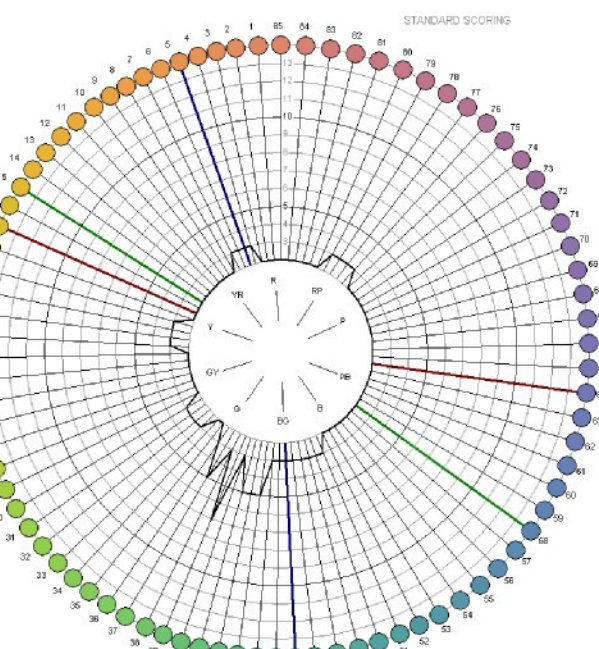
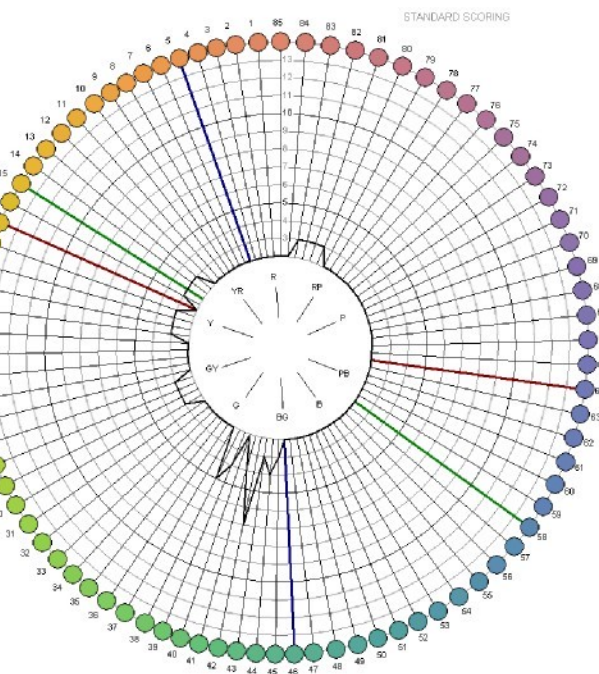
Vingrys analysis

Angle =60.79

C Index = 1.37

S Index = 1.56

Suggested Diagnosis - Normal



## ANALYSIS

Subject - **Zuzana Forštová**

Reference - **M006**

Date of Birth - 01-31-1984

Date of test - 09-20-2007

Comments -

Total error score (TES) = 36

Square root (TES) = 6.0

Classification = Average discrimination

Percentile

'Unselected' = 60%

'In plant' = 30%

'Experienced' = 10%

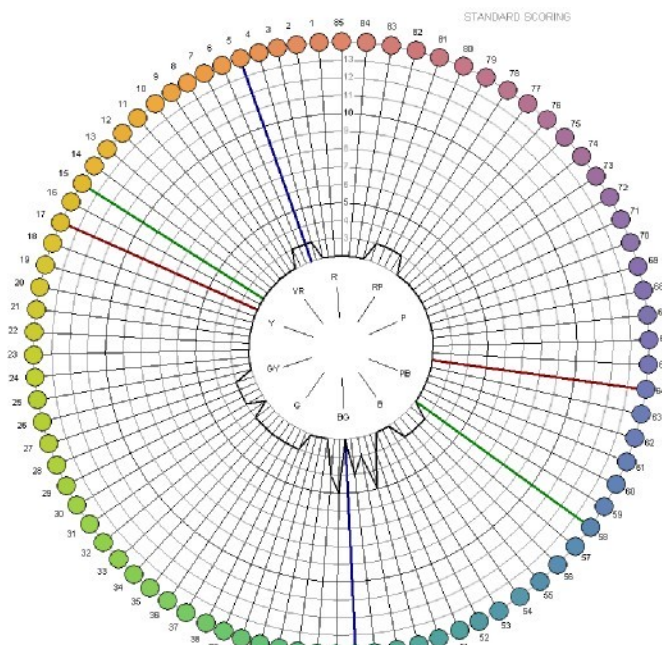
Vingrys analysis

Angle = 60.52

C Index = 1.21

S Index = 1.28

Suggested Diagnosis - Normal



## ANALYSIS

Subject - **Pavla Ryplová**

Reference - **M008**

Date of Birth - 05-04-1984

Date of test - 09-25-2007

Comments -

Total error score (TES) = 24

Square root (TES) = 4.9

Classification = Average discrimination

Percentile

'Unselected' = 70%

'In plant' = 50%

'Experienced' = 20%

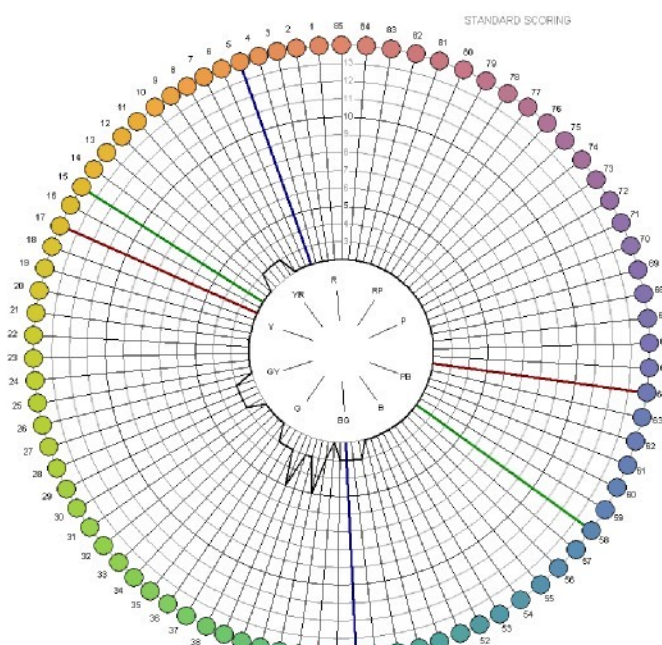
Vingrys analysis

Angle = 62.17

C Index = 1.17

S Index = 1.4

Suggested Diagnosis - Normal



## ANALYSIS

Subject - Božena Šamáňková

Reference - M011

Date of Birth - 05-27-1983

Date of test - 11-22-2007

Comments -

Total error score (TES) = 56

Square root (TES) = 7.48

Classification = Average discrimination

Percentile

'Unselected' = 40%

'In plant' = 10%

'Experienced' = < 10%

Vingrys analysis

Angle = 68.13

C Index = 1.31

S Index = 1.25

Suggested Diagnosis - Normal

## ANALYSIS

Subject - Petr Ambrož

Reference - M017

Date of Birth - 02-18-1984

Date of test - 01-31-2008

Comments -

Total error score (TES) = 16

Square root (TES) = 4.0

Classification = Superior discrimination

Percentile

'Unselected' = 80%

'In plant' = 70%

'Experienced' = 30%

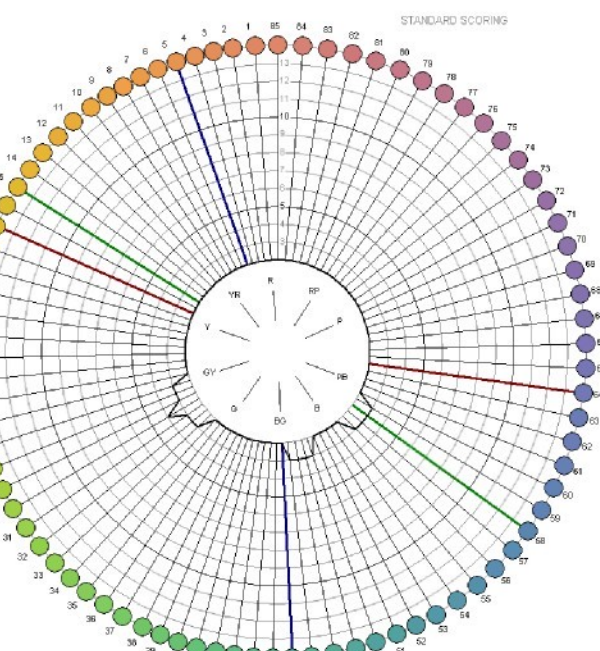
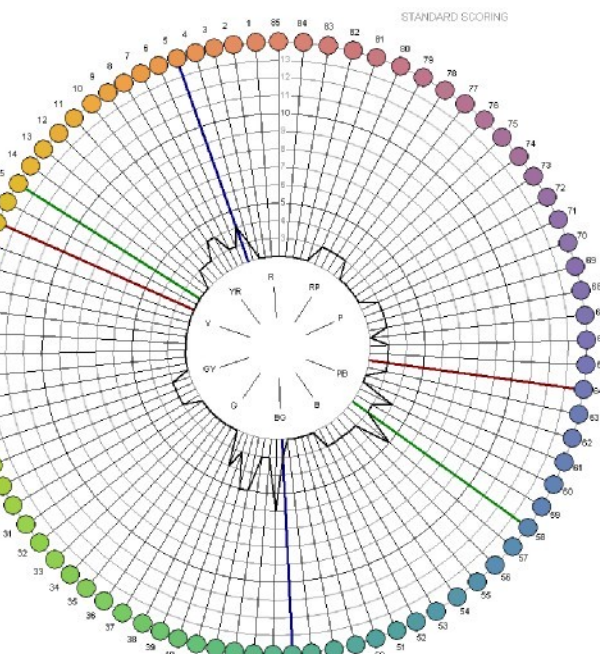
Vingrys analysis

Angle = 51.81

C Index = 1.11

S Index = 1.28

Suggested Diagnosis - Normal



## ANALYSIS

Subject - Lukáš Rufer  
Reference - M019  
Date of Birth - 01-31-1983  
Date of test - 01-31-2008  
Comments -

Total error score (TES) = 20  
Square root (TES) = 4.47  
Classification = Average discrimination

Percentile  
'Unselected' = 80%  
'In plant' = 60%  
'Experienced' = 20%

Vingrys analysis  
Angle = 64.81  
C Index = 1.14  
S Index = 1.39  
Suggested Diagnosis - Normal

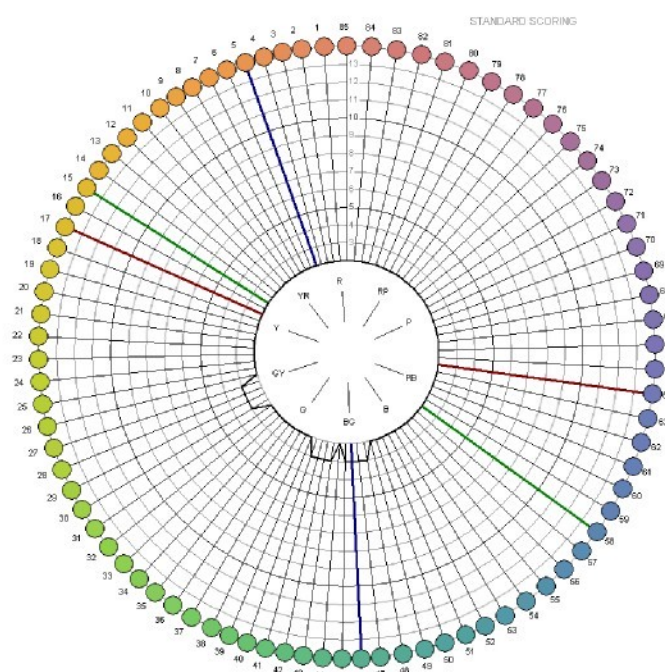
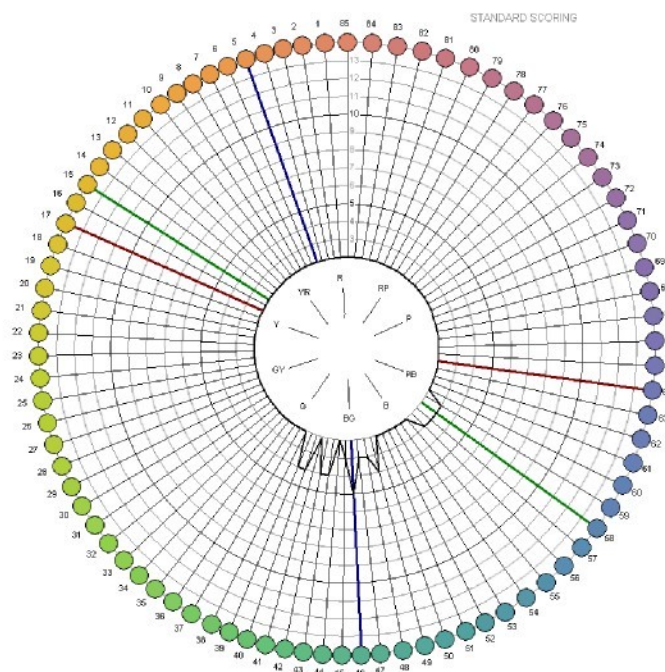
## ANALYSIS

Subject - Martin Nenutil  
Reference - M020  
Date of Birth - 02-14-1987  
Date of test - 01-31-2008  
Comments -

Total error score (TES) = 12  
Square root (TES) = 3.46  
Classification = Superior discrimination

Percentile  
'Unselected' = 90%  
'In plant' = 80%  
'Experienced' = 40%

Vingrys analysis  
Angle = 53.87  
C Index = 1.09  
S Index = 1.38  
Suggested Diagnosis - Normal



## ANALYSIS

Subject - Jiří Kula

Reference - M021

Date of Birth - 08-05-1983

Date of test - 01-31-2008

Comments -

Total error score (TES) = 40

Square root (TES) = 6.32

Classification = Average discrimination

Percentile

'Unselected' = 50%

'In plant' = 20%

'Experienced' = 10%

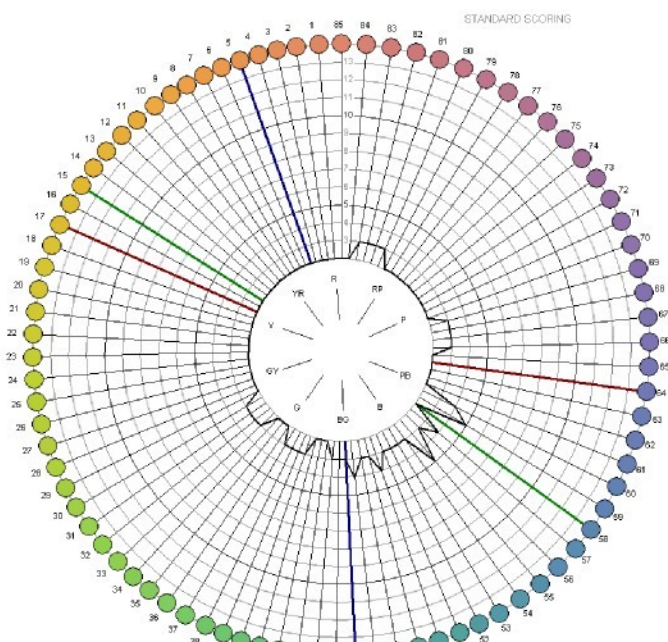
Vingrys analysis

Angle = 67.49

C Index = 1.19

S Index = 1.17

Suggested Diagnosis - Normal



Tab. Písmenné označení barevných sérií

| Serie 1 |    |   |  |  |  |  |
|---------|----|---|--|--|--|--|
| W       | Cw | C |  |  |  |  |
| W       | Vw | V |  |  |  |  |
| W       | Mw | M |  |  |  |  |
| W       | Ow | O |  |  |  |  |
| W       | Yw | Y |  |  |  |  |
| W       | Lw | L |  |  |  |  |

| Serie 5 |    |    |  |  |  |  |
|---------|----|----|--|--|--|--|
| W       | Wc | CW |  |  |  |  |
| W       | Wv | VW |  |  |  |  |
| W       | Wm | MW |  |  |  |  |
| W       | Wo | OW |  |  |  |  |
| W       | Wy | YW |  |  |  |  |
| W       | WI | LW |  |  |  |  |

| Serie 2 |    |   |  |  |  |  |
|---------|----|---|--|--|--|--|
| N       | Cn | C |  |  |  |  |
| N       | Vn | V |  |  |  |  |
| N       | Mn | M |  |  |  |  |
| N       | On | O |  |  |  |  |
| N       | Yn | Y |  |  |  |  |
| N       | Ln | L |  |  |  |  |
| N       | NW | W |  |  |  |  |

| Serie 6 |    |    |  |  |  |  |
|---------|----|----|--|--|--|--|
| C       | Cw | CW |  |  |  |  |
| V       | Vw | VW |  |  |  |  |
| M       | Mw | MW |  |  |  |  |
| O       | Ow | OW |  |  |  |  |
| Y       | Yw | YW |  |  |  |  |
| L       | Lw | LW |  |  |  |  |

| Serie 3 |   |   |  |  |  |  |
|---------|---|---|--|--|--|--|
| N       | C | W |  |  |  |  |
| N       | V | W |  |  |  |  |
| N       | M | W |  |  |  |  |
| N       | O | W |  |  |  |  |
| N       | Y | W |  |  |  |  |
| N       | L | W |  |  |  |  |

| Serie 7 |    |   |  |  |  |  |
|---------|----|---|--|--|--|--|
| CN      | Cn | C |  |  |  |  |
| VN      | Vn | V |  |  |  |  |
| MN      | Mn | M |  |  |  |  |
| ON      | On | O |  |  |  |  |
| YN      | Yn | Y |  |  |  |  |
| LN      | Ln | L |  |  |  |  |

| Serie 4 |   |   |  |  |  |  |
|---------|---|---|--|--|--|--|
| C       | V | M |  |  |  |  |
| Y       | O | M |  |  |  |  |
| Y       | L | C |  |  |  |  |
| L       | C | V |  |  |  |  |
| O       | Y | L |  |  |  |  |
| O       | M | V |  |  |  |  |

| Serie 8 |    |    |  |  |  |  |
|---------|----|----|--|--|--|--|
| N       | Nc | CN |  |  |  |  |
| N       | Nv | VN |  |  |  |  |
| N       | Nm | MN |  |  |  |  |
| N       | No | ON |  |  |  |  |
| N       | Ny | YN |  |  |  |  |
| N       | NI | LN |  |  |  |  |

Tab. Rob. průměry jednotlivých pozorovatelů a jejich celkový rob. průměr **Normální pozor.**

|         | M002 | M004 | M006 | M008 | M011 | M017 | M018 | M019 | M020 | M021 | R.Prům |
|---------|------|------|------|------|------|------|------|------|------|------|--------|
| Serie 1 |      |      |      |      |      |      |      |      |      |      |        |
| Cw      | 0,45 | 0,53 | 0,50 | 0,55 | 0,45 | 0,48 | 0,43 | 0,40 | 0,43 | 0,35 | 0,46   |
| Vw      | 0,47 | 0,57 | 0,48 | 0,57 | 0,45 | 0,58 | 0,47 | 0,38 | 0,47 | 0,53 | 0,50   |
| Mw      | 0,45 | 0,58 | 0,48 | 0,57 | 0,47 | 0,53 | 0,48 | 0,37 | 0,47 | 0,50 | 0,49   |
| Ow      | 0,45 | 0,58 | 0,50 | 0,50 | 0,45 | 0,55 | 0,45 | 0,38 | 0,40 | 0,53 | 0,48   |
| Yw      | 0,55 | 0,68 | 0,62 | 0,75 | 0,48 | 0,70 | 0,60 | 0,32 | 0,53 | 0,72 | 0,61   |
| Lw      | 0,47 | 0,60 | 0,50 | 0,55 | 0,47 | 0,58 | 0,48 | 0,42 | 0,50 | 0,45 | 0,49   |
| Serie 2 |      |      |      |      |      |      |      |      |      |      |        |
| Cn      | 0,53 | 0,58 | 0,43 | 0,43 | 0,45 | 0,42 | 0,53 | 0,43 | 0,63 | 0,42 | 0,47   |
| Vn      | 0,53 | 0,45 | 0,45 | 0,40 | 0,42 | 0,43 | 0,57 | 0,33 | 0,47 | 0,43 | 0,44   |
| Mn      | 0,48 | 0,50 | 0,43 | 0,45 | 0,48 | 0,42 | 0,57 | 0,57 | 0,63 | 0,58 | 0,51   |
| On      | 0,47 | 0,50 | 0,45 | 0,40 | 0,45 | 0,42 | 0,57 | 0,53 | 0,55 | 0,47 | 0,48   |
| Yn      | 0,58 | 0,62 | 0,40 | 0,47 | 0,50 | 0,50 | 0,57 | 0,68 | 0,62 | 0,52 | 0,55   |
| Ln      | 0,60 | 0,55 | 0,50 | 0,42 | 0,45 | 0,48 | 0,53 | 0,50 | 0,55 | 0,48 | 0,51   |
| NW      | 0,55 | 0,55 | 0,50 | 0,48 | 0,50 | 0,50 | 0,53 | 0,62 | 0,57 | 0,50 | 0,52   |
| Serie 3 |      |      |      |      |      |      |      |      |      |      |        |
| C       | 0,55 | 0,62 | 0,48 | 0,55 | 0,55 | 0,55 | 0,58 | 0,65 | 0,55 | 0,62 | 0,57   |
| V       | 0,35 | 0,30 | 0,42 | 0,32 | 0,40 | 0,37 | 0,40 | 0,33 | 0,35 | 0,42 | 0,37   |
| M       | 0,55 | 0,48 | 0,50 | 0,53 | 0,55 | 0,58 | 0,55 | 0,68 | 0,60 | 0,57 | 0,56   |
| O       | 0,55 | 0,45 | 0,45 | 0,48 | 0,52 | 0,52 | 0,52 | 0,37 | 0,45 | 0,38 | 0,48   |
| Y       | 0,65 | 0,75 | 0,57 | 0,57 | 0,60 | 0,72 | 0,63 | 0,72 | 0,63 | 0,70 | 0,66   |
| L       | 0,55 | 0,45 | 0,50 | 0,47 | 0,48 | 0,58 | 0,57 | 0,52 | 0,57 | 0,57 | 0,53   |
| Serie 4 |      |      |      |      |      |      |      |      |      |      |        |
| V       | 0,53 | 0,52 | 0,53 | 0,47 | 0,45 | 0,62 | 0,58 | 0,50 | 0,52 | 0,27 | 0,51   |
| O       | 0,60 | 0,73 | 0,60 | 0,73 | 0,55 | 0,67 | 0,67 | 0,47 | 0,60 | 0,52 | 0,61   |
| L       | 0,53 | 0,60 | 0,52 | 0,58 | 0,48 | 0,58 | 0,58 | 0,45 | 0,57 | 0,40 | 0,54   |
| C       | 0,48 | 0,45 | 0,45 | 0,47 | 0,48 | 0,43 | 0,40 | 0,42 | 0,42 | 0,57 | 0,45   |
| Y       | 0,52 | 0,55 | 0,50 | 0,50 | 0,50 | 0,57 | 0,55 | 0,58 | 0,53 | 0,57 | 0,54   |
| M       | 0,42 | 0,32 | 0,42 | 0,30 | 0,43 | 0,38 | 0,38 | 0,53 | 0,42 | 0,58 | 0,41   |
| Serie 5 |      |      |      |      |      |      |      |      |      |      |        |
| Wc      | 0,50 | 0,45 | 0,52 | 0,57 | 0,45 | 0,42 | 0,52 | 0,38 | 0,48 | 0,30 | 0,47   |
| Wv      | 0,45 | 0,55 | 0,52 | 0,52 | 0,45 | 0,52 | 0,48 | 0,35 | 0,50 | 0,52 | 0,50   |
| Wm      | 0,47 | 0,52 | 0,48 | 0,52 | 0,45 | 0,48 | 0,48 | 0,38 | 0,50 | 0,55 | 0,49   |
| Wo      | 0,47 | 0,58 | 0,48 | 0,52 | 0,43 | 0,57 | 0,48 | 0,38 | 0,43 | 0,55 | 0,49   |
| Wy      | 0,52 | 0,63 | 0,60 | 0,62 | 0,42 | 0,55 | 0,43 | 0,38 | 0,52 | 0,57 | 0,53   |
| WI      | 0,53 | 0,55 | 0,50 | 0,58 | 0,45 | 0,55 | 0,47 | 0,47 | 0,42 | 0,58 | 0,51   |
| Serie 6 |      |      |      |      |      |      |      |      |      |      |        |
| Cw      | 0,55 | 0,55 | 0,47 | 0,45 | 0,52 | 0,42 | 0,53 | 0,50 | 0,53 | 0,52 | 0,51   |
| Vw      | 0,53 | 0,58 | 0,53 | 0,48 | 0,55 | 0,42 | 0,52 | 0,62 | 0,55 | 0,45 | 0,53   |
| Mw      | 0,50 | 0,58 | 0,53 | 0,42 | 0,48 | 0,43 | 0,52 | 0,63 | 0,48 | 0,40 | 0,49   |
| Ow      | 0,53 | 0,58 | 0,53 | 0,43 | 0,48 | 0,52 | 0,55 | 0,50 | 0,60 | 0,52 | 0,53   |
| Yw      | 0,40 | 0,45 | 0,50 | 0,50 | 0,53 | 0,60 | 0,60 | 0,53 | 0,53 | 0,48 | 0,51   |
| Lw      | 0,53 | 0,55 | 0,50 | 0,45 | 0,55 | 0,42 | 0,52 | 0,55 | 0,50 | 0,55 | 0,53   |
| Serie 7 |      |      |      |      |      |      |      |      |      |      |        |
| Cn      | 0,52 | 0,55 | 0,45 | 0,43 | 0,45 | 0,40 | 0,43 | 0,50 | 0,53 | 0,32 | 0,46   |
| Vn      | 0,50 | 0,48 | 0,50 | 0,45 | 0,43 | 0,43 | 0,57 | 0,28 | 0,48 | 0,85 | 0,48   |
| Mn      | 0,42 | 0,45 | 0,43 | 0,37 | 0,45 | 0,45 | 0,42 | 0,50 | 0,52 | 0,70 | 0,45   |
| On      | 0,45 | 0,43 | 0,43 | 0,35 | 0,45 | 0,40 | 0,43 | 0,52 | 0,43 | 0,58 | 0,44   |
| Yn      | 0,48 | 0,57 | 0,45 | 0,43 | 0,52 | 0,53 | 0,45 | 0,58 | 0,57 | 0,42 | 0,50   |
| Ln      | 0,52 | 0,48 | 0,48 | 0,43 | 0,45 | 0,45 | 0,45 | 0,52 | 0,53 | 0,57 | 0,48   |
| Serie 8 |      |      |      |      |      |      |      |      |      |      |        |
| Nc      | 0,57 | 0,57 | 0,53 | 0,40 | 0,45 | 0,38 | 0,57 | 0,55 | 0,50 | 0,48 | 0,51   |
| Nv      | 0,50 | 0,48 | 0,48 | 0,45 | 0,42 | 0,43 | 0,53 | 0,30 | 0,48 | 0,35 | 0,46   |
| Nm      | 0,57 | 0,60 | 0,50 | 0,48 | 0,52 | 0,43 | 0,53 | 0,57 | 0,53 | 0,48 | 0,52   |
| No      | 0,58 | 0,57 | 0,47 | 0,45 | 0,55 | 0,45 | 0,57 | 0,53 | 0,52 | 0,63 | 0,53   |
| Ny      | 0,60 | 0,63 | 0,50 | 0,48 | 0,53 | 0,53 | 0,62 | 0,67 | 0,45 | 0,60 | 0,56   |
| Nl      | 0,60 | 0,57 | 0,47 | 0,48 | 0,50 | 0,47 | 0,58 | 0,55 | 0,45 | 0,55 | 0,52   |

Tab. Rob. průměry jednotlivých pozorovatelů a jejich celkový rob. Průměr **Obrácené pozor.**

|         | M002 | M004 | M006 | M008 | M011 | M017 | M018 | M019 | M020 | M021 | R.Prům |
|---------|------|------|------|------|------|------|------|------|------|------|--------|
| Serie 1 |      |      |      |      |      |      |      |      |      |      |        |
| Cw      | 0,52 | 0,52 | 0,50 | 0,45 | 0,55 | 0,57 | 0,52 | 0,53 | 0,60 | 0,60 | 0,53   |
| Vw      | 0,55 | 0,48 | 0,50 | 0,45 | 0,55 | 0,43 | 0,50 | 0,62 | 0,58 | 0,40 | 0,51   |
| Mw      | 0,53 | 0,42 | 0,50 | 0,43 | 0,52 | 0,58 | 0,50 | 0,58 | 0,58 | 0,47 | 0,52   |
| Ow      | 0,58 | 0,42 | 0,50 | 0,45 | 0,55 | 0,42 | 0,50 | 0,65 | 0,60 | 0,38 | 0,50   |
| Yw      | 0,48 | 0,30 | 0,47 | 0,27 | 0,45 | 0,33 | 0,40 | 0,62 | 0,45 | 0,32 | 0,40   |
| Lw      | 0,53 | 0,42 | 0,50 | 0,47 | 0,52 | 0,45 | 0,50 | 0,65 | 0,53 | 0,53 | 0,51   |
| Serie 2 |      |      |      |      |      |      |      |      |      |      |        |
| Cn      | 0,40 | 0,52 | 0,55 | 0,60 | 0,55 | 0,60 | 0,47 | 0,42 | 0,50 | 0,48 | 0,51   |
| Vn      | 0,45 | 0,55 | 0,57 | 0,68 | 0,55 | 0,60 | 0,47 | 0,68 | 0,60 | 0,33 | 0,56   |
| Mn      | 0,42 | 0,58 | 0,55 | 0,57 | 0,52 | 0,60 | 0,43 | 0,42 | 0,58 | 0,37 | 0,51   |
| On      | 0,50 | 0,52 | 0,55 | 0,57 | 0,47 | 0,57 | 0,50 | 0,47 | 0,57 | 0,43 | 0,52   |
| Yn      | 0,53 | 0,45 | 0,55 | 0,58 | 0,52 | 0,47 | 0,45 | 0,33 | 0,43 | 0,45 | 0,48   |
| Ln      | 0,43 | 0,43 | 0,55 | 0,57 | 0,50 | 0,57 | 0,40 | 0,50 | 0,48 | 0,42 | 0,48   |
| NW      | 0,43 | 0,45 | 0,50 | 0,53 | 0,50 | 0,50 | 0,45 | 0,40 | 0,50 | 0,40 | 0,47   |
| Serie 3 |      |      |      |      |      |      |      |      |      |      |        |
| C       | 0,40 | 0,47 | 0,50 | 0,50 | 0,47 | 0,40 | 0,42 | 0,37 | 0,45 | 0,37 | 0,43   |
| V       | 0,60 | 0,73 | 0,57 | 0,67 | 0,55 | 0,67 | 0,58 | 0,55 | 0,73 | 0,67 | 0,63   |
| M       | 0,43 | 0,63 | 0,50 | 0,50 | 0,47 | 0,52 | 0,52 | 0,35 | 0,52 | 0,45 | 0,49   |
| O       | 0,47 | 0,65 | 0,50 | 0,52 | 0,47 | 0,57 | 0,48 | 0,63 | 0,58 | 0,60 | 0,54   |
| Y       | 0,37 | 0,30 | 0,43 | 0,25 | 0,40 | 0,38 | 0,37 | 0,30 | 0,40 | 0,28 | 0,35   |
| L       | 0,48 | 0,48 | 0,50 | 0,52 | 0,48 | 0,55 | 0,43 | 0,43 | 0,55 | 0,42 | 0,48   |
| Serie 4 |      |      |      |      |      |      |      |      |      |      |        |
| V       | 0,48 | 0,45 | 0,45 | 0,50 | 0,47 | 0,45 | 0,45 | 0,43 | 0,47 | 0,63 | 0,46   |
| O       | 0,42 | 0,30 | 0,40 | 0,27 | 0,45 | 0,37 | 0,38 | 0,45 | 0,40 | 0,45 | 0,40   |
| L       | 0,45 | 0,38 | 0,47 | 0,37 | 0,48 | 0,45 | 0,43 | 0,60 | 0,47 | 0,52 | 0,46   |
| C       | 0,47 | 0,60 | 0,52 | 0,53 | 0,52 | 0,57 | 0,58 | 0,60 | 0,57 | 0,35 | 0,55   |
| Y       | 0,48 | 0,45 | 0,50 | 0,50 | 0,50 | 0,45 | 0,45 | 0,40 | 0,53 | 0,45 | 0,47   |
| M       | 0,55 | 0,72 | 0,60 | 0,75 | 0,55 | 0,67 | 0,60 | 0,50 | 0,60 | 0,42 | 0,59   |
| Serie 5 |      |      |      |      |      |      |      |      |      |      |        |
| Wc      | 0,53 | 0,48 | 0,50 | 0,42 | 0,55 | 0,60 | 0,48 | 0,62 | 0,50 | 0,70 | 0,53   |
| Wv      | 0,52 | 0,45 | 0,52 | 0,45 | 0,55 | 0,57 | 0,50 | 0,60 | 0,52 | 0,50 | 0,52   |
| Wm      | 0,48 | 0,43 | 0,52 | 0,43 | 0,55 | 0,52 | 0,47 | 0,63 | 0,57 | 0,42 | 0,49   |
| Wo      | 0,53 | 0,43 | 0,47 | 0,43 | 0,53 | 0,45 | 0,48 | 0,67 | 0,53 | 0,42 | 0,48   |
| Wy      | 0,47 | 0,37 | 0,47 | 0,23 | 0,55 | 0,50 | 0,47 | 0,70 | 0,50 | 0,50 | 0,48   |
| WI      | 0,55 | 0,43 | 0,50 | 0,45 | 0,55 | 0,42 | 0,47 | 0,62 | 0,52 | 0,42 | 0,49   |
| Serie 6 |      |      |      |      |      |      |      |      |      |      |        |
| Cw      | 0,48 | 0,48 | 0,48 | 0,55 | 0,52 | 0,55 | 0,42 | 0,47 | 0,55 | 0,42 | 0,50   |
| Vw      | 0,40 | 0,52 | 0,52 | 0,52 | 0,52 | 0,60 | 0,48 | 0,50 | 0,52 | 0,45 | 0,51   |
| Mw      | 0,43 | 0,55 | 0,50 | 0,53 | 0,48 | 0,57 | 0,48 | 0,48 | 0,52 | 0,45 | 0,50   |
| Ow      | 0,40 | 0,55 | 0,50 | 0,53 | 0,45 | 0,47 | 0,47 | 0,47 | 0,42 | 0,47 | 0,47   |
| Yw      | 0,55 | 0,55 | 0,50 | 0,52 | 0,50 | 0,40 | 0,43 | 0,43 | 0,53 | 0,70 | 0,51   |
| Lw      | 0,48 | 0,55 | 0,50 | 0,58 | 0,45 | 0,57 | 0,47 | 0,48 | 0,50 | 0,45 | 0,50   |
| Serie 7 |      |      |      |      |      |      |      |      |      |      |        |
| Cn      | 0,47 | 0,57 | 0,55 | 0,55 | 0,55 | 0,60 | 0,55 | 0,47 | 0,42 | 0,63 | 0,54   |
| Vn      | 0,48 | 0,55 | 0,50 | 0,58 | 0,55 | 0,58 | 0,58 | 0,70 | 0,50 | 0,20 | 0,54   |
| Mn      | 0,52 | 0,60 | 0,55 | 0,55 | 0,55 | 0,52 | 0,55 | 0,52 | 0,57 | 0,32 | 0,54   |
| On      | 0,55 | 0,58 | 0,57 | 0,58 | 0,55 | 0,60 | 0,58 | 0,67 | 0,47 | 0,28 | 0,57   |
| Yn      | 0,48 | 0,45 | 0,55 | 0,53 | 0,45 | 0,60 | 0,52 | 0,40 | 0,40 | 0,60 | 0,50   |
| Ln      | 0,42 | 0,55 | 0,50 | 0,52 | 0,53 | 0,58 | 0,55 | 0,45 | 0,47 | 0,43 | 0,50   |
| Serie 8 |      |      |      |      |      |      |      |      |      |      |        |
| Nc      | 0,42 | 0,48 | 0,55 | 0,63 | 0,48 | 0,62 | 0,43 | 0,43 | 0,47 | 0,38 | 0,48   |
| Nv      | 0,48 | 0,53 | 0,52 | 0,67 | 0,55 | 0,67 | 0,55 | 0,67 | 0,53 | 0,52 | 0,56   |
| Nm      | 0,43 | 0,47 | 0,48 | 0,57 | 0,45 | 0,58 | 0,42 | 0,47 | 0,45 | 0,28 | 0,46   |
| No      | 0,45 | 0,52 | 0,50 | 0,53 | 0,45 | 0,58 | 0,42 | 0,53 | 0,53 | 0,32 | 0,50   |
| Ny      | 0,38 | 0,42 | 0,55 | 0,55 | 0,45 | 0,52 | 0,37 | 0,42 | 0,50 | 0,40 | 0,45   |
| NI      | 0,40 | 0,42 | 0,50 | 0,58 | 0,52 | 0,53 | 0,42 | 0,50 | 0,57 | 0,40 | 0,48   |

Tab. Souřadnice vzorků L\* a\* b\* Datacolor Spektrokolorimetr 1005

|         | reference |        |        | sample |        |        | reference |        |        |
|---------|-----------|--------|--------|--------|--------|--------|-----------|--------|--------|
|         | L*        | a*     | b*     | L*     | a*     | b*     | L*        | a*     | b*     |
| Serie 1 |           |        |        |        |        |        |           |        |        |
| Cw      | 92,29     | -0,84  | 9,2    | 74,94  | -19,78 | -18,68 | 55,63     | -41,84 | -43,81 |
| Vw      | 92,39     | -1,08  | 9,95   | 59,49  | 12,59  | -19,58 | 23,89     | 25,28  | -45,25 |
| Mw      | 91,47     | -1,43  | 9,64   | 59,83  | 36,92  | 0,6    | 47,9      | 72,55  | -2,96  |
| Ow      | 92,35     | -1,14  | 9,76   | 72,1   | 33,74  | 27,64  | 48,99     | 67,61  | 53,42  |
| Yw      | 92,6      | -1,21  | 10,09  | 88,11  | -1,14  | 51,74  | 89,1      | -4,6   | 93,21  |
| Lw      | 92,55     | -1,24  | 9,91   | 71,7   | -31,07 | 19,42  | 51,75     | -65,72 | 34,57  |
| Serie 2 |           |        |        |        |        |        |           |        |        |
| Cn      | 18,89     | 2,3    | -3,32  | 37,16  | -19,9  | -26,41 | 56,59     | -42,55 | -44,23 |
| Vn      | 18,96     | 2,06   | -1,45  | 20,96  | 14,34  | -24,11 | 24,46     | 25,26  | -45,28 |
| Mn      | 17,68     | 1,79   | -0,84  | 32,5   | 38,75  | -1,56  | 47,92     | 73,36  | -1,75  |
| On      | 17,82     | 1,63   | -1,06  | 32,6   | 35,9   | 27,71  | 48,25     | 67,59  | 55,34  |
| Yn      | 17,95     | 2,01   | -1,06  | 53,26  | -2,26  | 46,45  | 88,4      | -5,42  | 92,83  |
| Ln      | 18,43     | 2,12   | -1,03  | 33,64  | -32,7  | 16,34  | 51,55     | -65,16 | 34,5   |
| NW      | 18,14     | 1,97   | -1,36  | 56,01  | -0,27  | 3,09   | 91,47     | -2,01  | 10,82  |
| Serie 3 |           |        |        |        |        |        |           |        |        |
| C       | 18,64     | 3,58   | -2,77  | 56,73  | -42,69 | -42,56 | 91,94     | -1,26  | 9,55   |
| V       | 18,68     | 2,49   | -0,47  | 24,07  | 25,67  | -44,33 | 92,05     | -1,81  | 10,71  |
| M       | 18,55     | 2,97   | -0,28  | 48,54  | 72,85  | -2,9   | 92,23     | -1,61  | 10,31  |
| O       | 18,46     | 2,6    | -0,72  | 48,6   | 66,88  | 52,65  | 92,11     | -1,92  | 10,93  |
| Y       | 18,09     | 2,65   | -0,65  | 88,55  | -5,3   | 93,1   | 92,13     | -1,9   | 10,9   |
| L       | 18,26     | 2,59   | -0,46  | 51,99  | -64,99 | 35,83  | 92,15     | -1,82  | 10,74  |
| Serie 4 |           |        |        |        |        |        |           |        |        |
| V       | 56,29     | -43,59 | -40,99 | 24,76  | 25,33  | -43,69 | 48,87     | 73,05  | -2,74  |
| O       | 87,18     | -3,99  | 86,59  | 48,73  | 67,13  | 51,06  | 49,12     | 73,49  | -3,85  |
| L       | 87,61     | -5,29  | 91,51  | 51,88  | -64,88 | 35,69  | 57,13     | -43,47 | -42,66 |
| C       | 51,69     | -64,47 | 36,01  | 56,75  | -43,58 | -41,83 | 24,58     | 26,22  | -44,68 |
| Y       | 48,2      | 66,92  | 53,92  | 88,61  | -5,29  | 92,62  | 52,74     | -64,33 | 36,01  |
| M       | 48,21     | 66,56  | 53,21  | 48,35  | 72,55  | -2,74  | 24,94     | 25,78  | -44,16 |
| Serie 5 |           |        |        |        |        |        |           |        |        |
| Wc      | 90,8      | -1,94  | 9,63   | 83,16  | -10,44 | -4,82  | 73,76     | -20,16 | -18,66 |
| Wv      | 91,05     | -2,33  | 10,8   | 75,53  | 5,5    | -4,33  | 58,51     | 12,73  | -18,94 |
| Wm      | 91,14     | -2,3   | 10,6   | 81,24  | 17,72  | 6,58   | 69,9      | 37,88  | 2,27   |
| Wo      | 90,88     | 2,41   | 10,87  | 80,61  | 16,4   | 20,43  | 70,22     | 34,83  | 30,82  |
| Wy      | 91,23     | -2,27  | 10,8   | 90,89  | -4,3   | 30,82  | 90,73     | -5,77  | 52,91  |
| WI      | 91,22     | -2,28  | 10,64  | 82,02  | -16,64 | 15,9   | 70,7      | -31,3  | 20,68  |
| Serie 6 |           |        |        |        |        |        |           |        |        |
| Cw      | 55,59     | -43,21 | -42,41 | 65,8   | -30,47 | -30,26 | 74,96     | -19,98 | -18,84 |
| Vw      | 23,69     | 24,7   | -43,77 | 42,13  | 19,26  | -31,4  | 59,55     | 12,39  | -18,99 |
| Mw      | 48,53     | 71,27  | -2,48  | 59,34  | 55,66  | -0,67  | 70,83     | 37,58  | 1,75   |
| Ow      | 47,58     | 66,56  | 54,03  | 59,18  | 52,56  | 41,78  | 70,58     | 34,37  | 30,14  |
| Yw      | 87,75     | -5,55  | 92,32  | 89,6   | -6,88  | 71,19  | 88,14     | -1,46  | 52,31  |
| Lw      | 51,51     | -63,87 | 35,68  | 62,2   | -46,3  | 26,88  | 71,83     | -30,94 | 19,92  |
| Serie 7 |           |        |        |        |        |        |           |        |        |
| Cn      | 36,15     | -19,82 | -25,53 | 46,73  | -31,04 | -34,63 | 56,46     | -43    | -44,06 |
| Vn      | 20,15     | 14,21  | -22,77 | 21,62  | 20,9   | -34,63 | 23,77     | 26,55  | -45,33 |
| Mn      | 32,77     | 39,07  | -1,5   | 40,41  | 55,85  | -2,83  | 48,75     | 73,79  | -2,42  |
| On      | 32,44     | 36,15  | 27,27  | 40,18  | 52,03  | 40,5   | 48,85     | 67,69  | 54,43  |
| Yn      | 52,91     | -1,74  | 47,53  | 71,75  | -4,76  | 69,69  | 89,09     | -4,83  | 93,68  |
| Ln      | 33,41     | -32,97 | 16,8   | 43,07  | -49,82 | 26,8   | 52,3      | -65,38 | 35,55  |
| Serie 8 |           |        |        |        |        |        |           |        |        |
| Nc      | 18,9      | 1,9    | -3,34  | 27,12  | -7,06  | -15,89 | 36,47     | -17,23 | -26,24 |
| Nv      | 18,54     | 1,56   | -1,51  | 20,54  | 8,09   | -11,69 | 22,38     | 13,55  | -23,02 |
| Nm      | 19,35     | 1,53   | -1,03  | 26,2   | 20,49  | -2     | 33,75     | 36,79  | -2,7   |
| No      | 18,21     | 1,53   | -1,12  | 25,85  | 20     | 12,92  | 33,25     | 34,67  | 25,99  |
| Ny      | 18,47     | 1,47   | -1,37  | 36     | 1,05   | 21,7   | 52,78     | -1,3   | 44,94  |
| NI      | 19,44     | 1,4    | -0,87  | 25,77  | -13,79 | 5,73   | 33,81     | -30,1  | 14,33  |

Tab. Hodnoty barevných rozdílů CIELAB

|         | dE*1     | dE*2     | dE*3     | dE* ratio | dE* ratio rev | NEW dE ratio | NEW dE ratio rev |
|---------|----------|----------|----------|-----------|---------------|--------------|------------------|
| Serie 1 |          |          |          |           |               |              |                  |
| Cw      | 37,90832 | 38,61394 | 76,38727 | 0,496265  | 0,503735      | 0,580337     | 0,419663         |
| Vw      | 46,27418 | 45,68747 | 91,83757 | 0,50387   | 0,49613       | 0,514982     | 0,485018         |
| Mw      | 50,5325  | 37,74249 | 86,77641 | 0,58233   | 0,41767       | 0,706549     | 0,293451         |
| Ow      | 44,1177  | 48,43405 | 92,26509 | 0,478162  | 0,521838      | 0,544292     | 0,455708         |
| Yw      | 41,89138 | 41,62586 | 83,2627  | 0,503123  | 0,496877      | 0,642746     | 0,357254         |
| Lw      | 37,61637 | 42,75684 | 80,18994 | 0,469091  | 0,530909      | 0,541305     | 0,458695         |
| Serie 2 |          |          |          |           |               |              |                  |
| Cn      | 36,87521 | 34,75773 | 71,45936 | 0,51603   | 0,48397       | 0,513021     | 0,486979         |
| Vn      | 25,851   | 24,07624 | 49,89548 | 0,518103  | 0,481897      | 0,653026     | 0,346974         |
| Mn      | 39,82703 | 37,89016 | 77,70168 | 0,512563  | 0,487437      | 0,592342     | 0,407658         |
| On      | 47,12318 | 44,86196 | 91,96557 | 0,5124    | 0,4876        | 0,595575     | 0,404425         |
| Yn      | 59,34837 | 58,27443 | 117,6169 | 0,50459   | 0,49541       | 0,570954     | 0,429046         |
| Ln      | 41,7791  | 41,28202 | 82,98141 | 0,503475  | 0,496525      | 0,606937     | 0,393063         |
| NW      | 38,1963  | 36,33445 | 74,44113 | 0,513107  | 0,486893      | 0,546016     | 0,453984         |
| Serie 3 |          |          |          |           |               |              |                  |
| C       | 71,93751 | 75,3103  | 74,48556 | 0,965791  | 0,034209      | 0,457076     | 0,542924         |
| V       | 49,90054 | 91,68333 | 74,34137 | 0,671235  | 0,328765      | 0,246261     | 0,753739         |
| M       | 76,08863 | 87,3362  | 74,57793 | 1,020257  | -0,02026      | 0,414167     | 0,585833         |
| O       | 88,81833 | 91,47195 | 74,70258 | 1,188959  | -0,18896      | 0,447838     | 0,552162         |
| Y       | 117,5452 | 82,34814 | 75,07347 | 1,565736  | -0,56574      | 0,754396     | 0,245604         |
| L       | 83,79578 | 78,94797 | 74,86401 | 1,119307  | -0,11931      | 0,521948     | 0,478052         |
| Serie 4 |          |          |          |           |               |              |                  |
| V       | 75,83797 | 67,34533 | 122,9756 | 0,616691  | 0,383309      | 0,567544     | 0,432456         |
| O       | 88,31103 | 55,27848 | 125,0244 | 0,70635   | 0,29365       | 0,686006     | 0,313994         |
| L       | 89,12617 | 81,39209 | 142,7877 | 0,624187  | 0,375813      | 0,510733     | 0,489267         |
| C       | 80,75309 | 76,9095  | 124,3805 | 0,649242  | 0,350758      | 0,472169     | 0,527831         |
| Y       | 91,35066 | 89,31445 | 132,5441 | 0,689209  | 0,310791      | 0,562389     | 0,437611         |
| M       | 56,2699  | 66,7164  | 108,0991 | 0,52054   | 0,47946       | 0,428149     | 0,571851         |
| Serie 5 |          |          |          |           |               |              |                  |
| Wc      | 18,42341 | 19,34901 | 37,71809 | 0,48845   | 0,51155       | 0,571634     | 0,428366         |
| Wv      | 23,04552 | 23,56704 | 46,58458 | 0,494703  | 0,505297      | 0,540077     | 0,459923         |
| Wm      | 22,69297 | 23,52865 | 46,20562 | 0,49113   | 0,50887       | 0,641336     | 0,358664         |
| Wo      | 19,8138  | 23,57051 | 43,3116  | 0,457471  | 0,542529      | 0,5498       | 0,4502           |
| Wy      | 20,12553 | 22,13944 | 42,25816 | 0,476252  | 0,523748      | 0,574629     | 0,425371         |
| WI      | 17,84705 | 19,12868 | 36,93281 | 0,48323   | 0,51677       | 0,560333     | 0,439667         |
| Serie 6 |          |          |          |           |               |              |                  |
| Cw      | 20,35127 | 18,01006 | 38,34547 | 0,530735  | 0,469265      | 0,527322     | 0,472678         |
| Vw      | 22,86141 | 22,46467 | 45,29375 | 0,504737  | 0,495263      | 0,455644     | 0,544356         |
| Mw      | 19,07365 | 21,55836 | 40,62264 | 0,469533  | 0,530467      | 0,500037     | 0,499963         |
| Ow      | 21,9231  | 24,41978 | 46,2161  | 0,474361  | 0,525639      | 0,515379     | 0,484621         |
| Yw      | 21,25249 | 19,69676 | 40,2204  | 0,528401  | 0,471599      | 0,458977     | 0,541023         |
| Lw      | 22,37009 | 19,41927 | 41,78115 | 0,535411  | 0,464589      | 0,537209     | 0,462791         |
| Serie 7 |          |          |          |           |               |              |                  |
| Cn      | 17,90628 | 18,07317 | 35,96066 | 0,497941  | 0,502059      | 0,505177     | 0,494823         |
| Vn      | 13,69586 | 12,28963 | 25,96793 | 0,527414  | 0,472586      | 0,570949     | 0,429051         |
| Mn      | 18,48532 | 19,78806 | 38,23199 | 0,483504  | 0,516496      | 0,479219     | 0,520781         |
| On      | 22,07068 | 22,68148 | 44,74064 | 0,493303  | 0,506697      | 0,481752     | 0,518248         |
| Yn      | 29,24263 | 29,60069 | 58,72276 | 0,497978  | 0,502022      | 0,569438     | 0,430562         |
| Ln      | 21,84578 | 20,09649 | 41,93808 | 0,520906  | 0,479094      | 0,506841     | 0,493159         |
| Serie 8 |          |          |          |           |               |              |                  |
| Nc      | 17,47434 | 17,26192 | 34,62762 | 0,504636  | 0,495364      | 0,582706     | 0,417294         |
| Nv      | 12,2586  | 12,71087 | 24,9236  | 0,491847  | 0,508153      | 0,59456      | 0,40544          |
| Nm      | 20,18279 | 17,97728 | 38,1237  | 0,529403  | 0,470597      | 0,642538     | 0,357462         |
| No      | 24,42605 | 20,99509 | 45,38076 | 0,538247  | 0,461753      | 0,651184     | 0,348816         |
| Ny      | 28,97762 | 28,76088 | 57,70152 | 0,502199  | 0,497801      | 0,535591     | 0,464409         |
| NI      | 17,73034 | 20,11511 | 37,81252 | 0,468901  | 0,531099      | 0,603869     | 0,396131         |

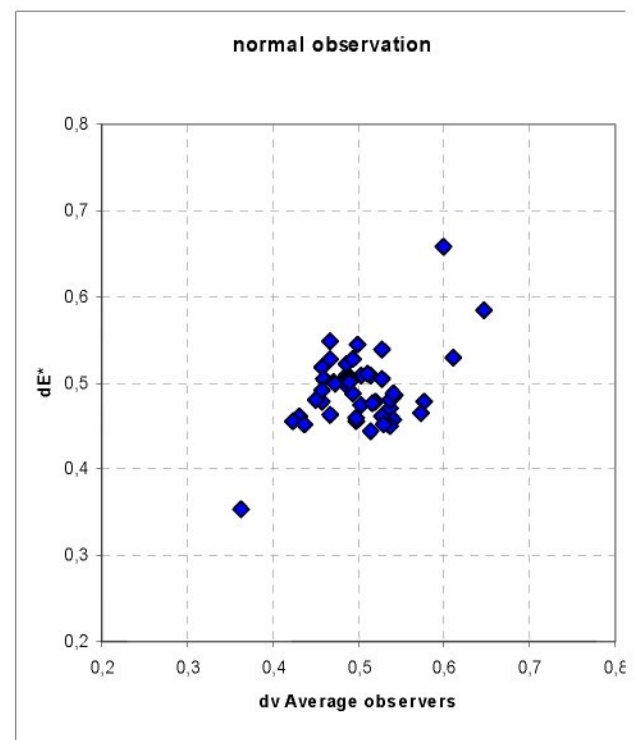
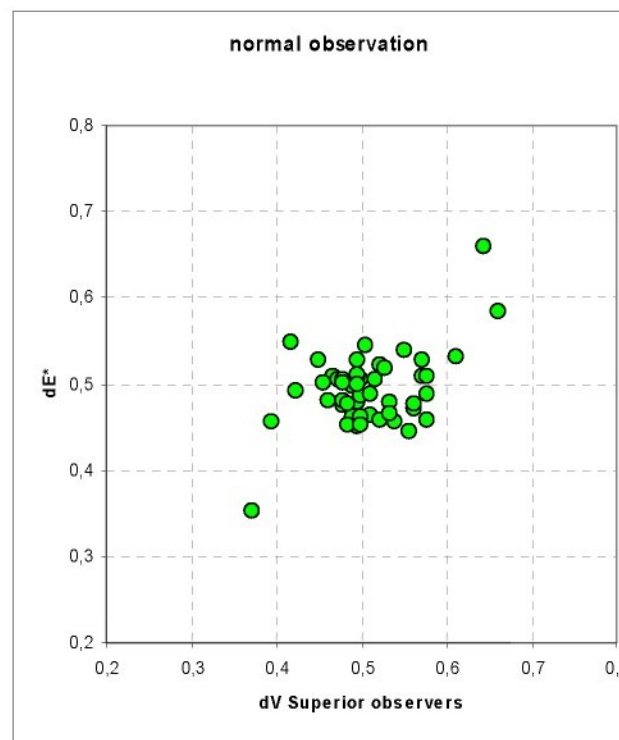
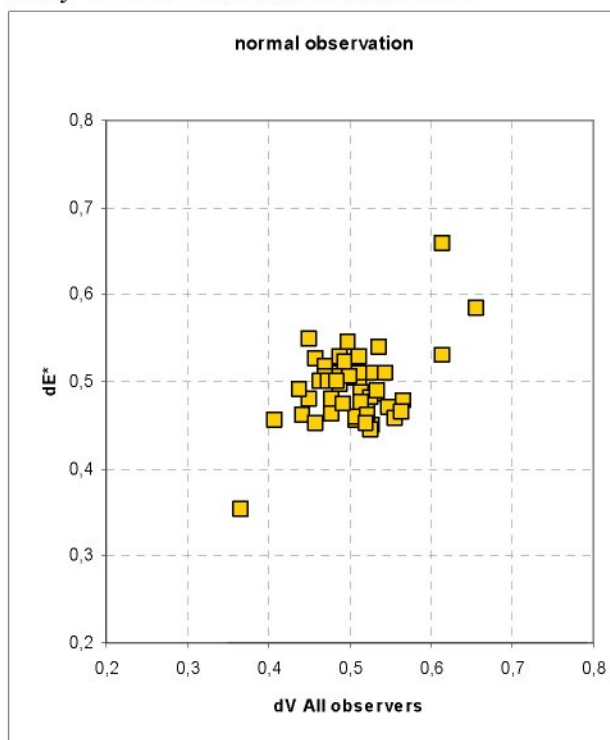
Tab. Hodnoty barevných rozdílů **CIE2000**

|         | dE2000 1 | dE2000 2 | NEW<br>dE ratio | NEW<br>dE ratio rev |
|---------|----------|----------|-----------------|---------------------|
| Serie 1 |          |          |                 |                     |
| Cw      | 26,85538 | 19,42011 | 0,580337        | 0,419663            |
| Vw      | 35,736   | 33,65677 | 0,514982        | 0,485018            |
| Mw      | 37,32062 | 15,50037 | 0,706549        | 0,293451            |
| Ow      | 27,37128 | 22,91657 | 0,544292        | 0,455708            |
| Yw      | 17,69143 | 9,83335  | 0,642746        | 0,357254            |
| Lw      | 23,9758  | 20,31683 | 0,541305        | 0,458695            |
| Serie 2 |          |          |                 |                     |
| Cn      | 22,2266  | 21,09833 | 0,513021        | 0,486979            |
| Vn      | 16,20659 | 8,611087 | 0,653026        | 0,346974            |
| Mn      | 24,38655 | 16,78315 | 0,592342        | 0,407658            |
| On      | 25,6738  | 17,4338  | 0,595575        | 0,404425            |
| Yn      | 38,81671 | 29,16894 | 0,570954        | 0,429046            |
| Ln      | 30,17494 | 19,54181 | 0,606937        | 0,393063            |
| NW      | 32,4558  | 26,98528 | 0,546016        | 0,453984            |
| Serie 3 |          |          |                 |                     |
| C       | 35,1502  | 41,7521  | 0,457076        | 0,542924            |
| V       | 23,36262 | 71,50665 | 0,246261        | 0,753739            |
| M       | 35,49882 | 50,21265 | 0,414167        | 0,585833            |
| O       | 37,72176 | 46,50906 | 0,447838        | 0,552162            |
| Y       | 76,10037 | 24,77558 | 0,754396        | 0,245604            |
| L       | 43,55238 | 39,88963 | 0,521948        | 0,478052            |
| Serie 4 |          |          |                 |                     |
| V       | 45,21172 | 34,45037 | 0,567544        | 0,432456            |
| O       | 54,302   | 24,85471 | 0,686006        | 0,313994            |
| L       | 43,32877 | 41,50763 | 0,510733        | 0,489267            |
| C       | 41,24404 | 46,10611 | 0,472169        | 0,527831            |
| Y       | 55,4684  | 43,16148 | 0,562389        | 0,437611            |
| M       | 25,45481 | 33,99841 | 0,428149        | 0,571851            |
| Serie 5 |          |          |                 |                     |
| Wc      | 15,62    | 11,70519 | 0,571634        | 0,428366            |
| Wv      | 20,05074 | 17,07498 | 0,540077        | 0,459923            |
| Wm      | 23,38703 | 13,0791  | 0,641336        | 0,358664            |
| Wo      | 14,26476 | 11,68062 | 0,5498          | 0,4502              |
| Wy      | 10,37055 | 7,676834 | 0,574629        | 0,425371            |
| WI      | 13,78792 | 10,81874 | 0,560333        | 0,439667            |
| Serie 6 |          |          |                 |                     |
| Cw      | 10,34756 | 9,275294 | 0,527322        | 0,472678            |
| Vw      | 15,37707 | 18,37094 | 0,455644        | 0,544356            |
| Mw      | 11,18531 | 11,18365 | 0,500037        | 0,499963            |
| Ow      | 12,01682 | 11,29963 | 0,515379        | 0,484621            |
| Yw      | 4,902169 | 5,778472 | 0,458977        | 0,541023            |
| Lw      | 11,09277 | 9,556111 | 0,537209        | 0,462791            |
| Serie 7 |          |          |                 |                     |
| Cn      | 10,86426 | 10,64159 | 0,505177        | 0,494823            |
| Vn      | 5,41809  | 4,071525 | 0,570949        | 0,429051            |
| Mn      | 8,368856 | 9,094672 | 0,479219        | 0,520781            |
| On      | 8,773927 | 9,438614 | 0,481752        | 0,518248            |
| Yn      | 17,2165  | 13,01767 | 0,569438        | 0,430562            |
| Ln      | 10,43054 | 10,14898 | 0,506841        | 0,493159            |
| Serie 8 |          |          |                 |                     |
| Nc      | 14,53435 | 10,40852 | 0,582706        | 0,417294            |
| Nv      | 9,896707 | 6,748736 | 0,59456         | 0,40544             |
| Nm      | 16,86063 | 9,380033 | 0,642538        | 0,357462            |
| No      | 18,29802 | 9,801576 | 0,651184        | 0,348816            |
| Ny      | 21,1973  | 18,38011 | 0,535591        | 0,464409            |
| NI      | 17,1108  | 11,2245  | 0,603869        | 0,396131            |

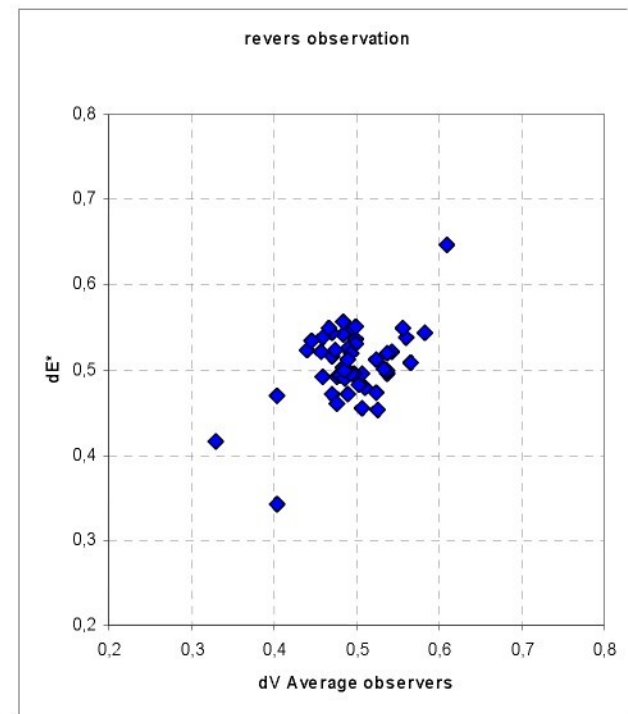
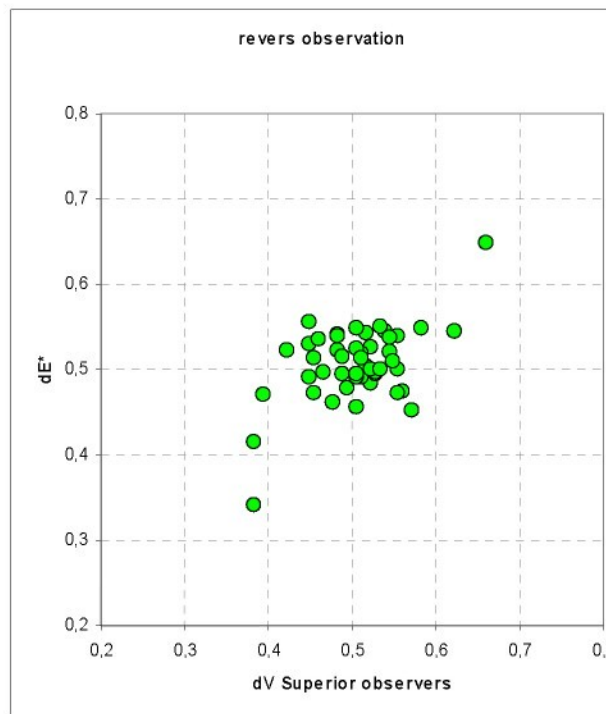
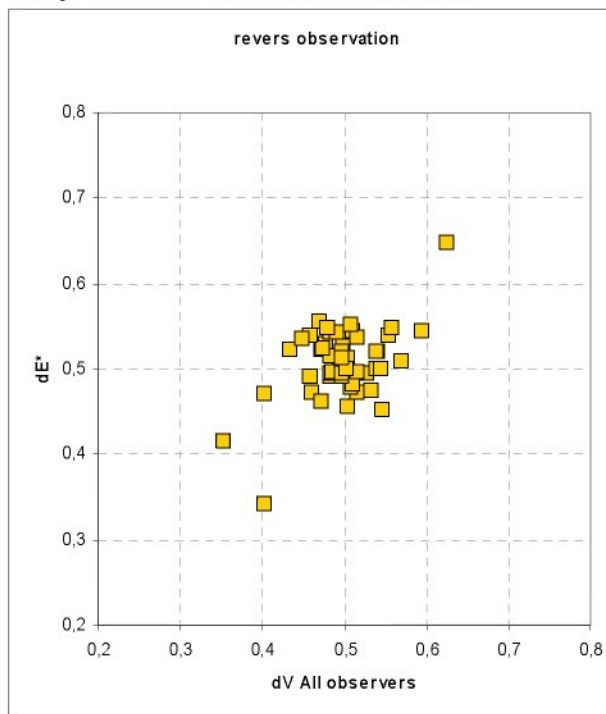
Tab. Hodnoty barevných rozdílů **DIN99**

|         | NEW        |             |           |              |
|---------|------------|-------------|-----------|--------------|
| Serie 1 | dE DIN99 1 | dE DIN 99 2 | dE ratio  | dE ratio rev |
| Cw      | 34,030894  | 16,484795   | 0,6736698 | 0,3263302    |
| Vw      | 34,356888  | 22,135266   | 0,608171  | 0,391829     |
| Mw      | 35,178516  | 13,566729   | 0,721681  | 0,278319     |
| Ow      | 29,928841  | 16,961073   | 0,6382789 | 0,3617211    |
| Yw      | 22,488905  | 11,057302   | 0,6703859 | 0,3296141    |
| Lw      | 26,243891  | 16,189938   | 0,6184663 | 0,3815337    |
| Serie 2 |            |             |           |              |
| Cn      | 29,159833  | 15,19449    | 0,6574293 | 0,3425707    |
| Vn      | 20,241841  | 10,13033    | 0,6664601 | 0,3335399    |
| Mn      | 29,180356  | 14,093554   | 0,6743175 | 0,3256825    |
| On      | 33,780567  | 14,75704    | 0,6959669 | 0,3040331    |
| Yn      | 37,913695  | 20,761641   | 0,6461607 | 0,3538393    |
| Ln      | 32,942845  | 15,419409   | 0,6811685 | 0,3188315    |
| NW      | 20,685073  | 18,186805   | 0,5321346 | 0,4678654    |
| Serie 3 |            |             |           |              |
| C       | 45,383059  | 49,254891   | 0,479544  | 0,520456     |
| V       | 30,978618  | 55,123574   | 0,359789  | 0,640211     |
| M       | 40,902355  | 48,943358   | 0,455251  | 0,544749     |
| O       | 45,986873  | 45,943711   | 0,5002348 | 0,4997652    |
| Y       | 57,176397  | 32,703544   | 0,6361419 | 0,3638581    |
| L       | 48,082747  | 40,925935   | 0,5402029 | 0,4597971    |
| Serie 4 |            |             |           |              |
| V       | 49,208534  | 40,949373   | 0,5458039 | 0,4541961    |
| O       | 43,732784  | 25,991017   | 0,6272289 | 0,3727711    |
| L       | 50,096497  | 43,247463   | 0,5366871 | 0,4633129    |
| C       | 43,040469  | 49,601887   | 0,4645874 | 0,5354126    |
| Y       | 44,328725  | 49,952479   | 0,4701756 | 0,5298244    |
| M       | 26,326949  | 40,708584   | 0,3927313 | 0,6072687    |
| Serie 5 |            |             |           |              |
| Wc      | 20,70061   | 13,000327   | 0,6142443 | 0,3857557    |
| Wv      | 20,327981  | 15,005575   | 0,5753166 | 0,4246834    |
| Wm      | 21,789488  | 13,099844   | 0,6245315 | 0,3754685    |
| Wo      | 14,67238   | 11,67032    | 0,5569809 | 0,4430191    |
| Wy      | 13,02073   | 9,0132222   | 0,5909394 | 0,4090606    |
| WI      | 14,636942  | 10,524661   | 0,5817174 | 0,4182826    |
| Serie 6 |            |             |           |              |
| Cw      | 7,9337546  | 8,4950399   | 0,4829176 | 0,5170824    |
| Vw      | 11,056542  | 11,219723   | 0,4963373 | 0,5036627    |
| Mw      | 7,063209   | 8,8651973   | 0,4434348 | 0,5565652    |
| Ow      | 7,4235066  | 9,0987033   | 0,4493047 | 0,5506953    |
| Yw      | 5,4077501  | 6,2517093   | 0,463808  | 0,536192     |
| Lw      | 7,8372063  | 8,1214444   | 0,4910945 | 0,5089055    |
| Serie 7 |            |             |           |              |
| Cn      | 8,5267164  | 7,2180847   | 0,5415576 | 0,4584424    |
| Vn      | 6,3947885  | 4,6258703   | 0,5802547 | 0,4197453    |
| Mn      | 7,4617379  | 6,7970406   | 0,5233084 | 0,4766916    |
| On      | 8,0085283  | 6,9422486   | 0,5356597 | 0,4643403    |
| Yn      | 11,373547  | 9,7259184   | 0,5390443 | 0,4609557    |
| Ln      | 8,8504538  | 6,8804636   | 0,5626152 | 0,4373848    |
| Serie 8 |            |             |           |              |
| Nc      | 16,959447  | 10,663352   | 0,6139655 | 0,3860345    |
| Nv      | 11,79278   | 8,1278979   | 0,5919869 | 0,4080131    |
| Nm      | 18,941613  | 9,8190611   | 0,6585942 | 0,3414058    |
| No      | 22,825843  | 10,540435   | 0,6840992 | 0,3159008    |
| Ny      | 23,844385  | 14,035753   | 0,6294693 | 0,3705307    |
| NI      | 18,799877  | 11,81055    | 0,6141658 | 0,3858342    |

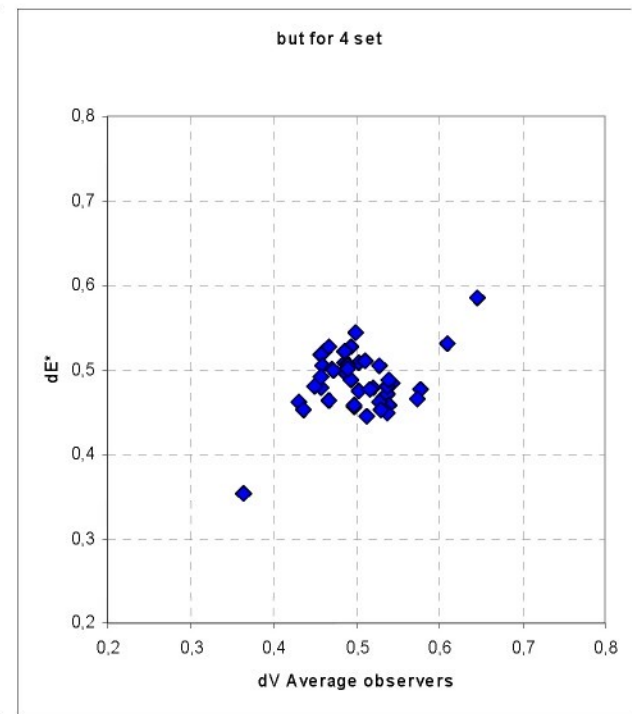
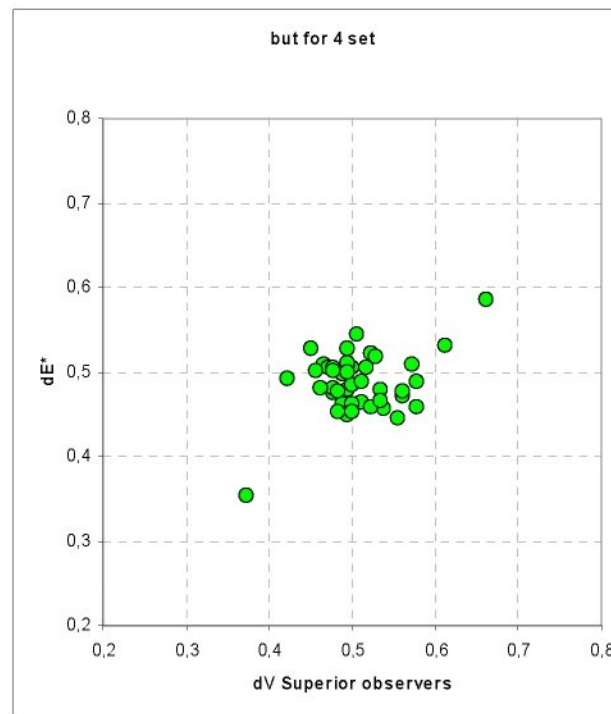
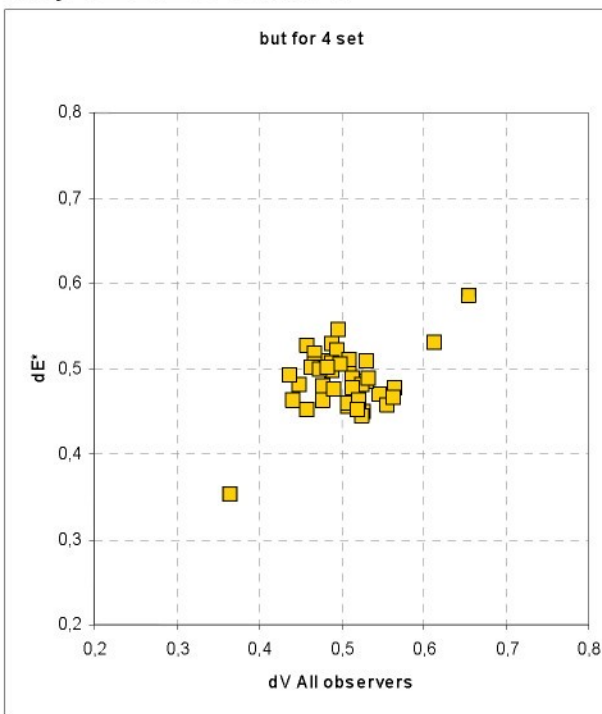
## Grafy CIELAB Normální hodnocení



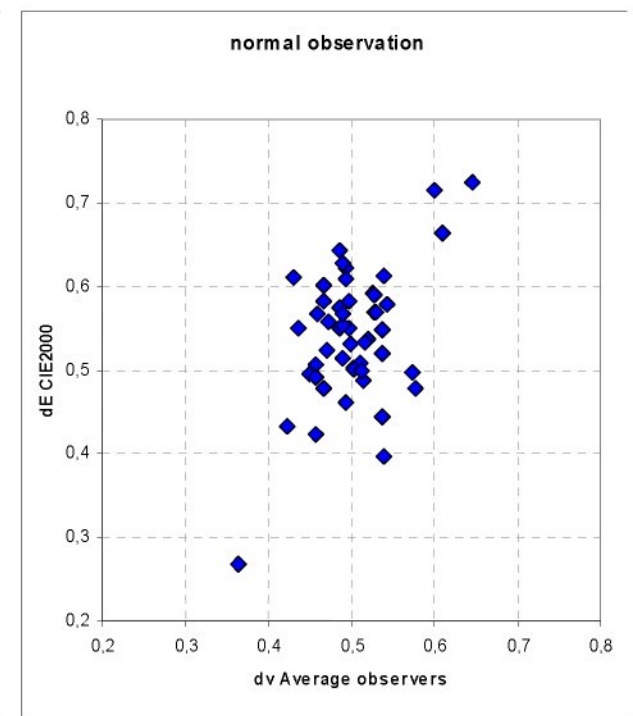
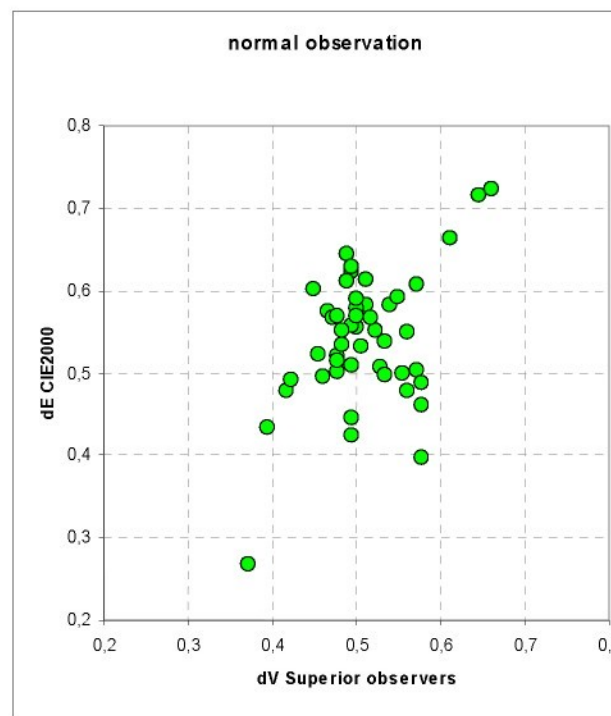
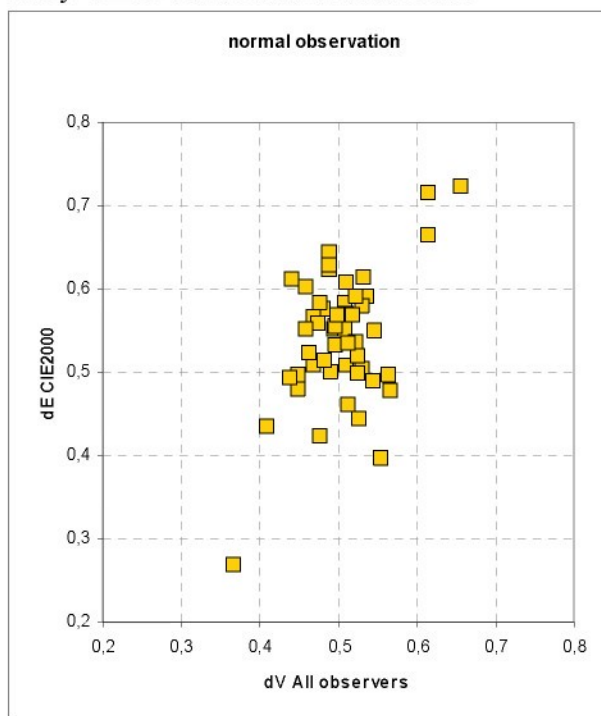
## Grafy CIELAB Obrácené hodnocení



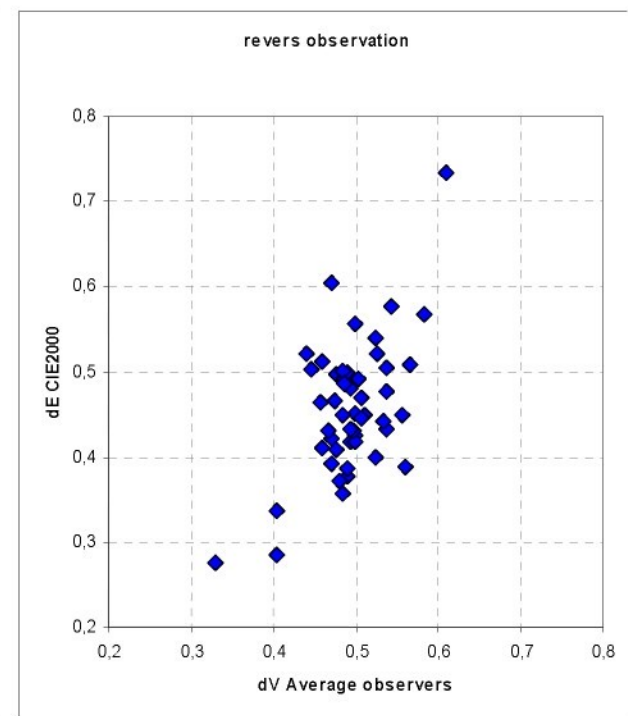
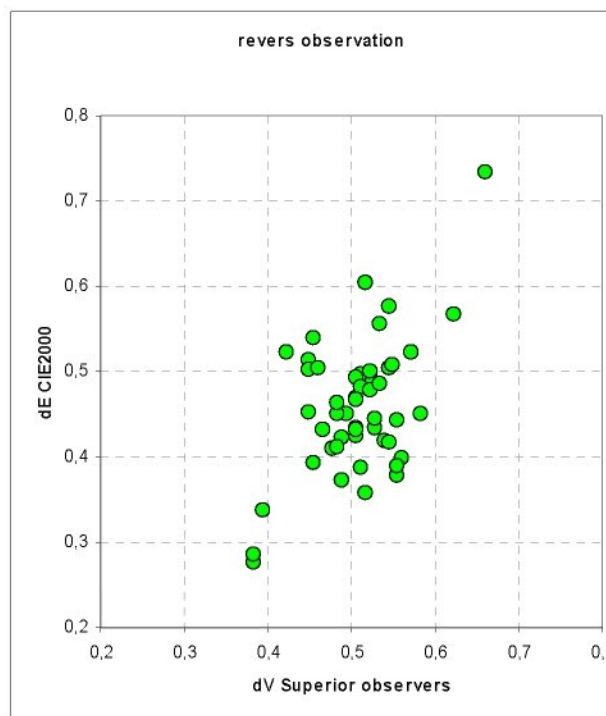
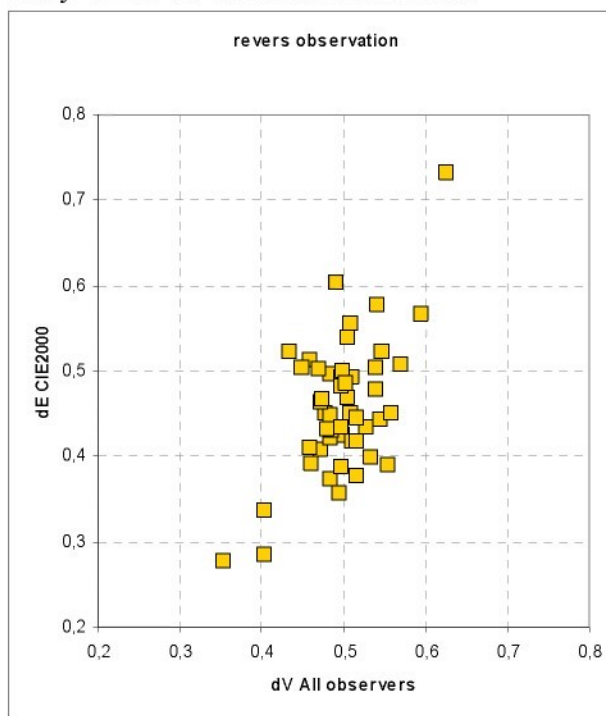
## Grafy CIELAB Bez série 4



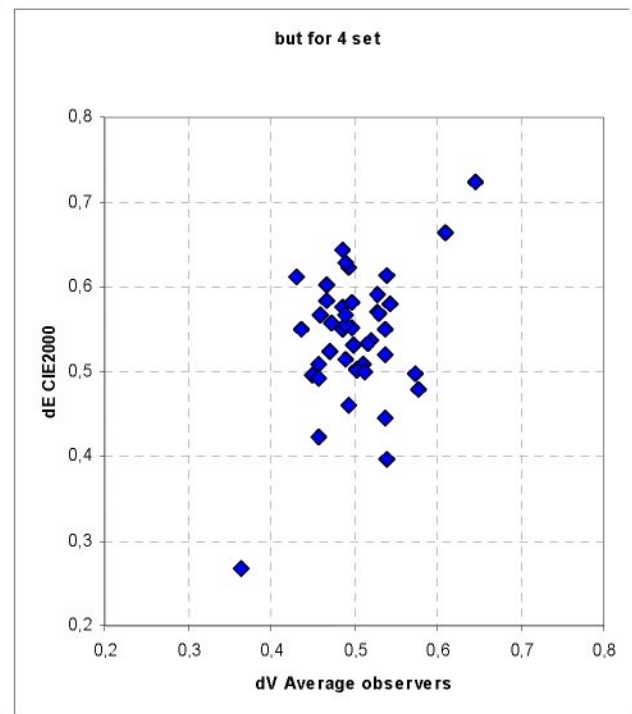
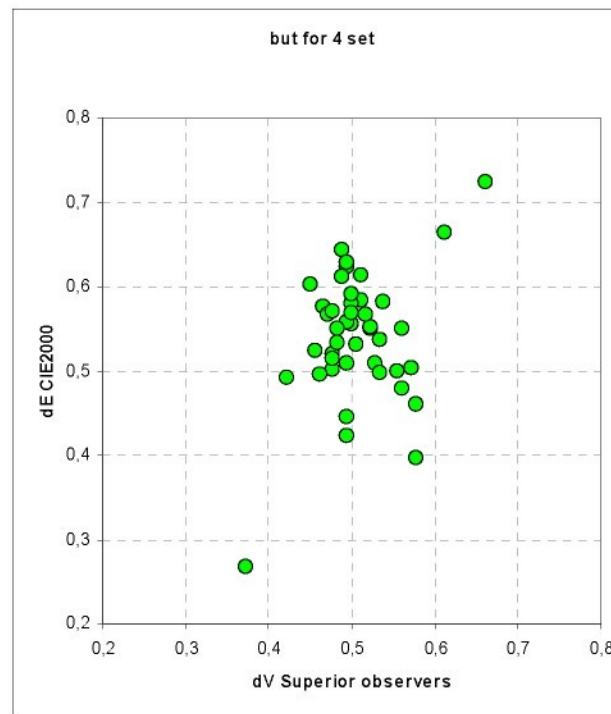
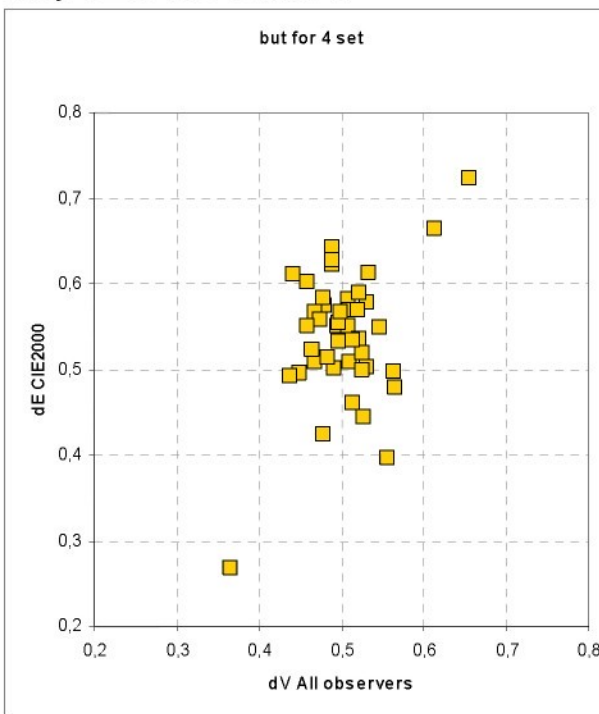
### Grafy CIE2000 Normální hodnocení



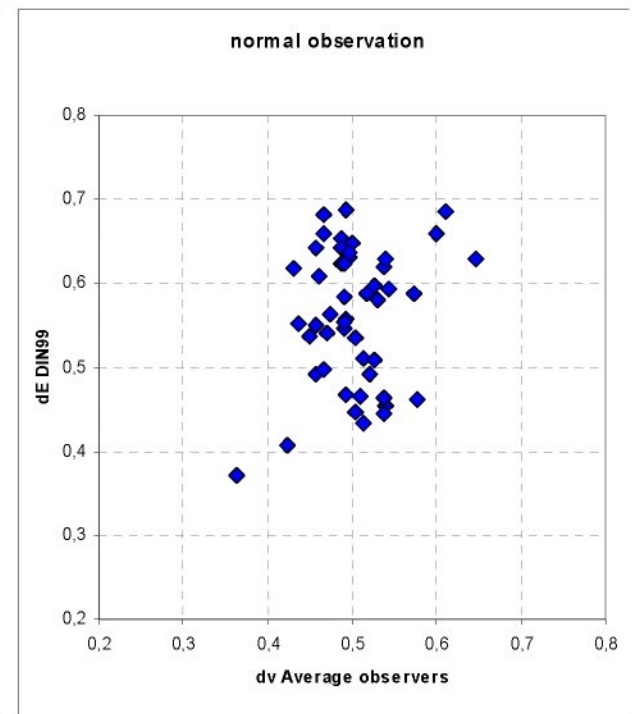
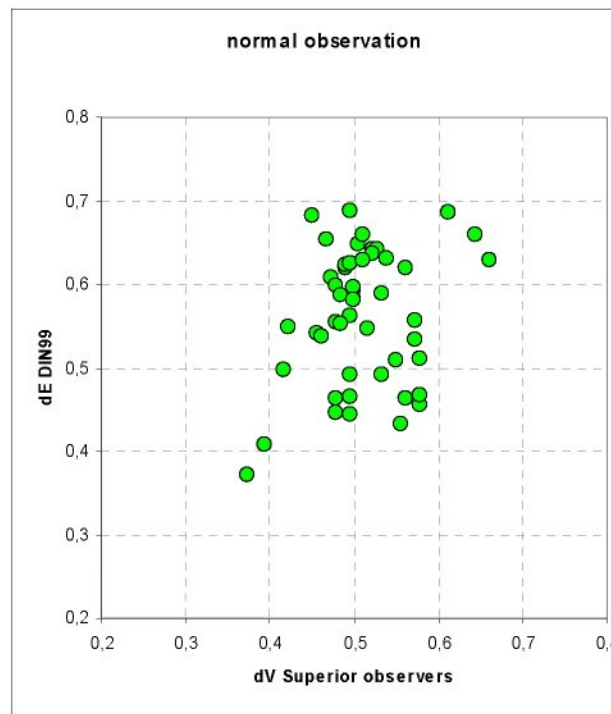
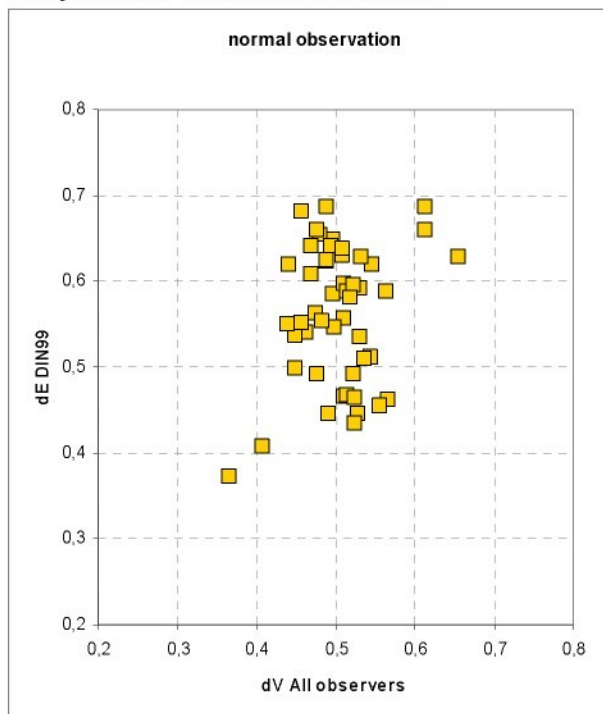
## Grafy CIE2000 Obrácené hodnocení



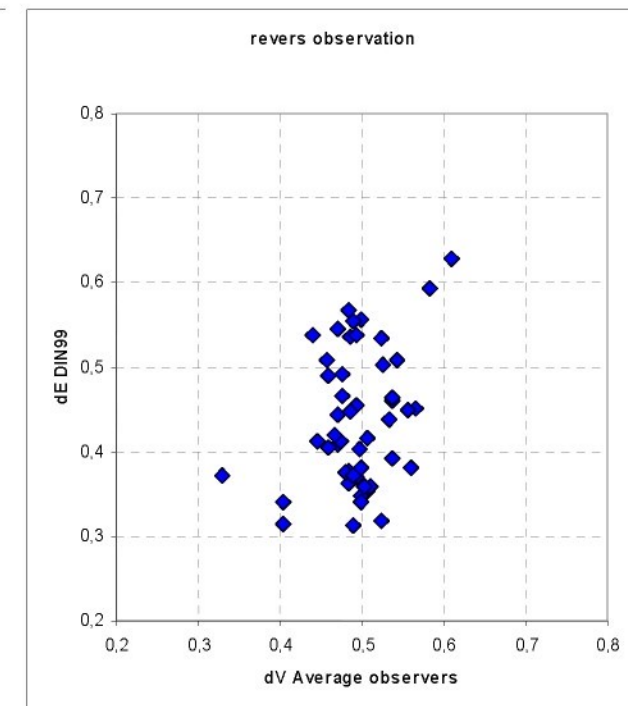
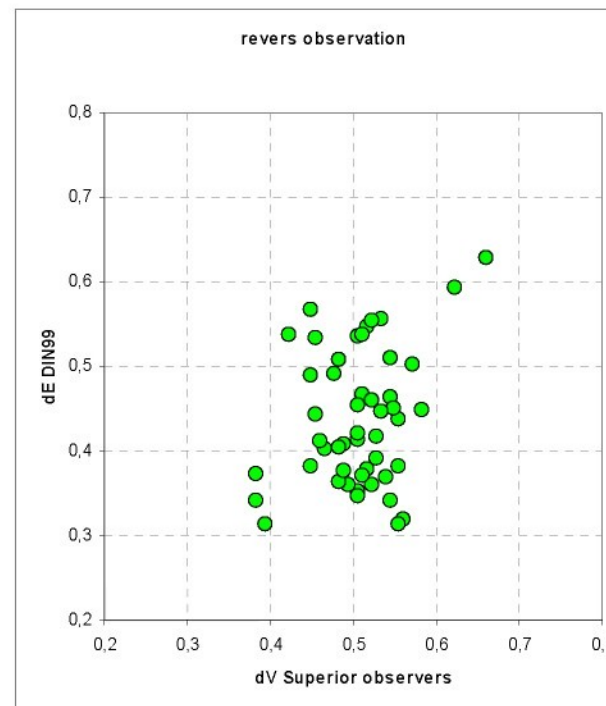
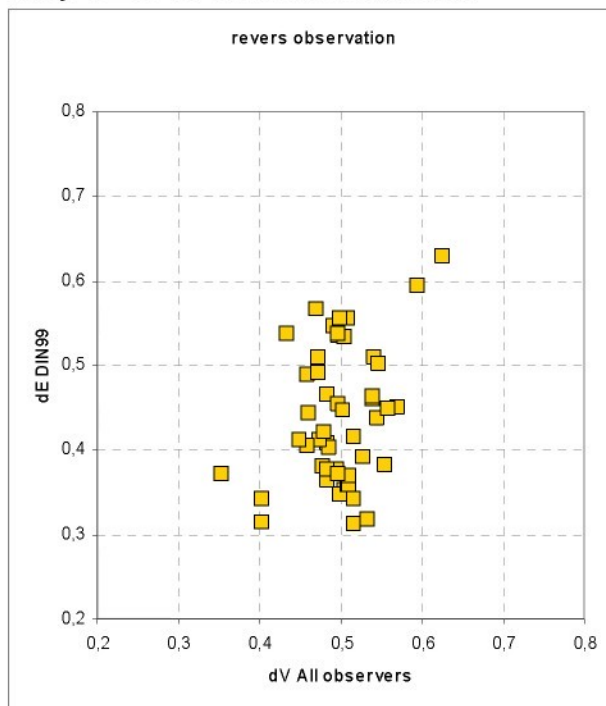
Grafy CIE2000 Bez série 4



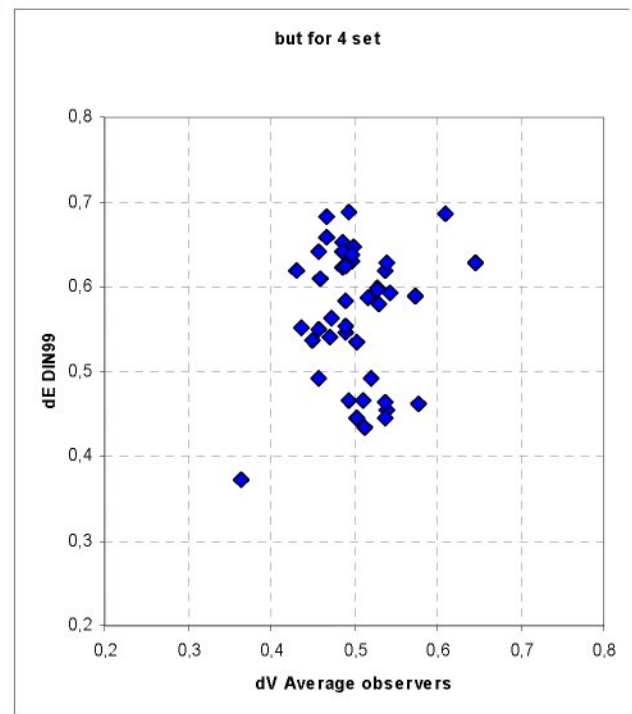
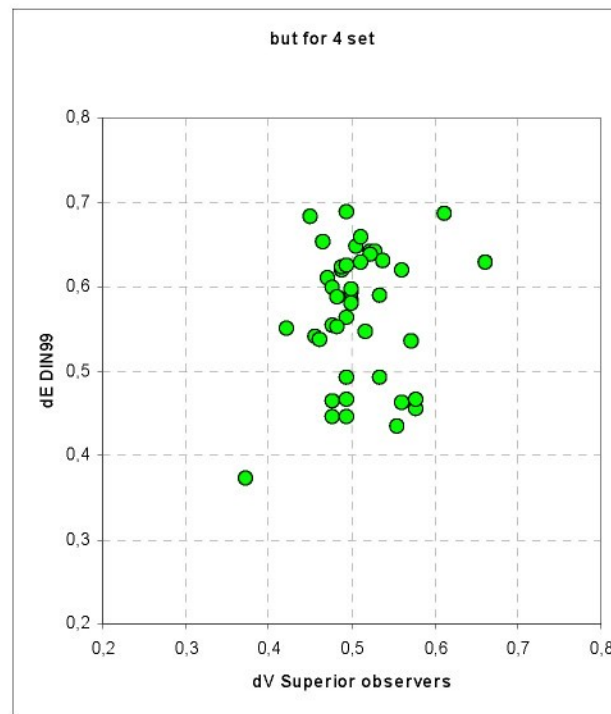
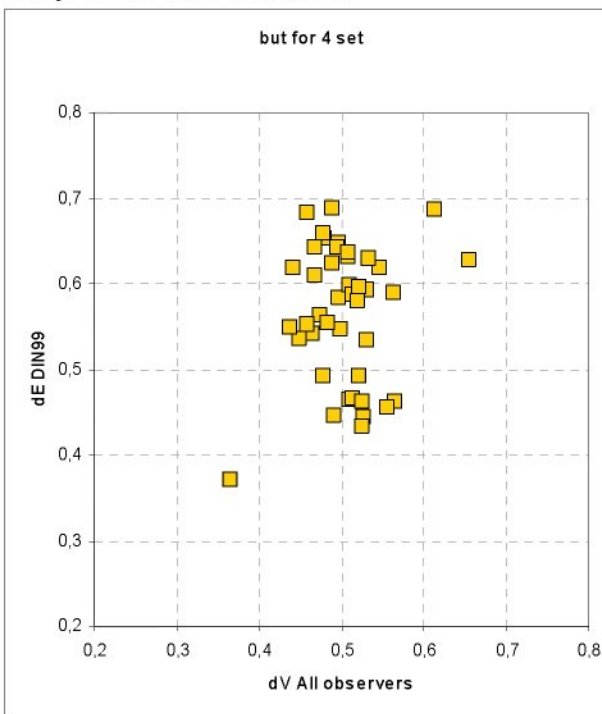
## Grafy DIN99 Normální hodnocení



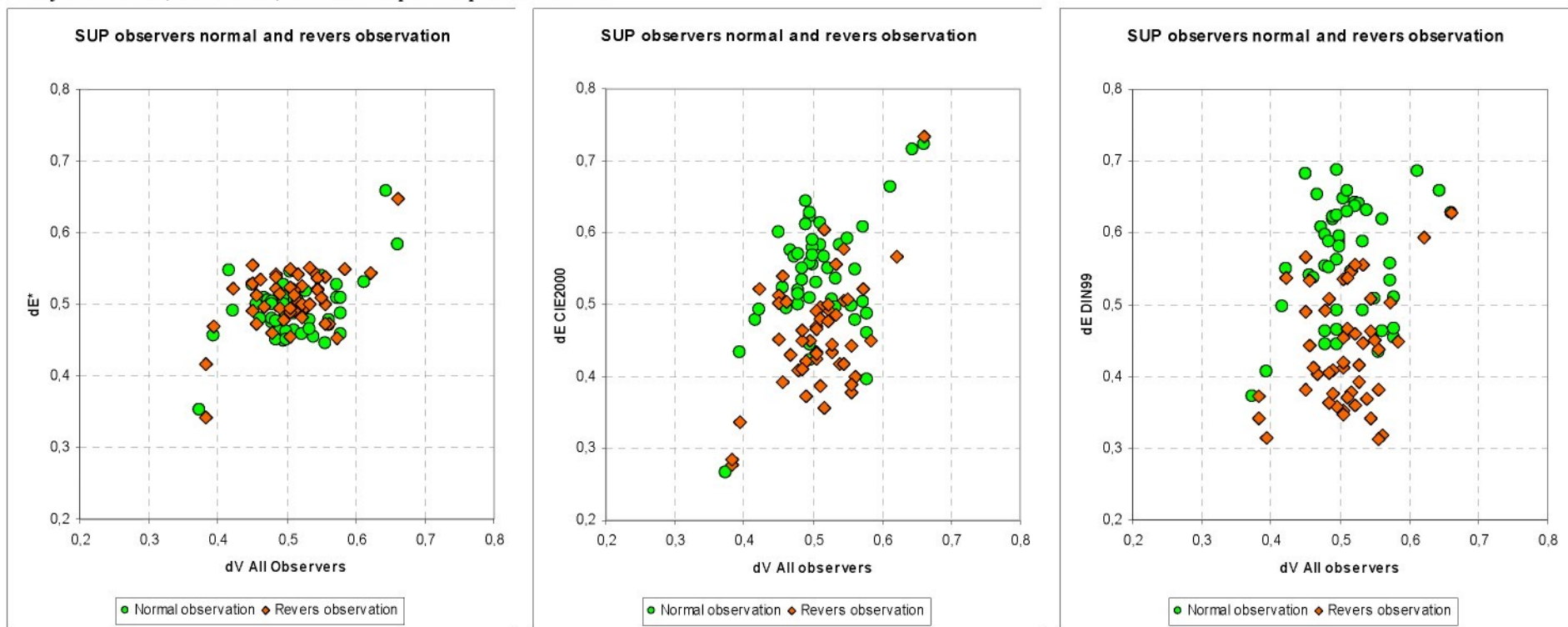
## Grafy CIE2000 Obrácené hodnocení



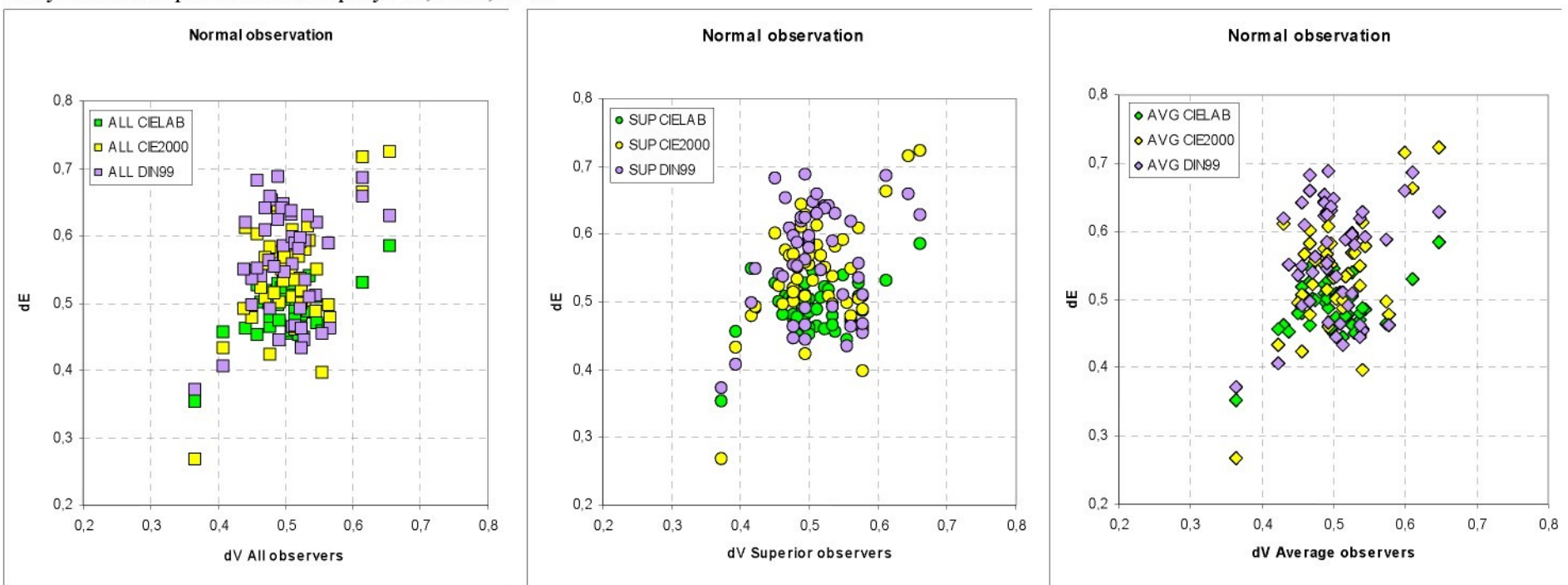
Grafy CIE2000 Bez série 4



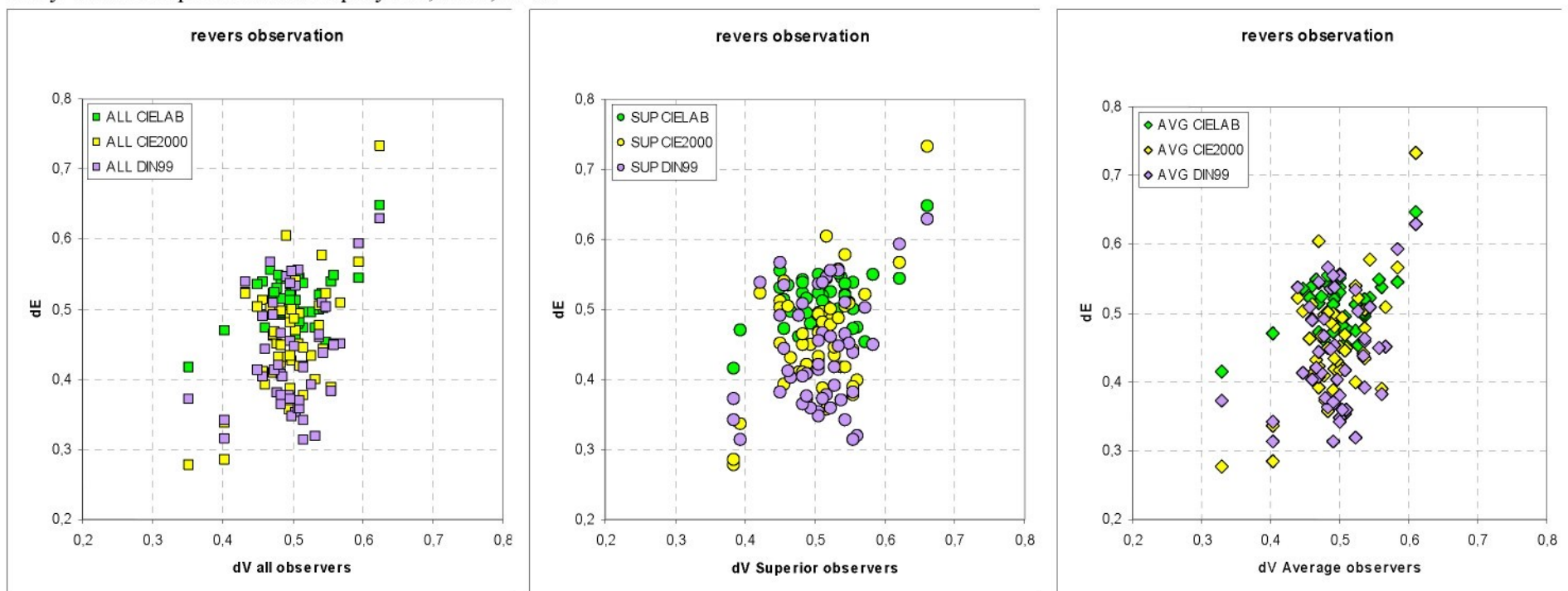
## Grafy CIELAB, CIE2000, DIN99 Superior pozorovatele



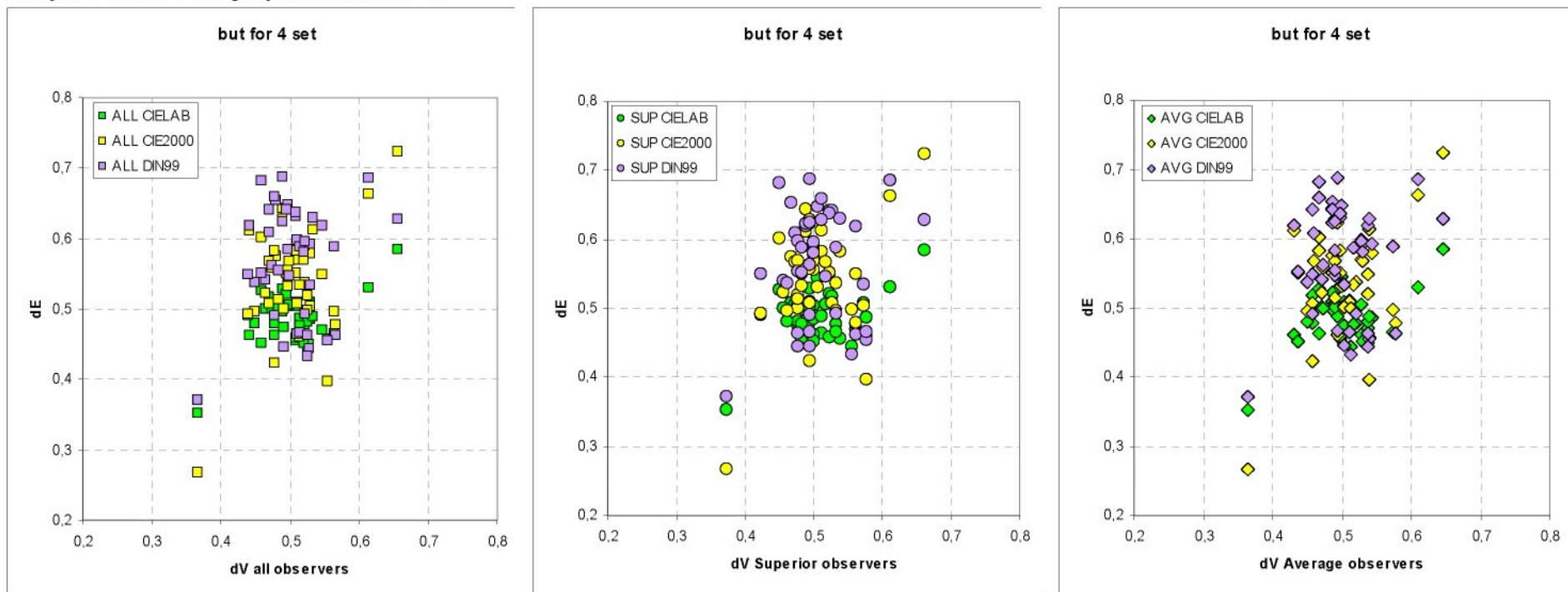
Grafy Normální pozorování skupiny All, SUP, AVG



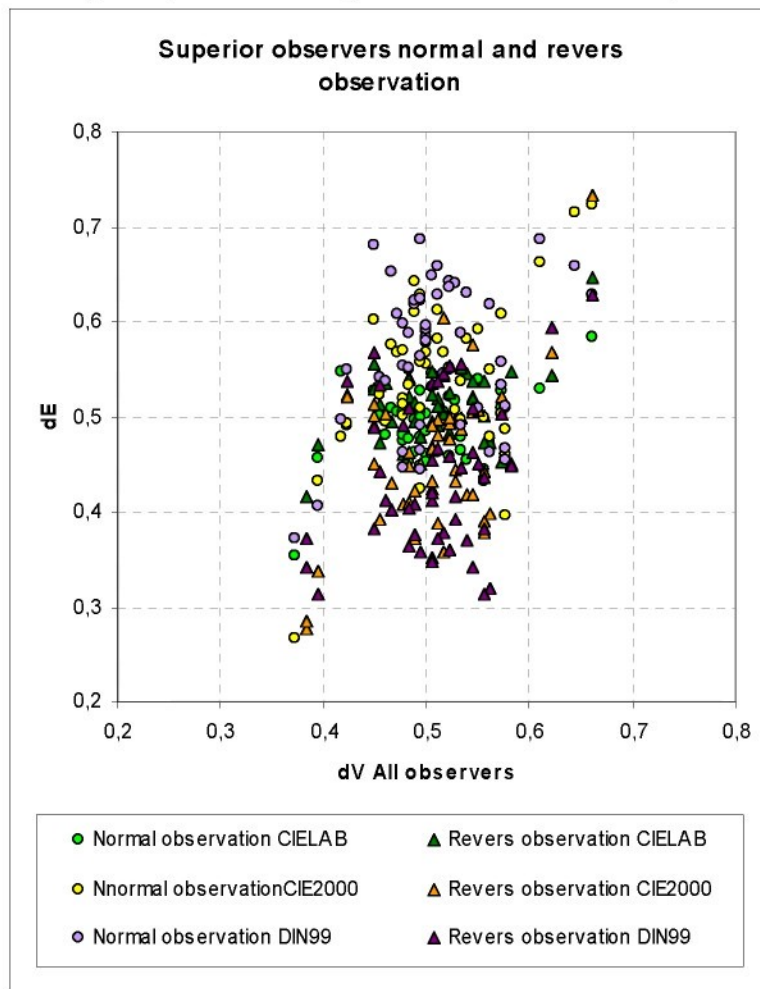
Grafy Obrácené pozorování skupiny All, SUP, AVG



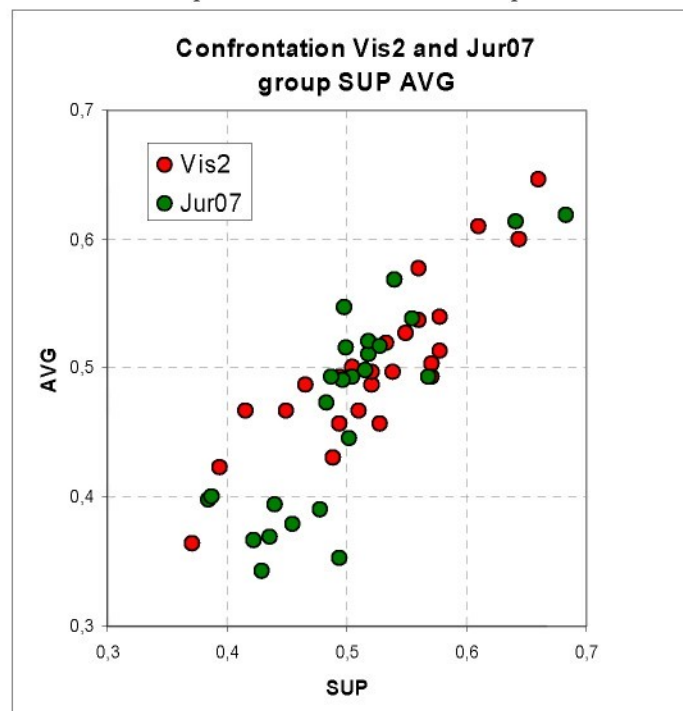
Grafy Bez série 4 skupiny All, SUP, AVG



Graf Skupina SUP na vybraných rovnicích pro normální a obrácené pozorování



Graf Porovnání korelace mezi skupinami SUP a AVG v experimentech Vis 2 a Jur07



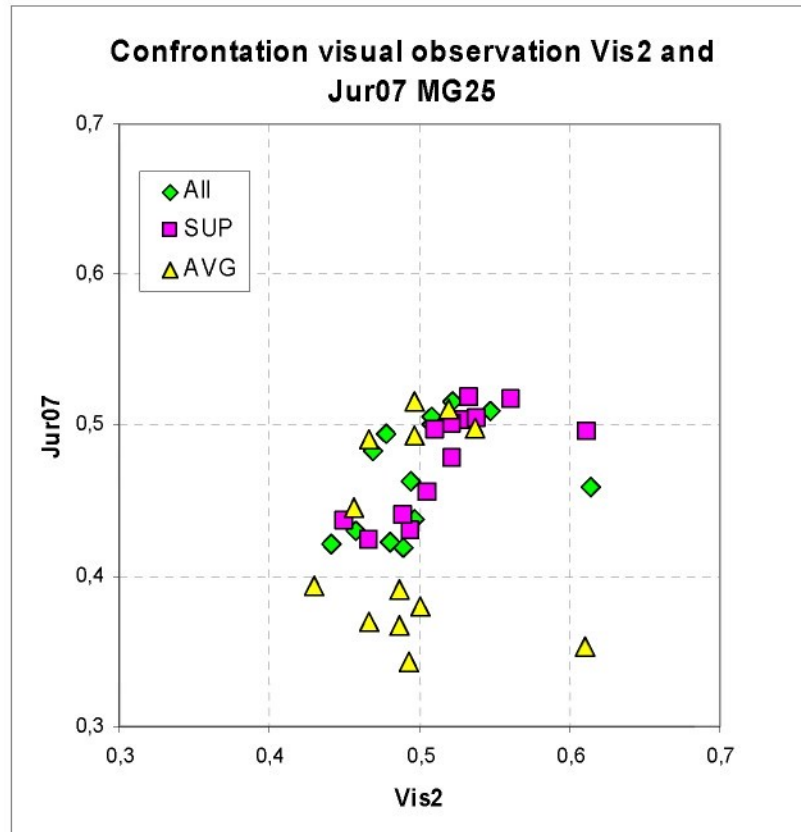
Tab. Porovnání vizuálního hodnocení experimentů Vis 2 a Jur07

|                | Vis 2         |       |       | Jur07 |               |       |       |
|----------------|---------------|-------|-------|-------|---------------|-------|-------|
|                | All<br>visual | SUP   | AVG   | MG25  | All<br>visual | SUP   | AVG   |
| <b>Serie 1</b> |               |       |       |       |               |       |       |
| Cw             | 0,458         | 0,450 | 0,467 | A     | 0,430         | 0,437 | 0,369 |
| Vw             | 0,497         | 0,506 | 0,500 | B     | 0,437         | 0,455 | 0,380 |
| Mw             | 0,489         | 0,494 | 0,493 | C     | 0,419         | 0,430 | 0,343 |
| Ow             | 0,481         | 0,467 | 0,487 | D     | 0,422         | 0,423 | 0,367 |
| Yw             | 0,614         | 0,611 | 0,610 | E     | 0,459         | 0,495 | 0,353 |
| Lw             | 0,494         | 0,522 | 0,487 | F     | 0,463         | 0,478 | 0,391 |
| <b>Serie 2</b> |               |       |       | MG25  |               |       |       |
| Cn             | 0,469         | 0,528 | 0,457 | G     | 0,483         | 0,503 | 0,445 |
| Vn             | 0,442         | 0,489 | 0,430 | H     | 0,421         | 0,440 | 0,394 |
| Mn             | 0,508         | 0,539 | 0,497 | I     | 0,500         | 0,505 | 0,494 |
| On             | 0,478         | 0,511 | 0,467 | J     | 0,494         | 0,497 | 0,491 |
| Yn             | 0,547         | 0,561 | 0,537 | K     | 0,509         | 0,517 | 0,499 |
| Ln             | 0,508         | 0,522 | 0,497 | L     | 0,506         | 0,500 | 0,516 |
| NW             | 0,522         | 0,533 | 0,520 | M     | 0,515         | 0,518 | 0,511 |
| <b>Serie 3</b> |               |       |       | MG27  |               |       |       |
| C              | 0,567         | 0,561 | 0,577 | A     | 0,547         | 0,540 | 0,569 |
| V              | 0,367         | 0,372 | 0,363 | B     | 0,383         | 0,385 | 0,398 |
| M              | 0,556         | 0,578 | 0,540 | C     | 0,553         | 0,555 | 0,538 |
| O              | 0,478         | 0,494 | 0,457 | D     | 0,550         | 0,568 | 0,493 |
| Y              | 0,656         | 0,661 | 0,647 | E     | 0,661         | 0,683 | 0,619 |
| L              | 0,531         | 0,572 | 0,503 | F     | 0,519         | 0,518 | 0,521 |
| <b>Serie 4</b> |               |       |       | MG27  |               |       |       |
| V              | 0,511         | 0,572 | 0,493 | G     | 0,490         | 0,488 | 0,494 |
| O              | 0,614         | 0,644 | 0,600 | H     | 0,630         | 0,642 | 0,613 |
| L              | 0,544         | 0,578 | 0,513 | I     | 0,523         | 0,528 | 0,518 |
| C              | 0,450         | 0,417 | 0,467 | J     | 0,485         | 0,483 | 0,474 |
| Y              | 0,536         | 0,550 | 0,527 | K     | 0,510         | 0,498 | 0,547 |
| M              | 0,408         | 0,394 | 0,423 | L     | 0,392         | 0,388 | 0,401 |

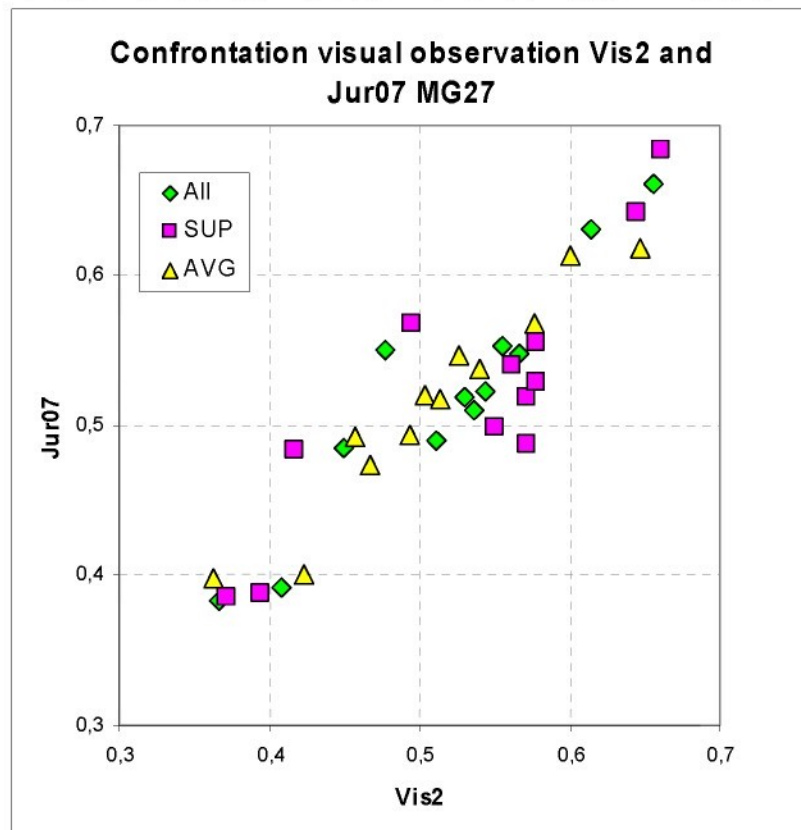
Tab. Porovnání objektivního měření Vis 2 D65/2 a Jur07D65/2 přepočítaného vybranými rovnicemi

| Vis 2 D65/2 |        |         |       | Jur07 D65/2 |        |         |       |
|-------------|--------|---------|-------|-------------|--------|---------|-------|
| Serie 1     | CIELAB | CIE2000 | DIN99 | MG25        | CIELAB | CIE2000 | DIN99 |
| Cw          | 0,527  | 0,601   | 0,682 | A           | 0,519  | 0,575   | 0,402 |
| Vw          | 0,545  | 0,531   | 0,647 | B           | 0,530  | 0,485   | 0,383 |
| Mw          | 0,528  | 0,623   | 0,687 | C           | 0,519  | 0,565   | 0,405 |
| Ow          | 0,508  | 0,575   | 0,653 | D           | 0,500  | 0,553   | 0,401 |
| Yw          | 0,530  | 0,663   | 0,686 | E           | 0,515  | 0,677   | 0,417 |
| Lw          | 0,521  | 0,550   | 0,641 | F           | 0,507  | 0,578   | 0,400 |
| Serie 2     | MG25   |         |       |             |        |         |       |
| Cn          | 0,518  | 0,508   | 0,641 | G           | 0,484  | 0,500   | 0,388 |
| Vn          | 0,462  | 0,611   | 0,618 | H           | 0,471  | 0,620   | 0,386 |
| Mn          | 0,455  | 0,582   | 0,631 | I           | 0,469  | 0,592   | 0,397 |
| On          | 0,463  | 0,583   | 0,659 | J           | 0,465  | 0,585   | 0,400 |
| Yn          | 0,470  | 0,549   | 0,619 | K           | 0,481  | 0,560   | 0,391 |
| Ln          | 0,458  | 0,551   | 0,637 | L           | 0,468  | 0,560   | 0,396 |
| NW          | 0,478  | 0,537   | 0,492 | M           | 0,483  | 0,544   | 0,337 |
| Serie 3     | MG27   |         |       |             |        |         |       |
| C           | 0,477  | 0,478   | 0,462 | A           | 0,504  | 0,527   | 0,551 |
| V           | 0,353  | 0,267   | 0,372 | B           | 0,379  | 0,288   | 0,492 |
| M           | 0,457  | 0,396   | 0,454 | C           | 0,471  | 0,443   | 0,565 |
| O           | 0,479  | 0,423   | 0,491 | D           | 0,473  | 0,445   | 0,577 |
| Y           | 0,585  | 0,724   | 0,628 | E           | 0,559  | 0,690   | 0,620 |
| L           | 0,509  | 0,503   | 0,534 | F           | 0,488  | 0,483   | 0,572 |
| Serie 4     | MG27   |         |       |             |        |         |       |
| V           | 0,528  | 0,608   | 0,557 | G           | 0,533  | 0,619   | 0,390 |
| O           | 0,658  | 0,716   | 0,659 | H           | 0,633  | 0,702   | 0,417 |
| L           | 0,509  | 0,488   | 0,510 | I           | 0,492  | 0,476   | 0,382 |
| C           | 0,548  | 0,478   | 0,498 | J           | 0,561  | 0,482   | 0,397 |
| Y           | 0,539  | 0,591   | 0,509 | K           | 0,540  | 0,591   | 0,393 |
| M           | 0,456  | 0,433   | 0,407 | L           | 0,483  | 0,452   | 0,332 |

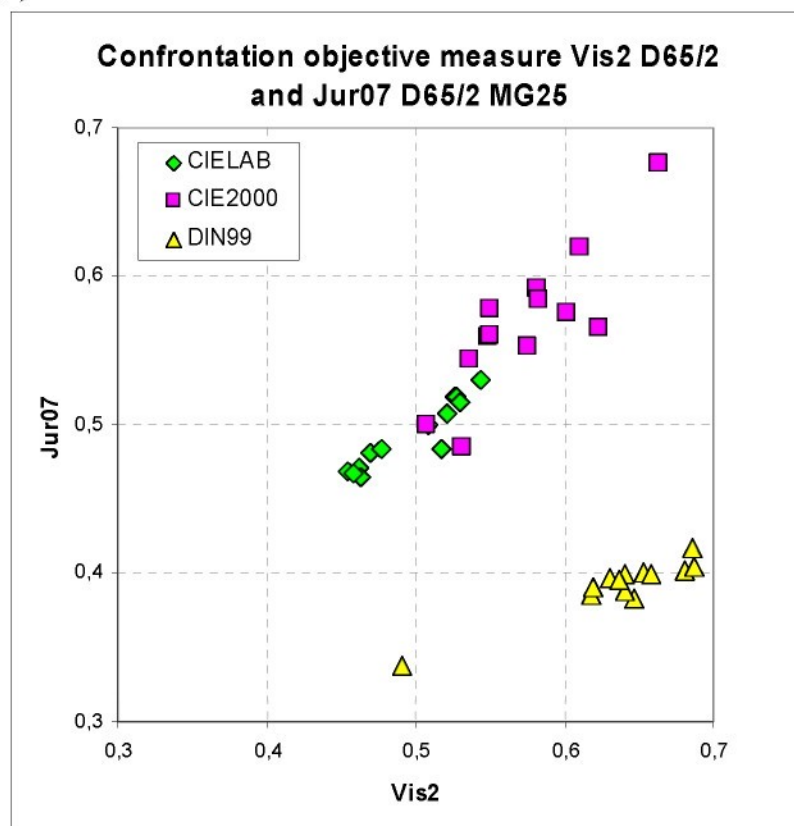
Graf porovnání vizuálního hodnocení u experimentů Vis 2 a Jur07 na kartě MG25 (série 1,2)



Graf porovnání vizuálního hodnocení u experimentů Vis 2 a Jur07 na kartě MG27 (série 3,4)



Graf porovnání objektivního měření u experimentů Vis 2 D65/2 a Jur07 D65/2 na kartě MG25 (série 1,2)



Graf porovnání objektivního měření u experimentů Vis 2 D65/2 a Jur07 D65/2 na kartě MG27 (série 3,4)

